

UNIVERSIDADE PRESBITERIANA MACKENZIE

Centro de Ciências Sociais e Aplicadas

Programa de Pós-Graduação em Administração de Empresas

**COMPARANDO MODELOS ALTERNATIVOS
DE PRECIFICAÇÃO DE ATIVOS:
Uma análise do mercado brasileiro**

RICARDO ANTONIO FERNANDES

SÃO PAULO

2017

RICARDO ANTONIO FERNANDES

**COMPARANDO MODELOS ALTERNATIVOS
DE PRECIFICAÇÃO DE ATIVOS:
Uma análise do mercado brasileiro**

Tese apresentada ao Programa de Administração de Empresas da Universidade Presbiteriana Mackenzie como requisito parcial para obtenção do Título de Doutor em Administração de Empresas

Orientador: Prof. Dr. Leonardo Fernando Cruz Basso

Coorientador: Prof. Dr. Emerson Fernandes Marçal

SÃO PAULO

2017

F363c Fernandes, Ricardo Antonio

Comparando modelos alternativos de precificação de ativos: uma análise do mercado brasileiro / Ricardo Antonio Fernandes. 2017.

52 f. : il. ; 30 cm

Tese (Doutorado em Administração de Empresas) -
Universidade Presbiteriana Mackenzie, São Paulo, 2017.

Bibliografia: f. 37-38.

1. VAR. 2. Racionalidade. 3. Séries Temporais. 4.
Dividendos. I. Título

CDD 658.816

Reitor da Universidade Presbiteriana Mackenzie

Professor Doutor Benedito Guimarães Aguiar Neto

Pró-Reitora de Pesquisa e Pós Graduação

Professora Doutora Helena Bonito Couto Pereira

Diretor do Centro de Ciências Sociais e Aplicadas

Professor Doutor Adilson Aderito da Silva

Coordenador do Programa de Pós-Graduação em Administração de Empresas

Professor Doutor Walter Bataglia

RICARDO ANTONIO FERNANDES

COMPARANDO MODELOS ALTERNATIVOS DE PRECIFICAÇÃO DE ATIVOS:

Uma análise do mercado brasileiro

Tese apresentada ao Programa de Pós-Graduação em Administração de Empresas da Universidade Presbiteriana Mackenzie, como requisito parcial à obtenção de título de Doutor em Administração de Empresas.

Aprovado em 29 de Novembro de 2017.

BANCA EXAMINADORA

Prof.^a Dr.^a Leonardo Fernando Cruz Basso
Universidade Presbiteriana Mackenzie

Prof. Dr. Emerson Fernandes Marçal
Universidade Presbiteriana Mackenzie

Prof.^a Dr.^a Denis Forte
Universidade Presbiteriana Mackenzie

Prof.^a Dr.^a Diogo de Prince Mendonça
Universidade Federal de São Paulo - UNIFESP

Prof.^a Dr.^a Ricardo Buscariolli Pereira
Universidade Federal do ABC

Prof. Dr. Michele Nascimento Jucá
Universidade Presbiteriana Mackenzie

À minha querida esposa Livia Maria Perancini Fernandes, pelo apoio e incentivo, e a meus filhos, Vitor e Luiza por completarem minha vida com carinho e amor.

AGRADECIMENTOS

Meus profundos agradecimentos a meu Orientador, Professor Leonardo Cruz Basso e, especialmente a meu Coorientador, Prof. Emerson Fernandes Marçal, pela paciência, apoio e atenção.

Aos Professores da linha de Finanças pelas aulas inspiradoras que me fizeram apreciar ainda mais este tema, Professor Wilson Nakamura, Professor Denis Forte, Professora Michele Jucá, além dos professores orientadores já citados. Também agradeço ao Professor Eli Haddad, pela disposição com as inúmeras dúvidas.

A meus pais Salvador e Terezinha, minha irmã Flávia, meu cunhado Marco e meu querido sobrinho Bruno.

A minha esposa e filhos, meus agradecimentos pela tolerância e compreensão por todas as ausências decorrentes deste trabalho.

A meus colegas de Doutorado, pelas conversas e trocas de experiência, Luiz Lemos, Edson de Aro e Maurício.

A todos meus Colegas, Gerentes e Coordenadores do campus da Universidade Presbiteriana Mackenzie – Campus Campinas, que sempre me incentivaram nesta trajetória: Alessandra Benedito, Adriana Righetto, Gilson Novaes, Rosani, Luiz Vicente, João Gabriel, Claudinor, Gaspar, Fernando Nery, Álvaro, Piá, Hélio, Ana Raquel, Reinaldo Dias, Marcelo, Raquel, Milton Pacheco, Leila, Ricardo Nunes, Matias, Massaki, Mariana Lima, Jorge Paixão, Mariana Munis, Marineide, Tatiana, Francesca, Marcia Brandão, Marcia Serra, Mauro, Eduardo, Orlando, Jorge Masseran, Luiz Gustavo, Vinicius, Rodolpho, João Paulo, Adilson Moreira, Érico, Alessandra, Maria Tereza, Armando, Marcos, Tiago, Tomás, Suelene, Maria Emilia e Marlucy.

Também agradeço imensamente a todos os meus alunos, que me permitem exercer esta profissão maravilhosa.

RESUMO

Este trabalho realiza testes utilizando séries de dados de preços e dividendos das ações que compuseram a carteira teórica do IBOVESPA para o período entre 1986 e 2016 com o objetivo de avaliar a racionalidade do mercado por meio de modelos de Valor Presente. A metodologia utilizada é a análise de vetores cointegrados de preços e dividendos e o uso da abordagem VAR e cointegração. Foi avaliada a influência dos dividendos sobre os preços das ações em 30 anos e a hipótese de mercados eficientes. Conclui-se que o mercado brasileiro não se ajusta ao modelo proposto. Foram utilizadas duas metodologias, sendo uma para avaliar a relação entre preços e dividendos, e outra para avaliar a eficiência do mercado.

Palavras Chave: Eficiência de Mercado (EMH), Séries Temporais, Preços de Ações, Dividendos.

ABSTRACT

This work tests using series of price data and dividends of the stocks that composed the theoretical portfolio of the IBOVESPA for the period between 1986 and 2016 with the objective of evaluating the market rationality through Present Value models. The methodology used is the analysis of cointegrated vectors of prices and dividends and the use of the VAR and cointegration approach. The influence of dividends on stock prices in 30 years and the hypothesis of efficient markets were evaluated. We conclude that the Brazilian market does not fit the proposed model. Two methodologies were used, one to evaluate the relationship between prices and dividends, and another to evaluate the efficiency of the market.

Keywords: *Market Efficiency (EMH), Time Series, Stock Prices, Dividends.*

Lista de Figuras

Figura 1 - Série temporal da série de Dividendos (D_t)	39
Figura 2 - Série temporal da série do Ibovespa (P_t).....	40
Figura 3- Série temporal da razão Dividendo-Preço (D_t / P_t).....	40
Figura 4- Série temporal da taxa Selic (r_t).....	40
Figura 5- Desvios da média do Spread teórico de Johansen e observado ($\theta=127,538$)	47
Figura 6- Desvios da média do Spread teórico de Engle-Granger e observado ($\theta=81,386$)	48
Figura 7 - Gráfico ACF e PACF: Ibovespa	97
Figura 8 - Gráfico ACF e PACF: Dividendos	97
Figura 9 – Gráfico ACF e PACF: Logaritmo Ibovespa.....	98
Figura 10 - Gráfico ACF e PACF: Logaritmo dos Dividendos.....	98
Figura 11 - Gráfico ACF e PACF: Taxa SELIC (r_t) e Log Dividendos D1 ($r_t - \Delta d_t$)	99
Figura 12 - Gráfico ACF e PACF: Logaritmo Dividendos – Log Preços ($d_t - p_t$).....	99

Lista de Tabelas

Tabela 1 – Mercado Europeu: A hipótese de passeio aleatório é rejeitada?	33
Tabela 2 – Mercado Asiático: A hipótese de passeio aleatório é rejeitada?.....	34
Tabela 3 - Testes de existência de Raiz Unitária	42
Tabela 4 - Teste de Johansen para restrição no subespaço de Cointegração.....	43
Tabela 5 - Teste de Johansen	43
Tabela 6 - Escolha da ordem do VAR	44
Tabela 7 - Coeficientes de Cointegração	44
Tabela 8 - Teste de Cointegração de Engle-Granger.....	45
Tabela 9- Estimação do Vetor de Cointegração	45
Tabela 10 - Teste de raiz unitária para S_{3t}	45
Tabela 11 - Escolha da ordem do VAR entre S_{1t} e ΔD_t	46
Tabela 12- Escolha da ordem do VAR entre S_{2t} e ΔD_t	46
Tabela 13 - Teste de Causalidade de Granger	46
Tabela 14- Teste de Raiz Unitária	49
Tabela 15 - Teste de Johansen – Razão de Verossimilhança	50
Tabela 16 - Teste de Johansen – Razão de Verossimilhança	50
Tabela 17 - Teste de Johansen de Cointegração entre p_t e d_t	50
Tabela 18 - Escolha da ordem do VAR para δ_t e $r_t - \Delta d_t$	51
Tabela 19 - Teste de Causalidade de Granger	51
Tabela 20– Teste alternativo de Johansen para o MVP.....	52
Tabela 21 – Carteiras teóricas do índice IBOVESPA de 1986 a 2016.....	60

Sumário

1. INTRODUÇÃO	17
2. FUNDAMENTAÇÃO TEÓRICA	19
2.1 A hipótese de Mercados Eficientes: Conceitos e Testes	21
2.2 O Modelo de Campbell-Shiller	25
2.3 Resultados da aplicação do Modelo no mercado norte-americano	30
2.4 Resultados no Mercado Brasileiro de Ações	31
2.5 Resultados em outros Mercados Acionários	32
2.6 Uma forma alternativa de Teste	34
3. METODOLOGIA	38
3.1 Base de Dados	38
3.2 Resultados Empíricos	41
3.2.1 Retornos Esperados Constantes	41
3.2.2 Retornos Esperados Variantes	48
3.2.3 Teste Alternativo Johansen	51
4. CONSIDERAÇÕES FINAIS	52
REFERÊNCIAS BIBLIOGRÁFICAS	55
APÊNDICE 1 – Montagem das Séries	58
APÊNDICE 2 – Gráficos: Propriedades das series temporais	97

IBOVESPA	Índice da Bolsa de Valores do Estado de São Paulo
MVP	Modelo de Valor Presente
RVF	<i>Rational Valuation Formula</i>
VAR	Modelo de Autoregressões Vetoriais
ACF	Função de Autocorrelação
PACF	Função de Autocorrelação Parcial
IPEA	Instituto de Pesquisa Econômica Aplicada
EMH	<i>Efficient Market Hypothesis</i>

1. INTRODUÇÃO

O estudo dos preços dos ativos financeiros tem sido uma das questões mais importantes no estudo das Finanças e a utilização de modelos teóricos, buscando o entendimento das expectativas dos agentes do mercado, é recorrente em muitas das aplicações desta área de estudo. Neste contexto, o modelo de valor presente (MVP) proposto por Campbell e Shiller (1987, 1988a, b), também conhecido por modelo de fluxo de caixa descontado ou modelo de razão dividendo-preço, destaca-se como arcabouço teórico de vários estudos da literatura financeira mundial.

Testes econométricos deste tipo tem sido aplicados em vários mercados mundiais buscando observar a racionalidade e previsibilidade dos preços dos ativos. No mercado brasileiro Anchite e Issler (2001) fizeram este teste utilizando os dados do IBOVESPA avaliando a racionalidade do mercado em um período de 10 anos a partir de 1986.

No mercado de ações o comportamento dos preços deve seguir o valor presente do fluxo de caixa esperado, segundo a hipótese de expectativas racionais formulada por Muth (1961). Para o cálculo do valor presente pode ser usada uma taxa de desconto constante ou variante no tempo a qual é relacionada, respectivamente, à premissa de ativos com retornos constantes ou variantes ao longo do tempo. O modelo de Campbell e Shiller (1987) assume a premissa clássica de retornos constantes mas, frente às críticas recebidas devido às evidências empíricas de previsibilidade dos retornos, foi desenvolvido um novo modelo para trabalhar com a hipótese de retornos variantes em que é possível haver previsibilidade dos retornos.

O uso de técnicas estatísticas multivariadas, como as técnicas de cointegração e o Vetor Autoregressivo (VAR) permitiu ampliar o escopo dos testes, usando não somente a série de preços de ações, mas também a série de dividendos entre outras variáveis como preditoras de retornos. O uso destas informações passadas de séries condicionantes, ao invés de apenas a informação contida no passado da própria série, permitiu entre outros a verificação da existência de causalidade no sentido de Granger (1969) para avaliar a relação entre preços e dividendos

Campbell e Shiller (1987) adotaram um modelo baseado na estimação de um Vetor Autoregressivo (VAR) cointegrado, o que permite lidar com a não estacionariedade das variáveis envolvidas; as séries de preços e dividendos. No entanto, apontaram limitações quanto aos resultados obtidos pela metodologia utilizada e sua relação com a validade das conclusões econômicas obtidas. Mencionam, por exemplo, a existência de vários testes possíveis além do proposto, a necessidade de transformações nas séries de preços e dividendos

e também apontam que a rejeição estatística do MVP pode não implicar em significado econômico. Este último apontamento decorre do fato de ser perfeitamente possível que o modelo explique a maior parte da variabilidade dos preços e, mesmo assim, seja rejeitado ao nível de significância de 5%.

Em vista destas características, tal metodologia tem sido revista, com abordagens estatísticas alternativas e novas formas de teste buscando maior solidez metodológica foram propostas. Johansen e Swensen (1998) apresentaram uma metodologia de teste para expectativas racionais com aplicabilidade para o modelo em questão (MVP), baseada em um estimador de máxima verossimilhança que serve como alternativa ao teste de Wald usual. Esta abordagem busca um tratamento estatístico mais robusto para o teste, uma vez que é invariante para reparametrizações, requeridas na metodologia de Campbell e Schiller (1987, 1988a, b).

Em vista destes pontos, o presente trabalho pretende testar o modelo MVP no mercado acionário brasileiro por meio da metodologia de Campbell e Schiller (1987, 1988a, b) utilizando uma série mais longa de dados de 30 anos, entre 1986 e 2016, buscando avaliar a relação entre os preços e dividendos segundo a causalidade de Granger, análise gráfica e correlação. A carteira montada para o trabalho reflete exatamente o principal índice de ações brasileiro, o IBOVESPA, sendo composta por todas as ações que compuseram o índice nos 30 anos estudados. Foi observada a frequência diária, posteriormente consolidada em trimestres para efeito de análises e todas as alterações no índice foram consideradas. Além disso a hipótese de mercados eficientes também será testada com a utilização da metodologia alternativa de Johansen e Swensen (1998) que busca um apuro estatístico maior e ainda não foi aplicada para dados brasileiros.

Os resultados obtidos com a aplicação da metodologia de Campbell e Schiller (1987, 1988a, b) foram inconclusivos. Por sua vez, a aplicação da metodologia alternativa de Johansen e Swensen (1998) indicou fortemente a rejeição da hipótese de expectativas racionais.

O trabalho está dividido em 4 seções. Na seção 2 são explicadas as relações de valor presente, hipótese de mercados eficientes e teorias relacionadas que suportam os modelos de Campbell e Shiller (1987, 1988a, b). Os modelos também são apresentados para as hipóteses de retornos constantes e variantes, e sua aplicação no mercado de ações brasileiro feita por Anchite e Issler (2001). A seção traz ainda a metodologia alternativa de teste de expectativas racionais em modelos VAR cointegrados desenvolvida por Johansen e Swensen (1998). A seção 3 traz a metodologia e os resultados, incluindo a análise descritiva das séries envolvidas na análise, e os resultados dos modelos. A seção 4 traz a discussão dos resultados e as

considerações finais. O Apêndice I explica o detalhamento da montagem da carteira e traz a lista de todas as ações consideradas. Finalizando, o apêndice II traz gráficos complementares da análise das séries.

2. FUNDAMENTAÇÃO TEÓRICA

Em linhas gerais quando economistas se referem à eficiência dos mercados estão considerando que os preços dos ativos resultam da oferta e demanda em um cenário de mercado competitivo, formado por investidores racionais. Estes investidores rapidamente assimilam toda informação relevante para a determinação dos preços – como, por exemplo, a distribuição futura de dividendos – e ajustam rapidamente os valores segundo suas expectativas. Desta forma, uma vez que indivíduos não tenham vantagens na obtenção de tais informações, não deve haver oportunidades de obtenção de retornos além do valor justo determinado pelo risco do ativo. Em resumo, lucros anormais devem ser nulos (CUTHBERTSON, NITZSCHE, 2005).

Malkiel (1992) oferece uma definição mais completa, segundo a qual um mercado de capitais é eficiente se os preços refletirem, de forma total e correta, todas as informações relevantes para sua formação. Formalmente, a eficiência de mercado refere-se a determinado conjunto de informações que, ao serem reveladas a todos os participantes, não afetam os preços. Além disso a eficiência relacionada a um conjunto específico de informações implica que não é possível obter ganhos econômicos com a utilização destas informações nas operações de mercado.

Para a implementação desta abordagem, faz-se necessário escolher um conjunto de informações dentre três tipos, segundo Malkiel e Fama (1970) e Fama (1991, 1998):

- **Eficiência na forma fraca:** o conjunto informacional consiste apenas dos preços e retornos passados;
- **Eficiência na forma semi-forte:** o conjunto informacional incorpora toda informação pública disponível, incluindo preços e retornos passados;
- **Eficiência na forma forte:** Preços incorporam toda informação possível de ser conhecida, incluindo ‘informação interna’;

Definido um conjunto informacional Ω_t , um mercado é eficiente em relação a este conjunto informacional se é impossível obter lucros econômicos negociando com base nestas informações. Por lucros econômicos deve-se entender o retorno ajustado pelo risco, líquido de

todos os custos (CUTHBERTSON, NITZSCHE, 2005). Em trabalhos empíricos, a hipótese de mercados eficientes é geralmente testada na forma semi-forte.

A ideia de que os retornos em um mercado eficiente devem ser aleatórios pode causar algum estranhamento decorrente principalmente da crença que, se os retornos são resultado de um fluxo de caixa descontado, não podem ser aleatórios. No entanto a aleatoriedade dos retornos é totalmente consistente com o modelo de fluxo de caixa descontado e pode ser explicada pela chamada Lei das expectativas iteradas. Para o entendimento deste conceito devem ser considerados dois conjuntos informacionais I e J , sendo que $I \subset J$ e, portanto, toda informação em I_t está também em J_t mas J_t é superior por conter mais informações. As expectativas condicionais de uma variável aleatória X , nestes conjuntos, podem ser escritas como $E[X | I]$ ou $E[X | J]$. A lei das expectativas iteradas diz que $E[X | I_t] = E[E[X | J_t] | I_t]$ ou, de outra forma, a melhor previsão que se pode fazer a partir do conjunto limitado I_t é a previsão da previsão que se faria a partir do conjunto J_t . Este ponto pode ser reescrito como $E[X - E[X | J_t] | I_t] = 0$.

Para uma aplicação em análise de preços no mercado, suponha que o preço de uma ação em t , (P_t), possa ser descrito como a expectativa racional de um valor fundamental V , condicionado ao conjunto informacional I_t , ou seja $P_t = E[V | I_t] = E_t[V]$. A mesma equação um período a frente seria: $P_{t+1} = E[V | I_{t+1}] = E_{t+1}[V]$. Desta forma, a expectativa de mudanças de preços no período seguinte será: $E_t[P_{t+1} - P_t] = E_t[E_{t+1}[V] - E_t[V]] = 0$, pois $I_t \subset I_{t+1}$ e, portanto, $E_t[E_{t+1}[V]] = E_t[V]$ pela lei das expectativas iteradas. Então mudanças nos preços são imprevisíveis dado o conjunto informacional I_t (CAMPBELL, LO e MACKINLAY, 1997).

A hipótese de eficiência do mercado não será rejeitada se os retornos anormais forem imprevisíveis, ou seja, aleatórios. Embora a metodologia empírica de teste esteja bem estabelecida, há sérias dificuldades na interpretação dos resultados devido principalmente a dois aspectos. O primeiro é que, toda metodologia deve assumir um modelo de equilíbrio, o qual define o chamado retorno normal. Caso a hipótese de eficiência seja rejeitada dois motivos poderão explicar o fato: i) o mercado é realmente ineficiente, ou; ii) o modelo de equilíbrio foi definido de maneira incorreta. O segundo aspecto é que, o mercado perfeitamente eficiente é algo pouco provável de ocorrer na prática, em vista dos custos de obtenção e processamento das informações que podem justificar retornos anormais em pequena escala, embora seja difícil precisar o significado de ‘pequena escala’ neste contexto (CAMPBELL, LO e MACKINLAY, 1997).

Na seção seguinte, a hipótese de mercados eficientes será detalhada com uma abordagem algébrica. Salvo outra citação, toda a seção é baseada em Cuthbertson e Nitzsche (2005).

2.1 A hipótese de Mercados Eficientes: Conceitos e Testes

Sob a hipótese de eficiência, o preço da ação P_t incorpora todas as informações relevantes e a única razão da mudança do preço entre os instantes t e $t+1$ é a ocorrência de novas informações. Erros de previsão, ou seja, $\varepsilon_{t+1} = P_{t+1} - E_t P_{t+1}$ devem ser, em média, iguais a zero e não correlacionados com nenhuma informação Ω_t que esteja disponível no momento em que a previsão foi feita. Assim, pode-se representar as expectativas racionais da hipótese de eficiência dos mercados como:

$$P_{t+1} = E_t P_{t+1} + \varepsilon_{t+1} \quad (1a)$$

$$E_t (P_{t+1} - E_t P_{t+1}) = E_t \varepsilon_{t+1} = 0 \quad (1b)$$

Uma implicação de $E_t \varepsilon_{t+1} = 0$ é que a previsão de P_{t+1} é não viesada ou seja, em média, o preço futuro é igual ao preço esperado. A afirmação que a previsão dos erros deve ser independente de qualquer informação disponível Ω_t em t , ou anteriormente, é conhecida como propriedade da ortogonalidade. Pode-se mostrar que, se ε_t é serialmente correlacionado, esta propriedade é violada. Um exemplo ilustrativo de erro serialmente correlacionado é o processo autoregressivo de primeira ordem AR(1):

$$\varepsilon_{t+1} = \rho \varepsilon_t + v_{t+1} \quad (2)$$

Em que v_{t+1} é um elemento aleatório - ruído branco – que, por premissa, é independente da informação no instante t , Ω_t . O erro de previsão $\varepsilon_t = P_t - E_{t-1} P_t$ é conhecido no instante t e assim é parte de Ω_t . A equação (2) implica que o erro no período t (ε_t) tem um efeito preditivo no erro do próximo período, ε_{t+1} , mas este último de acordo com (1a e b) pode ser usado na previsão de preços futuros, o que violaria a hipótese de mercados eficientes.

Para verificar este ponto consideremos a equação a seguir, obtida a partir do *lag* da equação (1a) em um período e multiplicando-a por ρ (coeficiente de correlação). Esta é a transformação Cochrane-Orcutt:

$$\rho P_t = \rho(E_{t-1} P_t) + \rho \varepsilon_t \quad (3)$$

Subtraindo (3) de (1a) e usando $v_{t+1} = \varepsilon_{t+1} - \rho \varepsilon_t$:

$$P_{t+1} = \rho P_t + \rho(E_t P_{t+1} - \rho E_{t-1} P_t) + v_{t+1} \quad (4)$$

A equação (4), mostra que quando ε_t é serialmente correlacionado, o preço de amanhã será dependente do preço de hoje e também será, em parte, previsível a partir das informações atuais disponíveis. Assim sendo, a premissa de não correlação serial dos erros é subordinada à premissa de eficiência de mercados, segundo a qual a informação disponível hoje não deve ser útil na previsão do preço de amanhã (propriedade da ortogonalidade).

A hipótese de eficiência dos mercados também pode ser aplicada ao retorno da ação R_t . Desta forma, uma equação similar a (1) aplica-se ao retorno da ação:

$$\varepsilon_{t+1} = R_{t+1} - E_t R_{t+1} \quad (5)$$

Em que $E_t \varepsilon_{t+1} = 0$. Para testar a hipótese de mercados eficientes é necessário um modelo que avalie como os investidores determinam os retornos esperados.

Alguns pontos da hipótese de eficiência dos mercados podem ser assim resumidos:

- i. Todos os agentes do mercado operam a partir de um modelo de equilíbrio de retornos, ou de determinação de preços;
- ii. Os agentes processam todas as informações relevantes ao mesmo tempo, com o objetivo de determinar seu retorno de equilíbrio (esperado). Os erros do modelo não são previsíveis a partir da informação disponível no momento atual;
- iii. Agentes não conseguem obter lucros anormais a partir de uma série de ‘apostas’;

Os procedimentos empíricos para os testes da hipótese de eficiência partem de modelos econômicos baseados em tais pontos. Os testes apoiados nos axiomas das expectativas racionais, geralmente conhecidos como testes de eficiência informacional, verificam propriedades como a da ortogonalidade. Por sua vez, os testes que verificam o quanto o mercado segue um valor fundamental (V_t) usam dados passados para determinar tal valor a partir dos dividendos descontados (*RVF – Rational Valuation Formula*). Estes dois tipos de testes não são mutuamente exclusivos uma vez que, na prática, podem ser aplicados nas

mesmas séries de dados e resultar em conclusões divergentes. O procedimento dos testes consiste em verificar o quanto a variação nos preços observados é consistente com a variabilidade calculada a partir dos preços ótimos, obtidos a partir dos fundamentos. Há ainda um terceiro tipo de teste, segundo Cuthbertson e Nitzsche (2005), que seriam aqueles que verificam o quanto as estratégias ativas de ‘trading’ conseguem obter ganhos anormais. Tais estratégias são medidas em relação a uma estratégia passiva, como manter uma carteira baseada no S&P500.

O valor fundamental (V_t) exclui a possibilidade de bolhas especulativas (WEST, 1987) e é dado por:

$$V_t = E_t \sum_{i=1}^{\infty} \delta^i D_{t+i} \quad (6)$$

Em que D_{t+i} são os dividendos pagos entre t e $t+i$.

Se o preço da ação P_t for diferente de V_t , então existirão oportunidades não exploradas de lucro no mercado. Assumindo que: i) investidores tem expectativas homogêneas ou, mais precisamente, que suas visões subjetivas do valor fundamental refletem o valor ‘real’ subjacente e; ii) as oportunidades de arbitragem são instantaneamente corrigidas, igualando P_t ao valor fundamental V_t , obtém-se a fórmula de avaliação racional (RVF):

$$P_t = E_t \sum_{i=1}^{\infty} \delta^i D_{t+i} \quad (7)$$

Se os retornos esperados forem constantes, então a taxa de desconto será constante sendo esta, no entanto, uma hipótese muito restritiva. Uma crítica a esta hipótese é decorrente de trabalhos relacionados a volatilidade do mercado como o de Fama e French (1988), que encontraram evidências empíricas sobre a previsibilidade dos retornos usando um modelo AR univariado em seus testes. Resultados como este motivaram Campbell e Schiller (1988a, b) na busca de modelos com retornos variantes e possibilidade de previsibilidade dos mesmos.

Os chamados testes de volatilidade, dentre os quais os mais famosos são os testes de Schiller, examinam a RVF para os preços das ações sob a premissa específica dos retornos de equilíbrio. Em linhas gerais, estes testes avaliam o quanto a variabilidade nos preços das ações é consistente com a variabilidade nos fundamentos, isto é, nos dividendos e taxas de descontos do RVF. Estes testes podem ser classificados em dois tipos: i) os baseados em um modelo, ou

processo estocástico, para os dividendos e; ii) os que não assumem um modelo estatístico para as variáveis.

Um ponto fundamental na interpretação dos vários testes envolvendo preços das ações é a hipótese de estacionariedade dos dividendos. A importância da estacionariedade reside no fato de que séries não estacionárias podem ser analisadas apenas para o período de tempo em consideração, não permitindo generalização. A metodologia VAR (Vetor Autoregressivo) aborda este problema por meio de testes de estacionariedade nas variáveis e também permite várias métricas alternativas para avaliar a validade da RVF.

A fórmula de avaliação racional (RVF) é não linear na taxa de desconto requerida sendo possível, entretanto, uma linearização (aproximação linear) por meio da utilização da função log-linear. A aplicação do VAR e a linearização da RVF permitem investigar a relação entre os retornos de um ou mais períodos, além da volatilidade da série de preços. Também pode ser testada, a partir de algumas premissas de retornos em um período, a hipótese de eficiência informacional de expectativas racionais.

Esta foi a metodologia foi utilizada por Campbell e Shiller (1987, 1988a, b) que será detalhada na seção a seguir. O modelo adotado baseia-se na estimação de um Vetor Autoregressivo (VAR) cointegrado, o que permite lidar com a não estacionariedade das variáveis envolvidas; as séries de preços e dividendos.

Antes de introduzir o modelo, para melhor entendimento e alinhamento dos termos usados nos procedimentos metodológicos, segue uma breve revisão de algumas propriedades das séries temporais suportada por Gujarati e Porter (2011):

- Em uma série temporal estacionária, a média, variância e autocovariâncias (em variadas defasagens) permanecerão as mesmas, independente do ponto em que foram medidas ou seja, são invariantes no tempo;
- Se a tendência em uma série temporal é uma função previsível no tempo, é chamada de determinística e, se não é previsível, é chamada de estocástica;
- Os termos ‘não estacionariedade’, ‘passeio aleatório’, ‘raiz unitária’ e ‘tendência estocástica’ podem ser tratados como sinônimos;
- Se uma série temporal não estacionária precisa ser diferenciada d vezes para tornar-se estacionária é denominada como integrada de ordem d e denominada $I(d)$;

De acordo com Enders (2014), para modelos univariados a tendência estocástica pode ser removida por meio da diferenciação e as séries estacionárias resultantes podem ser estimadas usando técnicas univariadas como a de Box-Jenkins. Embora a generalização desta ideia, para um contexto multivariado, seria a de aplicar a diferenciação em todas as variáveis

usadas na análise de regressão, a forma mais apropriada é a técnica da cointegração. Um conjunto de variáveis integradas (estacionárias em diferenças) são ditas cointegradas se for possível obter uma combinação linear que seja estacionária (ENDERS, 2014).

A propriedade estatística da cointegração aplica-se na verificação de vários modelos econômicos uma vez que qualquer relação de equilíbrio entre um conjunto de variáveis não estacionárias implica que suas tendências estocásticas devam estar relacionadas, ou seja que as variáveis não podem se mover de forma independente umas das outras. Por sua vez, esta conexão entre as tendências estocásticas necessita que as variáveis sejam cointegradas (ENDERS, 2014).

2.2 O Modelo de Campbell-Shiller

O modelo de valor presente geral, apresentado por Campbell e Shiller (1987), para duas variáveis, dividendos (y_t) e preços (Y_t), é:

$$Y_t = \theta(1 - \delta) \sum_{i=1}^{\infty} \delta^i E_t y_{t+i} + c, \quad (8)$$

Em que c é uma constante, θ é o coeficiente de proporcionalidade, δ é o fator de desconto Y_t é o preço e y_t o seu dividendo. A esperança, ou valor esperado, E_t , é condicionada ao conjunto público de informações I_t , que inclui y_t e Y_t e, em geral, excede o conjunto de informações H_t avaliado pelos econométricos.

Os autores apontam considerável grau de controvérsia quanto à validade do modelo para títulos, ações e outras variáveis econômicas:

- i) Há vários testes possíveis na literatura, tais como simples testes de regressão, testes de equações cruzadas restritivas usando VAR (Vetor de auto regressão) e testes de razão da variância. Não há consenso sobre como estas alternativas estão relacionadas entre si;
- ii) A rejeição estatística do modelo pode não ter significado econômico, pois é possível que mesmo explicando a maior parte da série de variação dos preços do ativo (Y_t) ocorra a rejeição em níveis estatisticamente significantes;
- iii) Por fim, as séries de variáveis de dividendos (y_t) e preços (Y_t) requerem usualmente algum tipo de transformação para que a teoria de processos

estocásticos estacionários seja aplicada, dado que há evidências que as séries de preços e seus respectivos dividendos possuem uma raiz unitária, ou seja são não estacionárias, quando submetidas a testes econométricos.

Especialmente devido ao último ponto, que pode viesar procedimentos sobre o modelo (8) se Y_t (preço) e y_t (dividendo) forem não estacionários em níveis, Campbell e Shiller (1987) desenvolveram um teste que é válido quando as séries são estacionárias nas primeiras diferenças. O ponto central de seu procedimento refere-se a um teste de restrições nos coeficientes de uma auto regressão vetorial (VAR), onde este modelo é usado para fazer a previsão ótima descontada implícita em (8). A principal vantagem desta abordagem é que, apesar de não ser possível observar todo o conjunto de informações disponíveis aos agentes de mercado (I_t), a técnica econométrica resume boa parte da informação relevante nas variáveis utilizadas na construção do VAR (ANCHITE e ISSLER, 2001).

A seguir explicaremos a abordagem de Campbell e Shiller (1987), que adota a hipótese comportamental de retornos constantes para as ações, ou seja:

$$E_t[R_{t+1}] = R \quad (9)$$

Usando a definição de retorno de uma ação entre o período t e $t+1$:

$$R_{t+1} \equiv \frac{Y_{t+1} + y_{t+1}}{Y_t} - 1 \quad (10)$$

A proposta para testar o modelo (8) é usá-lo como restrição para o comportamento da variável $\xi_t = Y_t - \left(\frac{1}{\delta}\right) [Y_{t-1} - \theta(1 - \delta)y_{t-1}]$, em que Y_t representa o preço de uma ação medido no fim do período t . Substituindo em (8) obtém-se:

$$\xi_t = Y_t - E_{t-1} Y_t + c\left(1 - \frac{1}{\delta}\right) \quad (11)$$

Exceto por uma constante, ξ_t é a mudança do preço da ação (Y_t) no período t subordinada à hipótese de eficiência do mercado, ou seja, a mudança segundo a lei das expectativas iteradas no que concerne ao conjunto da totalidade das informações do mercado I_t . O modelo tem a implicação de que esta inovação é observável apenas quando Y_t , Y_{t-1} , y_{t-1}

e os parâmetros c , θ e δ são conhecidos. A interpretação de ξ_t será, portanto, a de um retorno de ação.

Considerando o lado direito da equação (11), ajustado para uma constante segundo a hipótese adotada, seja ortogonal a todos os elementos do conjunto informacional I_t (propriedade da ortogonalidade), uma possível abordagem de teste é utilizar uma regressão em ξ_t com as variáveis deste conjunto e verificar se os coeficientes desta regressão são conjuntamente iguais a zero. No entanto há algumas armadilhas que devem ser evitadas. Inicialmente os regressores usados para a previsão de ξ_t devem ser estacionários. Além disso enquanto a equação (8) implica (11) o reverso não é válido uma vez que a equação (11) é consistente de uma forma mais geral que (8) o que inclui a possibilidade de uma “bolha racional” (WEST, 1987). Por fim, não está claro quais são as implicações de coeficientes diferentes de zero nos preços Y_t , uma vez que a previsibilidade dos retornos afeta o comportamento dos preços.

Em vista destes apontamentos há ganhos em se adotar uma nova variável que será chamada de “spread” e definida por: $S_t = Y_t - \theta y_t$. No caso da estrutura a termo este pode ser entendido como o spread entre a taxa de juro de longo e curto prazos, para ações esta é a diferença entre o preço da ação e um múltiplo dos dividendos.

Há duas interpretações alternativas para este spread. Subtraindo θy_t de ambos os lados da equação (8) e rearranjando, obtém-se:

$$S_t = E_t S_t^* + c \quad (12)$$

$$\text{Onde } S_t^* = \theta \sum_{i=1}^{\infty} \delta^i \Delta y_{t+i},$$

e

$$S_t = \frac{\delta}{1 - \delta} E_t \Delta Y_{t+i} + c \quad (13)$$

Segundo a equação (12), o spread é uma constante somada à S_t^* que é a previsão ótima, ou seja, uma média ponderada das mudanças futuras em y . A equação (13) diz que o spread é linear na previsão ótima das mudanças em Y .

Estas equações ajudam a solucionar as armadilhas apontadas anteriormente. Se Δy_t é estacionário, decorre de (12) que S_t é estacionário, já de (13) vem que ΔY_t é estacionário. Dessa forma, pode-se usar S_t e Δy_t , ou S_t e ΔY_t , como variáveis estacionárias que expliquem

o histórico de y_t e Y_t em um teste de regressão do modelo. A opção adotada por Campbell e Shiller (1987) foi usar S_t e Δy_t .

As equações (12) e (13) também sugerem uma forma de calcular as implicações para Y_t decorrentes da previsibilidade de ξ_t por meio do modelo VAR citado anteriormente. Usando a expectativa condicional para fazer projeções pode-se avaliar as implicações das relações de valor presente. Desta forma uma implicação fraca é que existe uma relação de causalidade de Granger (1969) de S_t para Δy_t . A explicação intuitiva para esse resultado é que S_t é uma previsão ótima de uma soma ponderada dos valores de Δy_t , dada a condição de que os agentes do mercado tenham acesso às informações necessárias para tal previsão. Assim sendo, S_t terá poder explicativo incremental para o futuro de Δy_t se os agentes tiverem informação útil para prever além do histórico desta variável. Se os agentes não tiverem tal informação levarão S_t a uma exata função linear de Δy_t corrente e defasado.

Os autores definem o “spread teórico” S'_t como a previsão ótima dado o conjunto de informações H_t do valor presente de todas as mudanças futuras em y :

$$S'_t = E(S_t^* | H_t) \quad (14)$$

Ignorando os termos constantes, tem-se:

$$S_t - S'_t = \sum_{i=1}^{\infty} \delta^i E(\xi_{t+i} | H_t) \quad (15)$$

e

$$S_t - \left(\frac{\delta}{1-\delta} \right) E(\Delta y_{t+i} | H_t) = \left(\frac{1}{1-\delta} \right) E(\xi_{t+i} | H_t) \quad (16)$$

Para o teste do modelo também é definido ξ'_t como θ vezes a inovação de $t - 1$ a t no valor presente esperado de Δy condicionada ao conjunto de informações do VAR:

$$\xi'_t \equiv \theta \sum_{i=1}^{\infty} \delta^i [E(\Delta y_{t+i} | H_t) - E(\Delta y_{t+i} | H_{t-1})] = S'_t - \left(\frac{1}{\delta} \right) S'_{t-1} + \theta \Delta y_t \quad (17)$$

De acordo com o modelo de valor presente, $\xi'_t = \xi_t$, desde que $S'_t = S_t$. É construída a razão $\text{var}(\xi_t)/\text{var}(\xi'_t)$. O modelo prevê que esta razão deva ser igual a um, enquanto que a noção de volatilidade dos preços das ações sugere que deva ser maior do que um.

A aplicação da teoria usual de séries temporais parte da premissa que as séries são estacionárias, livres da raiz unitária. Apesar dos preços e dividendos serem séries não estacionárias, há uma combinação linear destas séries que não possui raiz unitária. Desta forma, na linguagem da análise de séries temporais o vetor $x_t = (y_t, Y_t)'$ é cointegrado. Em outras palavras dividendos e preços são cointegrados. Uma definição formal, além da que abordamos anteriormente, é dada a seguir:

Definição 1 (Engle e Granger, 1987): Um vetor x_t é dito ser cointegrado de ordem d, b , denotado por $x_t \sim CI(d, b)$, se: i) todas as componentes de x_t são integradas de ordem d (estacionárias na d -ésima diferença), e, ii) existe um vetor $\alpha \neq 0$, tal que $W_t = \alpha' x_t$ é integrado de ordem $d - b, b > 0$. O vetor α é chamado de vetor de cointegração.

Um resumo simples e direto desta metodologia foi feito por Johansen e Swensen (2015). Segundo os autores, como o spread S_t e o spread teórico S'_t tem o mesmo significado intrínseco, se as restrições referentes ao modelo de valor presente são válidas, ambas as versões estimam a mesma coisa. A ideia implementada pode ser, portanto, descrita por uma série de passos:

- i. Estimar o vetor de cointegração $Y_t - \left(\frac{\delta}{1-\delta}\right) y_t$ usando regressão;
- ii. Transformar os dados para as variáveis estacionárias $\hat{S}_t^1 = Y_t - \left(\frac{\hat{\delta}}{1-\hat{\delta}}\right) y_t$ e Δy_t onde \hat{S}_t^1 é o estimador do spread atual;
- iii. Ajustar um modelo VAR para as variáveis estacionárias $(\hat{S}_t^1, \Delta y_t)$;
- iv. Calcular a previsão de $E_t[\Delta y_{t+1}]$ a partir do modelo ajustado e calcular \hat{S}_t^2 , que é a previsão estimada da média ponderada das mudanças nos dividendos:

$$\hat{S}_t^2 = \left(\frac{\hat{\delta}}{1-\hat{\delta}}\right) \sum_{i=1}^{\infty} \hat{\delta}_i E_t[\Delta \hat{y}_{t+1}] \quad (18)$$

- v. Comparar \hat{S}_t^1 e \hat{S}_t^2 por meio de análise gráfica e calculando estatísticas como a correlação e a razão de variância;

2.3 Resultados da aplicação do Modelo no mercado norte-americano

Campbell e Shiller (1987) testaram o modelo para títulos e ações do mercado norte-americano. No caso dos títulos, o modelo é um caso especial da equação (8) no qual os parâmetros θ e δ são conhecidos a priori, sendo o primeiro igual a 1 e o segundo um parâmetro de linearização. A constante c é um prêmio de liquidez irrestrita do modelo. O teste foi feito com uma série mensal de títulos do governo americano do período de 1959 a 1983. A taxa de juros de curto prazo é a taxa de um mês dos títulos.

Para ações o modelo é um caso especial de (8) em que θ é conhecido e igual a $\frac{\delta}{1-\delta}$, sendo a constante c zero. O fator de desconto não é conhecido a princípio, mas será inferido pela estimativa do vetor de cointegração para preços e dividendos, sendo também um estimador consistente a média amostral dos retornos das ações. Uma dificuldade para o teste com ações é que os preços (Y_t) e os dividendos (y_t) não são medidos simultaneamente na série anual, pois Y_t é do início do período e y_t é pago após algum tempo. Para evitar esse problema foi construída a variável $SL_t \equiv Y_t - \theta y_{t-1}$, sendo as variáveis dependentes no modelo SL_t e Δy_{t-1} , pois ambas estão no conjunto de informações do mercado o instante t , porém não no início do período de $t - 1$, sob uma premissa mais conservadora de informação de mercado.

Inicialmente são estudadas as propriedades estocásticas das séries envolvidas. Foi utilizada a regressão de Dickey-Fuller com e sem tendência, com as defasagens corrigidas como proposto por Phillips e Perron (1988) e Phillips (1987). A hipótese alternativa a ser testada é que as séries são estacionárias em tendência (situação com tendência) ou estacionárias em uma média fixa (casos sem tendência). A existência de raiz unitária indica não-estacionariedade.

Nesta análise realizada por Campbell e Schiller (1987), os resultados para os títulos suportam a hipótese, para os títulos, que as taxas de juros no longo e curto prazos são cointegradas, ou seja, embora não se rejeite a hipótese que cada série tenha uma raiz unitária há fortes evidências de que as mudanças são estacionárias. O spread de longo prazo tem a raiz unitária rejeitada a um nível de 10% com uma tendência estimada e rejeitada a 5% sem a tendência. Finalmente, o retorno ξ_t também é estacionário, o que também é uma evidência da estacionariedade do spread devido aos resultados discutidos em (16).

Os testes, repetidos para as ações, mostraram também que preços (Y_t) e dividendos (y_t) estão integrados em primeira ordem. Nas ações, após a estimativa do parâmetro θ , a utilização

do teste de Engle e Granger (1987) mostrou evidências de cointegração entre ações e dividendos, porém de forma mais fraca do que a cointegração entre a estrutura a termo (títulos).

Também foi proposto um método para ajuste do modelo a valor presente. Por meio do uso do VAR foi construída uma previsão ótima do spread atual e do spread teórico e calculadas as variâncias e correlações entre as duas variáveis.

Os modelos foram rejeitados tanto para títulos quanto para ações em níveis de significância convencionais (5% e 10%) com uma evidência muito forte para os títulos. Para estes, no entanto, o spread entre as taxas de curto e longo prazos apresenta comportamento muito próximo das previsões teóricas feitas para o curto prazo. Tal comportamento pode ser interpretado como uma evidência de que os desvios do valor presente para os títulos para os títulos são transitórios. Já para as ações, a avaliação do valor presente indica que o spread entre os preços e os dividendos varia muito mais intensamente além de ser mais persistente, observando-se o fato de que a força da evidência depende sensivelmente da taxa de desconto adotada no teste.

2.4 Resultados no Mercado Brasileiro de Ações

Utilizando-se do arcabouço teórico de Campbell e Shiller (1987) foi realizado, por Anchite e Issler (2001), um teste visando analisar a racionalidade e previsibilidade do mercado brasileiro de ações. Os dados utilizados foram os preços e dividendos do Ibovespa observados trimestralmente entre 1986:1 e 1998:4, foram deflacionados pelo IGP-DI. A metodologia de testes seguiu a linha de Campbell e Shiller (1987), inicialmente foram feitos testes para a raiz unitária das séries utilizando Perron (1996) e a estatística do teste de Phillips-Perron (1988) e após outros testes e ajustes, concluiu-se, por meio do teste de cointegração de Johansen que as séries de preços e dividendos cointegram. As estimativas do VAR sugeriram que as variações nos dividendos são altamente previsíveis havendo forte evidência de que o spread entre preço e dividendo causa no sentido de Granger as variações nos dividendos. Nos dois os casos, rejeitou-se a hipótese de que S_{it} não Granger causa Δy_t e vice-versa aos níveis de significância usuais. Desta forma, o teste de causalidade de Granger foi inconclusivo e, os testes de razão de variância da série observada S_{it} e da prevista pelo modelo S_{it}^0 indicam a rejeição da hipótese de razão unitária, contrariando uma das proposições testáveis do modelo de valor presente. Concluiu-se, apesar de algumas rejeições de hipóteses da teoria, que os dados são favoráveis ao Modelo de Valor Presente, pois, no teste de racionalidade

propriamente dito (Wald), o MVP com retornos esperados constantes não pode ser rejeitado, o que sugere a validade da hipótese de expectativas racionais para o mercado brasileiro de ações no contexto considerado.

2.5 Resultados em outros Mercados Acionários

A seguir serão reportados testes da hipótese de eficiência de mercado realizados em vários países e regiões, ressaltando-se que a relação não é exaustiva. Os trabalhos analisados a seguir verificam, a partir de vários testes, a hipótese de passeio aleatório abordando a hipótese de eficiência de mercados em sua forma fraca. As análises e resultados desta seção são baseados nos estudos de Borges (2010) e Hamid *et al.* (2010).

A partir do trabalho seminal de Fama (1970) foram realizados vários estudos que concluíram que os preços das ações não seguem um passeio aleatório e não são normalmente distribuídos. Alguns destes trabalhos são os de Fama e French (1988) e Lo e MacKinlay (1988). A globalização dos mercados desencadeou o interesse no estudo deste tema tanto em países específicos como em mercados regionais.

Urrutia (1995) investigou a hipótese de passeio aleatório para o mercado acionário de 4 países emergentes latino americanos. Foram usados os índices de dados diários para os mercados da Argentina, Brasil, Chile e México no período de dezembro de 1975 a março de 1991. O teste de razão de variâncias rejeitou a hipótese de passeio aleatório, mas o *run test* indica que existe a forma de eficiência fraca para estes mercados. A razão por trás deste cenário seria que os investidores domésticos não são suficientemente hábeis para avaliar estratégias de *trading* (HAMID *et al.*, 2010).

Borges (2010) realizou testes de eficiência de mercado, em sua forma fraca, em mercados acionários Europeus nos seguintes países: França, Alemanha, Reino Unido, Grécia, Portugal e Espanha. O período do estudo foi entre Janeiro de 1993 e Dezembro de 2007. Foram utilizados testes de correlação serial, *run tests*, testes ADF (*Augmented Dickey-Fuller*) e testes de razão de variância múltipla, como proposto por Lo e MacKinlay (1988). A frequência dos períodos considerados forma diárias e mensais para a totalidade do período e para os últimos cinco anos, ou seja de 2003 a 2007.

A Tabela 1 resume os resultados para os testes feitos, sendo que para os testes de correlação serial foram usadas as estatísticas de Box-Pierce e Ljung-Box. Exceto pelo teste ADF, amplamente favorável à hipótese de passeio aleatório, todos os demais apresentam

resultados mistos. Em geral, encontrou-se evidências que os preços mensais e retornos seguem um passeio aleatório em todos os seis países.

Tabela 1 – Mercado Europeu: A hipótese de passeio aleatório é rejeitada?

	França	Alemanha	UK	Grécia	Portugal	Espanha
<i>Dados Diários: 1993-2007</i>						
Correlação Serial	Não	Sim	Sim	Sim	Sim	Sim
<i>run tests</i>	Não	Não	Não	Não	Não	Não
ADF	Não	Não	Não	Sim	Sim	Não
Razão de Variâncias	Não	Não	Sim	Sim	Sim	Não
<i>Dados Diários: 2003-2007</i>						
Correlação Serial	Não	Sim	Sim	Não	Sim	Não
<i>run tests</i>	Sim	Sim	Não	Sim	Não	Sim
ADF	Não	Não	Não	Não	Não	Não
Razão de Variâncias	Não	Não	Não	Não	Não	Não
<i>Dados Mensais: 1993-2007</i>						
Correlação Serial	Não	Não	Não	Não	Sim	Não
<i>run tests</i>	Não	Não	Não	Sim	Sim	Não
ADF	Não	Não	Não	Não	Não	Não
Razão de Variâncias	Sim	Não	Não	Não	Não	Não
<i>Dados Mensais: 2003-2007</i>						
Correlação Serial	Sim	Não	Não	Sim	Não	Não
<i>run tests</i>	Não	Não	Não	Não	Não	Não
ADF	Não	Não	Não	Não	Não	Não
Razão de Variâncias	Não	Não	Não	Não	Não	Não

Fonte: Borges (2010)

Hamid *et al.* (2010) realizou estudo semelhante no mercado asiático para 14 países incluindo Paquistão, Índia, Sri Lanka, Indonésia, Malásia, Tailândia, Honk Kong, Singapura, Filipinas, China, Coreia do Sul, Japão e Austrália. As observações utilizadas foram mensais no período de Janeiro de 2004 a Dezembro de 2009.

Tabela 2 – Mercado Asiático: A hipótese de passeio aleatório é rejeitada?

País	Correlação Serial	<i>Run test</i>	ADF	Razão de Variâncias
Paquistão	Sim	Sim	Não	Sim
Índia	Sim	Sim	Não	Sim
SriLanka	Sim	Sim	Não	Sim
China	Sim	Sim	Não	Sim
Coreia do Sul	Sim	Sim	Não	Sim
Honk Kong	Sim	Sim	Não	Sim
Indonésia	Sim	Sim	Não	Sim
Malásia	Sim	Sim	Não	Sim
Filipinas	Sim	Sim	Não	Sim
Singapura	Sim	Sim	Não	Sim
Tailândia	Sim	Sim	Não	Sim
Taiwan	Sim	Sim	Não	Sim
Japão	Sim	Sim	Não	Sim
Austrália	Sim	Sim	Não	Sim

Fonte: Hamid *et al.* (2010).

Da mesma forma, o teste ADF foi amplamente favorável à aceitação da hipótese de passeio aleatório, embora todos os demais apresentem resultados que rejeitam esta hipótese. Em geral, encontrou-se evidências que os preços mensais e retornos não seguem um passeio aleatório em todos os 14 países.

2.6 Uma forma alternativa de Teste

Johansen e Swensen (1998) apresentam uma metodologia alternativa de teste para expectativas racionais em VARs cointegrados, sendo o modelo de Campbell e Shiller (1987) um dos exemplos de aplicação. A proposta consiste em obter um estimador de máxima verossimilhança por meio de regressão e regressão com *rank* reduzido, pressupondo expectativas racionais que envolvam apenas observações um período adiante. O detalhamento e as considerações seguintes são baseados em Johansen e Swensen (1998).

Embora as expectativas tenham papel central na teoria econômica sua incorporação em modelos é problemática devido à vários pontos como: i) nem sempre as expectativas são avaliáveis, ii) dados avaliados com base em expectativas nem sempre são confiáveis e; iii) agentes econômicos podem se beneficiar em não revelar suas reais expectativas.

Modelos cujas premissas são expectativas racionais de valores futuros tem uma multiplicidade de soluções. Neste contexto, ao invés de racionais, tais expectativas poderiam ser chamadas de consistentes ao modelo, enfatizando a ideia de expectativa condicional. Com esta abordagem, é proposto um teste de razão de verossimilhança em que as restrições decorrentes da hipótese de expectativas racionais apresentam uma forma particular.

A partir de um VAR, em que foi assumido que as variáveis são integradas de primeira ordem, foram definidos três modelos conjuntos: i) VAR; ii) VAR cointegrado e; iii) VAR cointegrado com restrições decorrentes de expectativas racionais.

O procedimento sugerido, resumidamente, é estimar o VAR para os dados, checar se o coeficiente de cointegração é previsto pela teoria e, finalmente, estimar o modelo VAR cointegrado com as restrições de expectativas racionais. Todos os testes envolvem cálculos simples e distribuições bem definidas.

O teste de razão de verossimilhança proposto serve como alternativa ao teste de Wald usual, que é consistente e eficiente em condições razoáveis. No entanto, ao contrário daquele, é invariante sob reparametrizações e, portanto, pode ser usado para hipóteses conjuntas. Tal propriedade é útil para o teste de restrições que envolvem expectativas racionais, uma vez que permite decompor as estatísticas de teste em duas partes, sendo uma atribuída à restrição nos vetores de cointegração, e outra relacionada às demais restrições impostas.

As hipóteses serão formuladas como restrições lineares envolvendo o valor esperado condicional das observações um período a frente e os valores observados presentes e defasados. No caso em que as restrições puderem ser expressas como combinações lineares com coeficientes conhecidos, podemos encontrar expressões explícitas para os estimadores de máxima verossimilhança e obter o valor máximo.

No entanto, em um contexto de expectativas racionais, as situações de interesse ocorrem para coeficientes desconhecidos, mas que podem ser expressos como funções de um ou mais parâmetros de interesse como, por exemplo, fatores de desconto em modelos de valor presente.

Na definição do modelo estatístico adota-se que o vetor p-dimensional de observações é gerado de acordo com um modelo VAR:

$$X_t = A_1 X_{t-1} + \dots + A_k X_{t-k} + \mu + \phi D_t + \varepsilon_t, \quad t = 1, \dots, T, \quad (19)$$

Em que X_{-k+1}, \dots, X_0 é adotado como fixo e $\varepsilon_1, \dots, \varepsilon_T$ são vetores independentes e identicamente distribuídos segundo uma distribuição normal, com média zero e covariância Σ .

Para o tratamento das expectativas racionais considera-se o conjunto de restrições da seguinte forma:

$$E[c'_1 X_{t+1} | \theta_t] + c'_0 X_t + c'_{-1} X_{t-1} + \dots + c'_{-k+1} X_{t-k+1} + c = 0 \quad (20)$$

Em que $E[. | \theta_t]$ é a expectativa probabilística condicional do modelo (19), dadas as variáveis X_1, \dots, X_t . As matrizes c_1 de dimensão $p \times q$ são conhecidas e possivelmente iguais a zero. O vetor q -dimensional c pode conter parâmetros desconhecidos e é da forma $c=H\omega$ em que a matriz H de dimensão $q \times s$ é conhecida e ω é um vetor s -dimensional contendo os parâmetros desconhecidos, $0 \leq s \leq q$.

Aplicando-se uma transformação na equação (20) pode-se obter a seguinte reformulação:

$$E[c'_1 \Delta X_{t+1} | \theta_t] - d'_1 X_1 + d'_{-1} \Delta X_t + \dots + d'_{-k+1} \Delta X_{t-k+2} + c = 0 \quad (21)$$

As restrições teóricas podem ser expressas na forma de (20) ou (21) de acordo com a conveniência da aplicação. A restrição (20) é mais genérica do que pode parecer, desta forma considerando a expressão:

$$\sum_{j=1}^{\infty} \delta^{j-1} E[f'_1 X_{t+j} | \theta_t] + f'_0 X_t + \sum_{j=1}^{k-1} f'_{-j} X_{t-j} + f = 0 \quad (22)$$

Em que δ é uma constante conhecida e f_{-k+1}, \dots, f_1, f são matrizes conhecidas com exceção que f pode ter a mesma forma que c . Usando expectativas condicionais recursivas em uma expressão similar em $t+1$, multiplicando por δ e subtraindo de (22) obtém-se:

$$\begin{aligned} (f_1 - \delta f_0)' E[X_{t+1} | \theta_t] + (f_0 - \delta f_{-1})' X_t \\ + \sum_{j=1}^{k-2} (f_{-j} - \delta f_{-(j+1)})' X_{t-j} + f'_{-(k+1)} X_{t-k+1} + (1 - \delta) f = 0 \end{aligned}$$

Mostrando que as restrições na forma de (20) podem ser escritas na forma de (21), de acordo com a conveniência.

O modelo de Campbell e Shiller (1987) expresso na equação $Y_t = \theta(1 - \delta) \sum_{i=1}^{\infty} \delta^i E_t y_{t+i} + c$, é um exemplo de aplicação. Nos casos em que θ e δ são conhecidos, a hipótese de racionalidade pode ser testada por meio de (22) tomando-se $f_0 = (1, -\theta(1 - \delta))'$ e $f_1 = (0, -\theta(1 - \delta))'$.

Para a derivação do estimador e elaboração de um teste de razão de verossimilhança a equação (19) é decomposta em dois conjuntos de regressões. A estatística de razão de verossimilhança de um teste para as restrições descritas na equação (20) e modelos VAR de *rank* reduzido será:

$$-2\ln Q = T\ln|S_{11}| - T \sum_{i=1}^r \ln(1 - \hat{\lambda}_i) + T \ln|\hat{\Sigma}_{22}| - T\ln|S_{00}| + T \sum_{i=1}^{r-q} \ln(1 - \tilde{\lambda}_i) - T\ln|b'b||a'a| \quad (23)$$

Em que:

S_{11} , $\hat{\Sigma}_{22}$ e $\hat{\lambda}_i$ são relacionados aos resíduos das regressões;

S_{00} , $\tilde{\lambda}_i$ são estimados a partir dos modelos VAR e

b e a são matrizes associadas às restrições;

A distribuição assintótica desta estatística é uma Qui-quadrado (χ^2) em que o número de graus de liberdade é obtido pela diferença entre o número de parâmetros livres no caso geral e o número de parâmetros sob as restrições. Este número é dado por $kpq - s + (m+1)q$ em que k representa o número de defasagens adotado no modelo VAR, p o número de variáveis do VAR, m o número de séries determinísticas, q o número de restrições do modelo sob a hipótese de expectativas racionais e s o número de parâmetros associados à constante.

A seguir será explicada a aplicação destes resultados na estimativa do modelo de Campbell e Shiller (1987) expresso na equação (8). Expressando o modelo segundo as restrições da forma da equação (22) implica em $q=1$ e os vetores não nulos da forma $f_0 = (1,0)'$, $f_1 = -\delta(0,1)'$. A restrição, expressa na equação (22), reformulada pode ser expressa como:

$$(1,0) \begin{pmatrix} Y_t \\ y_{t-1} \end{pmatrix} - E \left[(\delta, -\delta) \begin{pmatrix} Y_{t+1} \\ y_t \end{pmatrix} | \theta_t \right] = 0 \quad (24)$$

Em que Y_t representa os preços e y_t os dividendos.

A aplicação da equação (23) para a obtenção do estimador de máxima verossimilhança, quando a hipótese de restrições do modelo de valor presente é imposta, implica em usar os seguintes valores para as matrizes a e b associadas às restrições:

$$a = \begin{pmatrix} 1 \\ -1 \end{pmatrix}, \quad b = -\delta \begin{pmatrix} 1 \\ 1 \end{pmatrix}$$

Os demais parâmetros (S_{11} , $\hat{\Sigma}_{22}$, $\hat{\lambda}_i$, S_{00} e $\tilde{\lambda}_i$) serão obtidos por meio das regressões seguintes:

$$\Delta(Y_t - y_{t-1}) = \tilde{\theta}((\delta - 1)Y_{t-1} + \delta y_{t-2} + \tilde{\pi}' \begin{pmatrix} \Delta Y_{t-1} \\ \Delta y_{t-2} \end{pmatrix}) + \mu_1 - \mu_2 + (\varepsilon_{1t} - \varepsilon_{2t}) \quad (25)$$

$$-\delta \Delta(Y_t + y_{t-1}) = (\delta - 1)Y_{t-1} + \delta y_{t-2} - \delta(\varepsilon_{1t} + \varepsilon_{2t}) \quad (26)$$

Desta forma, para δ conhecido, encontrar o valor da máxima verossimilhança quando a restrição do modelo de valor presente é imposta em um modelo VAR bi-dimensional de *rank* reduzido essencialmente significa rodar uma regressão e calcular duas somas de quadrados.

Quando δ é desconhecido, como ocorre neste exemplo em particular, repete-se o procedimento para vários valores do parâmetro com o objetivo de obter o valor máximo.

3. METODOLOGIA

3.1 Base de Dados

Foram utilizadas séries de preços e dividendos do Ibovespa em frequência trimestral entre 1986 e 2016, totalizando 124 trimestres em 30 anos. A série de dividendos foi construída utilizando-se os retornos das ações que compuseram o índice no período agregando-se os

dividendos ponderados pelos seus respectivos pesos no Índice. A série de preços foi obtida a partir da pontuação do Ibovespa no início do período corrigida pelo retorno equivalente ao final de cada trimestre. Por sua vez, a série de taxa de juros considerada neste trabalho, necessária para o teste da razão Dividendo-Preço proposto por Campbell e Schiller (1988a, b), é a média trimestral da taxa real SELIC para nos títulos públicos federais (fonte ANBIMA). A série da taxa de juros foi obtida a partir do site IPEA (Instituto de Pesquisa Econômica Aplicada). Todas as séries foram deflacionadas pelo índice IGP-DI com base em dezembro de 2016. O detalhamento da montagem destas séries, incluindo as carteiras teóricas e a metodologia de cálculo, encontra-se no Apêndice I.

As figuras 1, 2, 3 e 4 apresentam respectivamente as séries de Dividendos (D_t), Preços do Ibovespa (P_t), razão dividendo-preço (D_t / P_t) e da taxa de juros SELIC (r_t). É importante destacar alguns comportamentos destas séries.

A série de dividendos D_t (figura 1) apresenta comportamento bastante volátil com sazonalidade acentuada pois, ano após ano, a distribuição de dividendos parece concentrar-se no segundo trimestre. A série do Ibovespa P_t , (figura 2) por sua vez, é suave e apresenta tendência que parece ser estocástica. A razão Dividendo-Preço (figura 3) não apresenta nenhuma indicação de possuir tendência determinística. Por fim a taxa SELIC que será utilizada como a taxa de juros livre de risco, r_t , não aparenta possuir tendência, ou raiz unitária, e oscila em torno de uma média.

Figura 1 - Série temporal da série de Dividendos (D_t)

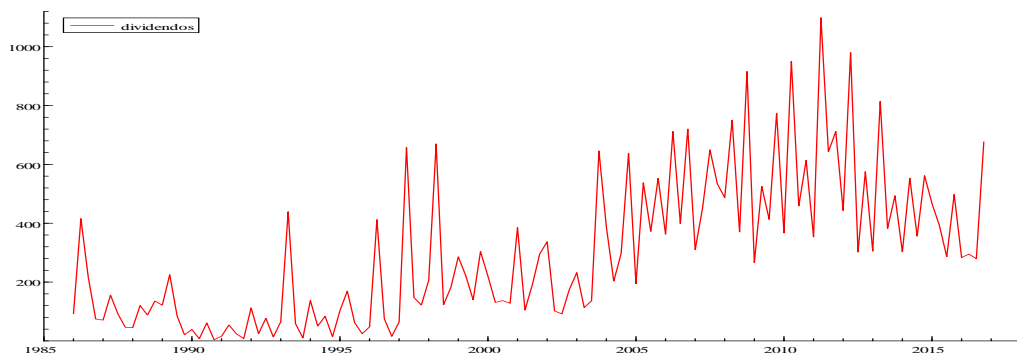


Figura 2 - Série temporal da série do Ibovespa (P_t)

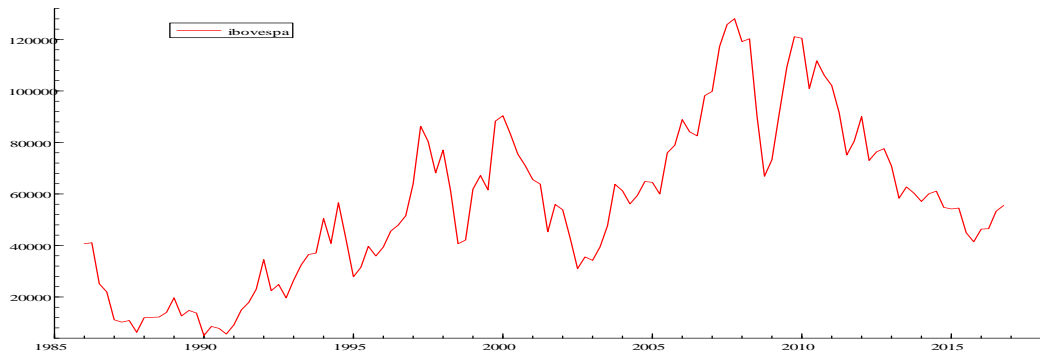


Figura 3- Série temporal da razão Dividendo-Preço (D_t / P_t)

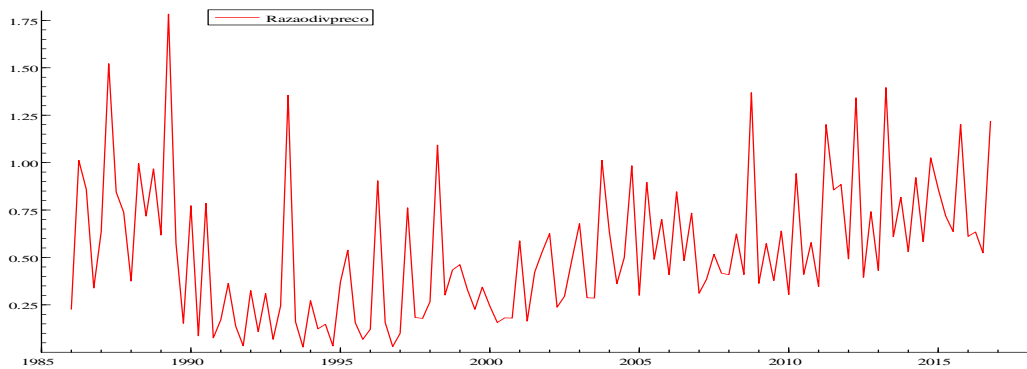
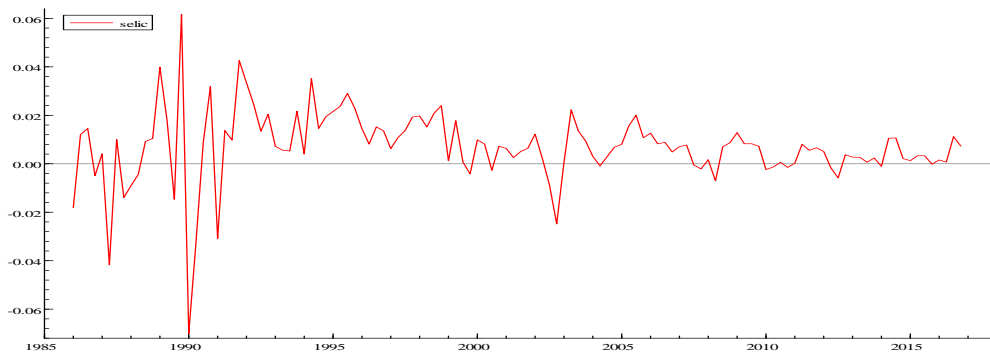


Figura 4- Série temporal da taxa Selic (r_t)



Outro ponto a ser destacado na série de Dividendos (Figura 1) é o significativo aumento no valor dos pagamentos, especialmente a partir de 1996. Como detalhado no Apêndice I esta

série, obtida da base de dados Economatica, incorpora outros proventos além dos Dividendos, como os Juros sobre o Capital Próprio (JSCP).

Segundo Brito, Lima e Silva (2009), no Brasil a legislação brasileira sobre dividendos e ganhos de capital sofreu sete modificações entre 1992 e 2000. Em 1996 a taxaço final sobre dividendos ficou menor que a taxaço sobre ganhos de capital e, também nesta mudança, foram instituídos o JSCP como forma alternativa de remuneração direta aos acionistas. Em 1997, os JSCP passaram a ser considerados como despesa financeira e seu montante descontado do lucro passível de imposto de renda. No ano seguinte tornou-se permitido que os JSCP fossem descontados da base de cálculo da contribuição social sobre o lucro líquido, o que ampliou a vantagem de distribuir resultados diretamente aos acionistas via JSCP ou com Dividendos do que distribuir indiretamente via recompra de ações.

Após as mudanças tributárias houve um significativo aumento do número de empresas que distribuíram seus resultados de forma direta. Enquanto no período de 1990 a 1994 a média anual de empresas que distribuíam desta forma era de 40%, no período de 1997 a 2003 passou a ser de 60% (BRITO, LIMA e SILVA, 2009).

3.2 Resultados Empíricos

A análise feita é baseada em Anchite e Issler (2001) que, por sua vez, buscaram testar a validade do Modelo de Valor Presente de Campbell e Shiller (1987, 1988a, b) adotando respectivamente retornos constantes e variantes.

3.2.1 Retornos Esperados Constantes

Inicialmente foram estudadas as propriedades das séries utilizadas. Como primeiro passo foi feita uma análise gráfica por meio dos gráficos da função de correlação (FAC) e de correlação parcial das séries de Preços e Dividendos e de suas primeiras diferenças. Os gráficos encontram-se no Apêndice II, respectivamente nas figuras 7 e 8.

O correlograma da série de Preços apresenta o comportamento característico de uma série temporal não estacionária: o coeficiente de autocorrelação começa com um valor alto e diminui lentamente em direção a zero à medida que a defasagem aumenta. A primeira

diferença, por outro lado, traz a imagem de uma série temporal estacionária, semelhante a um ruído branco, uma vez que a autocorrelação oscila em torno de zero (Gujarati e Porter, 2011). Estes resultados sugerem que a série é $I(1)$ ou seja, estacionária em primeira diferença.

A série de Dividendos também não parece ser estacionária, uma vez que sua autocorrelação não varia em torno de zero. O valor inicia-se positivo e vai reduzindo, porém não constantemente, uma vez que há aumentos de uma defasagem para a seguinte, o que pode ser decorrente de seu forte componente sazonal. Apresenta, desta forma uma tendência de redução, indicando a não estacionariedade. Sua primeira diferença varia em torno de zero, indicando a estacionariedade, porém em valores absolutos bem maiores que os da série de preços. Tal comportamento também pode ser decorrente do forte componente sazonal.

Os testes realizados para avaliar a estacionariedade destas séries foram: ADF, DF-GLS e Phillips-Perron. Os resultados encontram-se na Tabela 1.

Tabela 3 - Testes de existência de Raiz Unitária

Testes Sem Tendência (H₀)					
Variável	ADF		DF-GLS		Philips Perron
	<i>Lags</i>	Estatística	<i>Lags</i>	Estatística	
P_t	5	-1,851	5	-1,345	-1,899
ΔP_t	4	-6,461**	4	-6,492**	-9,864**
D_t	3	-1,182	7	-0,466	-7,310**
ΔD_t	2	-17,24**	10	-0,055	-37,455**
Teste Com Tendência (H₀)					
Variável	ADF		DF-GLS		Philips Perron
	<i>Lags</i>	Estatística	<i>Lags</i>	Estatística	
P_t	5	-1,315	11	-1,991	-2,463
ΔP_t	4	-6,607**	4	-6,501**	-9,824**
D_t	3	-1,790	3	-1,618	-11,377**
ΔD_t	2	-17,16**	10	-2,044	-37,254**

1)*: rejeita-se a 5% ; **: rejeita-se a 1%

2) Todos os testes incluem intercepto

Confirmando a sugestão da análise gráfica os testes indicam evidência de existência de raiz unitária na série de Preços P_t , seja para os testes com ou sem tendência. Da mesma forma, sua primeira diferença é estacionária e, portanto, a série é integrada de ordem 1, $I(1)$. A série de Dividendos D_t , no entanto, apresenta resultados conflitantes já sugeridos na análise gráfica.

Pelo teste ADF a série seria considerada $I(1)$, pelo teste DF-GLS a primeira diferença não seria estacionária, portanto a série não seria $I(1)$ e pelo teste de Philips Perron a própria série de Dividendos D_t já seria considerada estacionária ou seja, seria $I(0)$. Esta divergência já havia sido apontada por Anchite e Issler (2001) que mencionaram um problema muito comum em séries de dados brasileiros, a presença de fortes “*inliers*”- observações que representam uma rápida queda no nível da série- e que, de acordo com Cati, Garcia e Perron (1999) podem levar à recusa na existência da raiz unitária, quando na verdade há ocorrência da mesma. Uma possível explicação seria a concentração de pagamentos de dividendos no segundo trimestre, o que ocasiona aumento do primeiro para o segundo trimestres e queda do segundo para o terceiro.

Devido às divergências na série de dividendos foi realizado um teste alternativa para detecção de presença da raiz unitária, um teste bivariado de Johansen de restrição no subespaço de cointegração, onde se pretende testar a restrição que $(0,1)$ é o vetor de cointegração de P_t e D_t , condicionado à existência de um vetor de cointegração. A Tabela 2, a seguir, traz o resultado deste teste, que conclui fortemente pela rejeição que o vetor $(0,1)$ seja o vetor de cointegração entre as séries e desta forma que a série D_t seja estacionária. Conclui-se que ambas as séries P_t e D_t , são $I(1)$.

Tabela 4 - Teste de Johansen para restrição no subespaço de Cointegração

Restrição	Chi- Quadrado	P-value
$(1,0) \begin{pmatrix} D_t \\ P_t \end{pmatrix} \sim I(0)$	82.345	0,0000

A seguir será verificada as relações de longo prazo por meio da análise de cointegração, baseada em verossimilhança (JOHANSEN, 1988, 1991). O procedimento do teste de Johansen começa testando a hipótese de não haver cointegração (posto máximo de zero) e aceita a primeira hipótese nula não rejeitada.

Tabela 5 - Teste de Johansen

$H_0 : \text{posto}=p$	Estatística do traço	5% Valor crítico
$p = 0$	30.2967	15.41
$p \leq 1$	3.9735	3.76

O resultado do teste sugere que as séries P_t e D_t cointegram com dois ou mais vetores de cointegração, analisando-se pela estatística do traço. A hipótese nula de que as séries não cointegram é rejeitada ao nível de significância de 5% e, da mesma forma, também é rejeitada a hipótese que o número de vetores de cointegração é menor ou igual a 1. Logo há duas ou mais combinações lineares de preços e dividendos que são estacionárias (cointegram).

Para o cálculo dos coeficientes de cointegração normalizados faz-se necessário a escolha da ordem do VAR, ou seja, o número de *lags*. A Tabela 4 a seguir mostra os resultados segundo três critérios que chegaram a mesma escolha de 4 *lags*. O resultado do teste de cointegração encontra-se na Tabela 5 que traz como vetor de cointegração (1, -127,5376).

Tabela 6 - Escolha da ordem do VAR

Defasagem	Akaike	Hanna-Quinn	Schwarz
0	36.9262	36.8986	36.8798
1	34.687	34.6042	34.5476
2	34.6544	34.5165	34.4221
3	34.6884	34.4953	34.3632
4	34.3478*	34.0995*	33.9297*

Tabela 7 - Coeficientes de Cointegração

beta	Coefficiente	Erro padrão	z	P> z
P_t	1	.	.	.
D_t	-127,5376	23,6307	-5,40	0,0000
Constante	-20463,14	.	.	.

Coeficientes de integração normalizados: 1 equação de cointegração

O resultado do teste sugere que as séries P_t e D_t cointegram,

O passo seguinte é fazer o teste de cointegração de Engle-Granger. Este teste resultou na confirmação de um vetor de cointegração, uma vez que rejeita-se a hipótese de que os resíduos provenientes da regressão entre P_t e D_t contenham uma raiz unitária ao nível de significância de 5%. O vetor de cointegração estimado a partir da regressão foi (1 -81,34515).

Tabela 8 - Teste de Cointegração de Engle-Granger

Regressão de cointegração	$P_t = 31658,26 + 81.34515 * D_t$
Estatística Pperron para resíduos	-6.390**

** Rejeita-se a existência de raiz unitária. Valor crítico a 1%: -3,502

Em face dos resultados conclui-se que as series de preços e dividendos cointegram, ou seja, que $P_t - \theta D_t$ é estacionária. Algumas estimativas potenciais de θ a serem utilizadas são: 1) o vetor estimado a partir do teste de Johansen; 2) A relação de longo prazo de Engle-Granger entre P_t e D_t e; 3) adicionalmente um vetor estimado a partir da taxa média de retorno amostral do Ibovespa, ou seja usar $E(E_t[R_{t+1}])=E(R)=R$, para construir $\theta=1/R$. Os resultados estão na tabela a seguir:

Tabela 9- Estimação do Vetor de Cointegração

Combinação linear	θ estimado	Taxa trimestral de desconto real implícita
S_{1t} - Johansen	127,538	0,7841%
S_{2t} - Engle-Granger	81,346	1,2293%
S_{3t} - Amostral	33,342	2,9991%

A tabela apresenta as combinações lineares S_{1t} , S_{2t} e S_{3t} e as taxas de desconto calculadas a partir de $\theta=1/R$. É necessário, antes de continuar com a construção do VAR em S_{it} e ΔD_t , testar se a série S_{3t} é estacionária. A tabela a seguir apresenta os resultados de alguns testes:

Tabela 10 - Teste de raiz unitária para S_{3t}

Variável	ADF		DF-GLS		Philips Perron
	Lags	Estatística	Lags	Estatística	
S_{3t}	5	-1,982	5	-1,952	-2,537

Observa-se que a existência de raiz unitária não é rejeitada em nenhum dos testes, concluindo-se que a série é não estacionária. Também foi feito o teste KPSS que rejeitou a hipótese que a série S_{3t} seja estacionária ao nível de significância de 1% ($lag=7$, Estatística do teste= 0,204). O VAR será construído, portanto, apenas com as séries S_{1t} e S_{2t} .

Tabela 11 - Escolha da ordem do VAR entre S_{1t} e ΔD_t

Defasagem	Akaike	Hanna-Quinn	Schwarz
0	36.7264	36.7453	36.7731
1	34.4458	34.5027	34.5859
2	34.3509	34.4458	34.5845
3	33.9107*	34.0435*	34.2377*
4	33.9294	34.1001	34.3498

Tabela 12- Escolha da ordem do VAR entre S_{2t} e ΔD_t

Defasagem	Akaike	Hanna-Quinn	Schwarz
0	36.7725	36.7915	36.8192
1	34.536	34.5929	34.6761
2	34.414	34.5089	34.6476
3	33.9448*	34.0776*	34.2718*
4	33.9481	34.1188	34.3684

Tabela 13 - Teste de Causalidade de Granger

Sistema contendo S_{1t} e ΔD_t		
H ₀ :	χ^2	p-value
S_{1t} não causa granger ΔD_t	75.549	0.000
ΔD_t não causa granger S_{1t}	13.898	0.003
Sistema contendo S_{2t} e ΔD_t		
H ₀ :	χ^2	p-value
S_{2t} não causa granger ΔD_t	73.929	0.000
ΔD_t não causa granger S_{2t}	8.2716	0.041

Desta forma, com *lag* 3, rejeito para o nível de significância de 1% a hipótese nula H_0 : S_{1t} não causa granger ΔD_t , e também rejeito a hipótese no sentido contrário, H_0 : ΔD_t não causa granger S_{1t} .

A hipótese H_0 : S_{2t} não causa granger ΔD_t também é rejeitada para o nível de 1%. No entanto não rejeita-se a hipótese H_0 : ΔD_t não causa granger S_{2t} para o nível de 1%, esta hipótese seria rejeitada para o nível de 5%.

O teste de causalidade de Granger é, desta forma, inconclusivo, pois a teoria sugere causalidade de Granger apenas em uma direção, isto é S_{it} causa granger ΔD_t . Não se pode concluir, portanto, a partir deste teste, que os dados sejam favoráveis ao modelo de valor presente no mercado brasileiro de ações considerando-se a hipótese de retornos constantes.

A análise gráfica é feita nas figuras 5 e 6 a seguir que fazem a comparação entre os spreads teóricos S_{1t} e S_{2t} respectivamente em relação ao spread observado (Ibovespa). O coeficiente de correlação entre S_{1t} e o Ibovespa é de apenas 0,39 enquanto o de S_{2t} com o Ibovespa é de 0,76.

Figura 5- Desvios da média do Spread teórico de Johansen e observado ($\theta=127,538$)

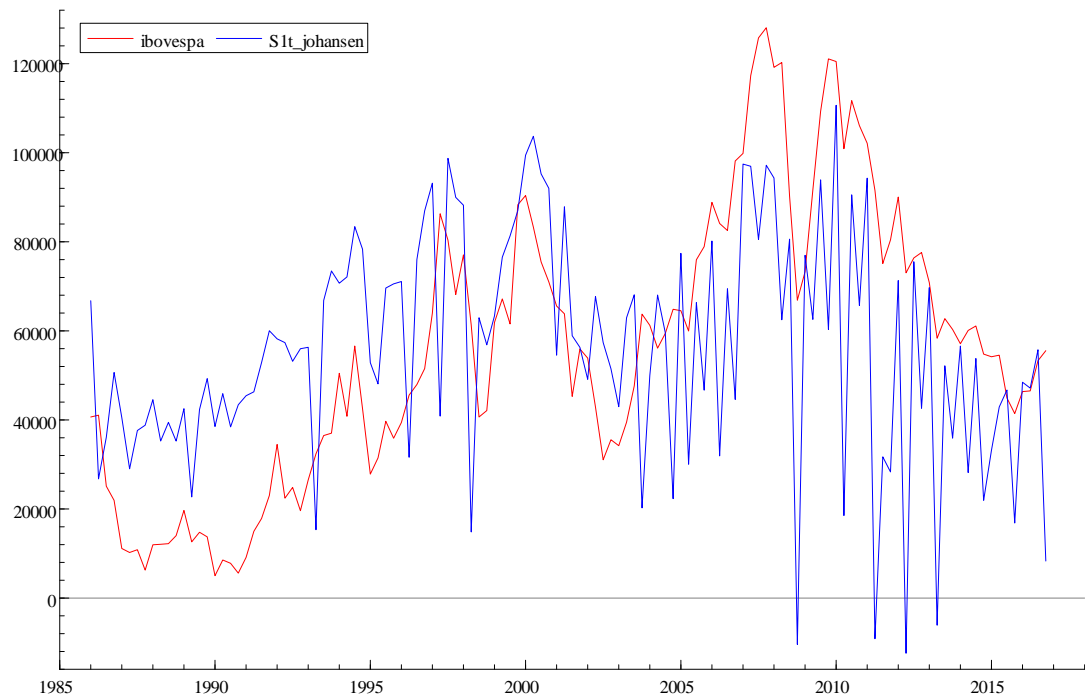
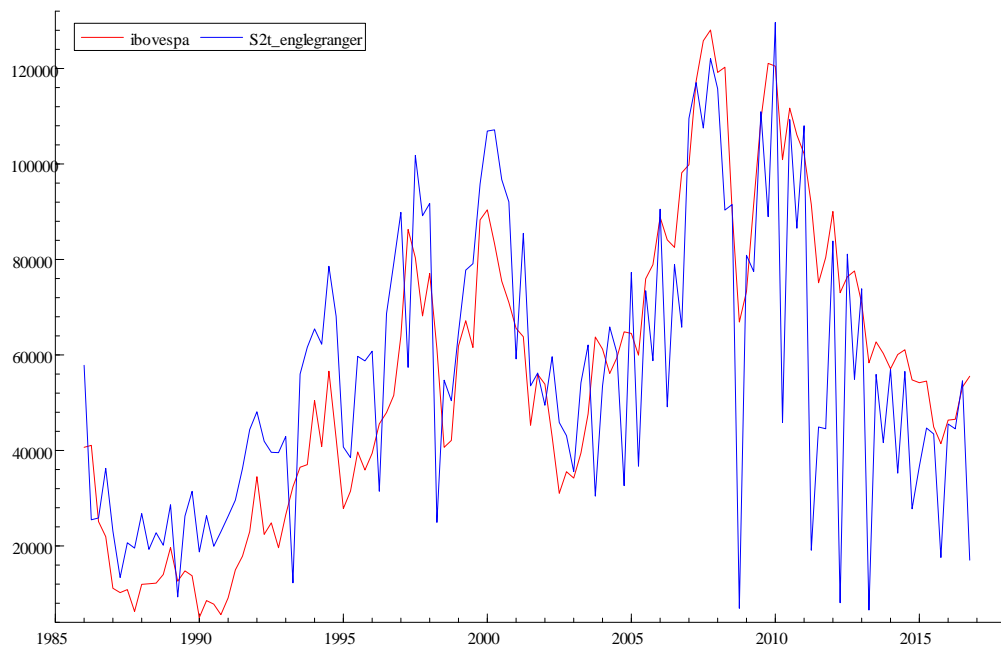


Figura 6- Desvios da média do Spread teórico de Engle-Granger e observado ($\theta=81,386$)



3.2.2 Retornos Esperados Variantes

As séries estudadas nesta seção são as séries do logaritmo do Ibovespa - preço (p_t), do logaritmo de seu dividendo (d_t) e da taxa de juros SELIC (r_t) adotada como taxa de juros livre de risco. O teste de verificação será o de causalidade de Granger e para isso será usado um VAR bivariado contendo as séries $\delta_t = d_t - p_t$ e $r_t - \Delta d_t$. O arcabouço teórico, exceto a análise gráfica inicial, segue o modelo de Anchite e Issler (2001) para retornos esperados variantes.

A análise gráfica com o ACF e PACF das séries envolvidas encontra-se no Apêndice II nas figuras 9, 10, 11 e 12. A série do logaritmo dos preços apresenta o mesmo comportamento de uma série não estacionária, já sua primeira diferença apresenta o comportamento de uma série estacionária. A série do logaritmo dos dividendos não parece ser estacionária apresentando autocorrelação com tendência decrescente e sua primeira diferença, por sua vez, parece ser estacionária, variando em torno de zero, mas com valores absolutos maiores que o da série do logaritmo de preços. A série de juros parece ser estacionária, assim como a série da diferença juros e a primeira diferença dos dividendos ($r_t - \Delta d_t$) parece ser estacionária. A diferença entre o logaritmo dos dividendos e o logaritmo dos preços também apresenta um padrão estacionário variando em torno de zero. A Tabela 12, a seguir, traz os resultados para os testes de raiz unitária.

A série de preços p_t pode ser considerada $I(1)$. As séries r_t , $r_t - \Delta d_t$ e $\delta_t = d_t - p_t$ podem ser consideradas estacionárias adotando-se o teste de Phillips-Perron e a análise gráfica das funções de autocorrelação (ACF) e autocorrelação parcial (PACF). A série de dividendos d_t apresenta divergências e será feito novamente o teste bivariado de Johansen envolvendo p_t e d_t verificando se é válida a hipótese de que o vetor (0,1) é o vetor de cointegração entre p_t e d_t . O resultado encontra-se na tabela 13, a seguir, e rejeita que o vetor (0,1) é o vetor de cointegração das séries para qualquer nível de significância. Conclui-se, portanto que p_t e d_t são $I(1)$, condição necessária para a realização da metodologia de Campbell Schiller.

Tabela 14- Teste de Raiz Unitária

Testes sem Tendência (H₀)					
Variável	ADF		DF-GLS		Philips Perron
	<i>Lags</i>	Estatística	<i>Lags</i>	Estatística	
p_t	5	-2,134	11	-1,891	-1,826
d_t	7	-0,8587	7	-0,596	-5,245**
Δp_t	4	-6,301**	10	-3,035**	-11,925**
Δd_t	6	-6,164**	10	-0,096	-24,948**
r_t	10	-1,813	11	-0,439	-10,321**
$r_t - \Delta d_t$	2	-17,24**	10	-0,055	-37,457**
$\delta_t = d_t - p_t$	7	-1,681	7	-1,452	-8,472**
Testes com Tendência (H₀)					
Variável	ADF		DF-GLS		Philips Perron
	<i>Lags</i>	Estatística	<i>Lags</i>	Estatística	
p_t	5	-1,496	11	-2,199	-2,870
d_t	7	-2,912	7	-1,682	-8,658**
Δp_t	4	-6,515**	10	-2,993*	-11,878**
Δd_t	6	-6,128**	10	-1,734	-24,882**
r_t	10	-2,325	11	-0,975	-10,374**
$r_t - \Delta d_t$	2	-17,16**	10	-2,044	-37,256**
$\delta_t = d_t - p_t$	7	-4,835**	7	-3,113*	-9,171**

1)*: rejeita-se a 5% ; **: rejeita-se a 1%

2) Todos os testes incluem intercepto

Tabela 15 - Teste de Johansen – Razão de Verossimilhança

Restrição no subespaço de Cointegração		
Restrição	Chi- Quadrado	P-value
$(1,0) \begin{pmatrix} d_t \\ p_t \end{pmatrix} \sim I(0)$	23.912	0,0000

A seguir será feita a verificação se p_t e d_t cointegram e, caso tal hipótese seja aceita, se o vetor de cointegração é (1,-1). Esta é uma das restrições do modelo de valor presente entre as duas séries. Os resultados da Tabela 14 indicam que não é rejeitada a hipótese que o vetor (1, -1) é o vetor de cointegração das séries. A partir deste resultado serão feitos os testes de cointegração.

Tabela 16 - Teste de Johansen – Razão de Verossimilhança

Restrição no subespaço de Cointegração		
Restrição	Chi- Quadrado	P-value
$(1, -1) \begin{pmatrix} d_t \\ p_t \end{pmatrix} \sim I(0)$	0.37018	0.5429

Tabela 17 - Teste de Johansen de Cointegração entre p_t e d_t

$H_0 : \text{posto}=p$	Estatística do traço	5% Valor crítico
$p = 0$	29.7840	15.41
$p \leq 1$	2.9355*	3.76

O resultado do teste de cointegração que consta na tabela 15 indica que as séries cointegram com apenas um vetor de cointegração, analisando-se pela estatística do traço. Portanto esta característica do Modelo de valor presente é suportada e reforçada pelo resultado anterior que indica (1,-1) como vetor de cointegração.

A seguir serão feitas as análises para a estimação do VAR bivariado em $(\delta_t, r_t - \Delta d_t)'$. A escolha da defasagem ótima resultou em 4 lags como mostra a tabela 16.

Tabela 18 - Escolha da ordem do VAR para δ_t e $r_t - \Delta d_t$

Defasagem	Akaike	Hanna-Quinn	Schwarz
0	16.3819	16.4009	16.4287
1	15.301	15.3579	15.4411
2	15.0641	15.159	15.2977
3	14.5718	14.7046	14.8988
4	14.4247*	14.5954*	14.8451*

Tabela 19 - Teste de Causalidade de Granger

Versão com δ_t e $r_t - \Delta d_t$		
H ₀ :	χ^2	p-value
δ_t não causa granger $r_t - \Delta d_t$	26.955	0.000
$r_t - \Delta d_t$ não causa granger δ_t	9.3495	0.025

Aqui, com lag 4, rejeita-se para o nível de significância de 1% H₀: δ_t não causa granger $r_t - \Delta d_t$ e rejeita-se para o nível de 5% H₀: $r_t - \Delta d_t$ não causa granger δ_t . No entanto esta segunda hipótese não seria rejeitada para o nível de 1%, uma vez que o p-value resultou 2,5%.

Como a teoria sugere causalidade em apenas uma direção, ou seja, δ_t causa granger $r_t - \Delta d_t$, novamente o teste resulta inconclusivo. No entanto, vale ressaltar que este teste é uma implicação mais fraca do modelo.

3.2.3 Teste Alternativo Johansen

Como abordado na seção 2.3 o teste consiste na estimativa de duas regressões e, a partir da utilização de seus resíduos e demais parâmetros calcular a estatística de máxima verossimilhança a partir da qual será feito o teste do modelo de valor presente.

As regressões em questão estão nas equações (15) e (16) e a estatística de razão de verossimilhança é dada pela equação (13). Esta estatística segue uma distribuição Qui-quadrado (χ^2) com 8 graus de liberdade. Esse número de graus de liberdade é calculado por $kpq-s+(m+1)q$, em que k=4 (quatro defasagens no modelo VAR), p=2 (duas variáveis no VAR, preços e dividendos), m=1 (número de séries determinísticas), q=1 (número de

restrições sob a hipótese de expectativas racionais) e $s=2$ (número de parâmetros associados à constante). O fator de desconto δ é desconhecido e será estimado atribuindo valores a partir de 0,95 até 0,99 em intervalos de 0,01. A tabela 18, a seguir, traz os resultados do teste:

Tabela 20– Teste alternativo de Johansen para o MVP

δ – fator de desconto	Estatística calculada (eq. 13)	p-value (χ^2 com 8 gl)
0,95	122,25	0,0000
0,96	127,29	0,0000
0,97	132,14	0,0000
0,98	137,06	0,0000
0,99	144,36	0,0000

Verifica-se que o modelo de valor presente é rejeitado fortemente para todos os fatores de desconto considerados, sendo o máximo estimador obtido para $\delta= 0,99$.

4. CONSIDERAÇÕES FINAIS

O presente trabalho utilizou duas metodologias distintas para verificação da hipótese de expectativas racionais no mercado acionário brasileiro considerando um período de 30 anos. Os modelos consideram os preços das ações e seus respectivos dividendos. As ações consideradas são as que compuseram a carteira teórica do IBOVESPA neste período.

Uma das metodologias corresponde ao modelo de valor presente de Campbell e Shiller (1987), que considera a hipótese de retornos constantes no tempo. As séries de preços e dividendos seguem processos estocásticos, e são estacionárias em primeiras diferenças. Estas séries são combinadas e o resultado desta combinação é estacionário, portanto são cointegradas. Um VAR foi utilizado para construir uma previsão ótima e comparado com o spread atual. Foram feitas comparações gráficas e por meio de correlação. Os resultados foram inconclusivos, sendo que a maior correlação observada foi de 0,76 quando comparado com o spread teórico de Engle-Granger. O teste de causalidade também resultou inconclusivo, uma vez que foi observado granger bi-direcional entre St e ΔDt , e a teoria sugere que ocorra em apenas uma direção.

Também foi utilizado o modelo de Campbell e Shiller (1988a, b) com retornos variantes, considerando esta variabilidade unicamente decorrente da taxa de juros livre de risco, portanto o excesso de retorno esperado também seria constante. Novamente os resultados foram inconclusivos uma vez que o teste de granger entre δ_t e $r_t - \Delta d_t$ resultou em causalidade bi-direcional. Estes resultados, em relação à causalidade de Granger, também foram observados no estudo de Anchite e Issler (2001).

O segundo modelo de teste, alternativo ao teste de Wald utilizado no MVP, foi o proposto por Johansen e Swensen (1998) baseado em expectativas racionais em VARs cointegrados. O estimador de máxima verossimilhança, obtido a partir da comparação de modelos (regressões) com e sem os parâmetros restritivos impostos pela hipótese de expectativas racionais, é comparado com uma distribuição Qui-quadrado. Esta abordagem busca um tratamento estatístico mais robusto para o teste, uma vez que o teste adotado é invariante em reparametrizações.

O resultado da aplicação nos dados deste trabalho indicou fortemente a rejeição da hipótese de expectativas racionais, baseado principalmente no modelo de Johansen e Swensen (1998). Este resultado (rejeição) também foi obtido por Campbell e Shiller (1987 e 1988a, b) com dados da bolsa norte americana para séries mais longas. No entanto, a aplicação do teste de Wald, no trabalho de Anchite e Issler (2001), havia indicado a aceitação da mesma hipótese e este foi o resultado determinante para que os autores concluíssem pela hipótese de mercados eficientes na bolsa brasileira. Esta divergência de conclusões pode ser decorrente de dois fatores principais: i) a diferença nas metodologias aplicadas e; ii) o prazo maior das séries utilizadas neste trabalho.

Desta forma, a continuidade do estudo pode ser feita por meio da aplicação de outras metodologias, incluindo modelos que considerem o choque devido à alteração no pagamento de proventos, especialmente Dividendos e Juros sobre Capital Próprio, observada a partir de 1996 com a alteração na taxação. A sugestão de Johansen e Swensen (2008) é que pode haver ganhos se a implementação do teste for feita a partir de um VAR cointegrado das séries originais. Trabalhos neste sentido com resultados úteis foram feitos por Kurmann (2005), comparando médias de inflação teórica e observada em um modelo de precificação Neo-Keynesiano, seguindo a abordagem de Campbell e Shiller (1987), e também por Carriero *et. al* (2006) comparando o spread entre a taxa de juros de longo e curto prazos.

A principal limitação deste trabalho é, portanto, não ter explorado novas metodologias e não ter considerado no modelo proposto a alteração no pagamento de proventos ocorrida a partir de 1996.

Uma linha de pesquisa interessante, frente à volatilidade da bolsa brasileira comparada à norte americana, seria na linha de Finanças Comportamentais. Neste campo, Boswijk *et al.* (2007) acrescentam um ponto relevante à precificação das ações ao considerar a diferença de comportamentos dos agentes frente à persistência dos desvios dos preços das ações de seus patamares fundamentais. O modelo proposto para capturar estas diferentes percepções baseia-se na existência de dois tipos de comportamentos baseados na análise fundamentalista e grafista.

REFERÊNCIAS BIBLIOGRÁFICAS

ANCHITE, Claudine Furtado; ISSLER, João Victor. Racionalidade e Previsibilidade no Mercado Brasileiro de Ações: Uma Aplicação de Modelos de Valor Presente. **Estudos Econômicos (São Paulo)**, São Paulo, v. 32, n. 2, p. 159-201, 2001.

BORGES, Maria Rosa. Efficient market hypothesis in European stock markets. **The European Journal of Finance**, v. 16, n. 7, p. 711-726, 2010.

BOSWIJK, H. Peter; HOMMES, Cars H.; MANZAN, Sebastiano. Behavioral heterogeneity in stock prices. **Journal of Economic Dynamics and Control**, v. 31, n. 6, p. 1938-1970, 2007.

BRITO, Ricardo D.; LIMA, Mônica R.; SILVA, Júlio C. O crescimento da remuneração direta aos acionistas no Brasil: economia de impostos ou mudança de características das firmas?. **BBR-Brazilian Business Review**, v. 6, n. 1, 2009.

BROCK, W. A., HOMMES, C. H. A rational route to randomness. **Econometrica** 65, p. 1059-1095, 1997.

BROCK, W. A., HOMMES, C. H. Heterogeneous beliefs and routes to chaos in a simple asset pricing model. **Journal of Economic Dynamics and Control** 22, p. 1235- 1274, 1998.

CAMPBELL, John Y.; LO, Andrew Wen-Chuan; MACKINLAY, Archie Craig. **The Econometrics of Financial Markets**. NJ: Princeton University Press, 1997.

CAMPBELL, John Y.; SHILLER, Robert J. Cointegration and tests of present value models. **Journal of Political Economy**, v. 95, n. 5, p. 1062-1088, 1987.

CAMPBELL, John Y.; SHILLER, Robert J. The dividend-price ratio and expectations of future dividends and discount factors. **Review of Financial Studies**, v. 1, n. 3, p. 195-228, 1988a.

CAMPBELL, John Y.; SHILLER, Robert J. Stock prices, earnings, and expected dividends. **The Journal of Finance**, v. 43, n. 3, p. 661-676, 1988b.

CARRIERO, Andrea; FAVERO, Carlo A.; KAMINSKA, Iryna. Financial factors, macroeconomic information and the expectations theory of the term structure of interest rates. **Journal of Econometrics**, v. 131, n. 1, p. 339-358, 2006.

CATI, Regina Celia; GARCIA, Marcio GP; PERRON, Pierre. Unit roots in the presence of abrupt governmental interventions with an application to Brazilian data. **Journal of Applied Econometrics**, p. 27-56, 1999.

CUTHBERTSON, Keith; NITZSCHE, Dirk. **Quantitative Financial Economics: Stocks, Bonds and Foreign Exchange**. John Wiley & Sons, 2005.

DICKEY, David A.; FULLER, Wayne A. Distribution of the estimators for autoregressive time series with a unit root. **Journal of the American Statistical Association**, v. 74, n. 366a, p. 427-431, 1979.

ENDERS, Walter. **Applied Econometric Time Series**. John Wiley & Sons, 2014.

ENGLE, Robert F.; GRANGER, Clive WJ. Co-integration and error correction: representation, estimation, and testing. **Econometrica: Journal of the Econometric Society**, p. 251-276, 1987.

FAMA, Eugene F. Efficient capital markets: II. **The Journal of Finance**, v. 46, n. 5, p. 1575-1617, 1991.

FAMA, Eugene F. Market efficiency, long-term returns, and behavioral finance. **Journal of Financial Economics**, v. 49, n. 3, p. 283-306, 1998.

FAMA, Eugene F.; FRENCH, Kenneth R. Dividend yields and expected stock returns. **Journal of Financial Economics**, v. 22, n. 1, p. 3-25, 1988.

GRANGER, Clive WJ. Investigating causal relations by econometric models and cross-spectral methods. **Econometrica: Journal of the Econometric Society**, p. 424-438, 1969.

GUJARATI, Damodar N.; PORTER, Dawn C. **Econometria Básica-5**. AMGH Editora, 2011.

HAMID, Kashif *et al.* Testing the Weak form of Efficient Market Hypothesis: Empirical Evidence from Asia-Pacific Markets. **International Research Journal of Finance and Economics**, n. 58, p. 121-133, 2010.

JOHANSEN, S. Estimation and hypothesis testing of cointegration vectors in Gaussian vector autoregressive models. **Econometrica: Journal of the Econometric Society**, p. 1551-1580, 1991.

JOHANSEN, S. Statistical analysis of cointegration vectors. **Journal of Economic Dynamics and Control**, v. 12, n. 2-3, p. 231-254, 1988.

JOHANSEN, S., SWENSEN, A.R. On a numerical and graphical technique for evaluating some models involving rational expectations. **Discussion Paper**, University of Copenhagen, 2008.

JOHANSEN, S., SWENSEN, A.R. Testing Rational Expectations in Vector Autoregressive Models. **Journal of Econometrics** 93, p. 73-91, 1999.

LO, Andrew W.; MACKINLAY, A. Craig. Stock market prices do not follow random walks: Evidence from a simple specification test. **The Review of Financial Studies**, v. 1, n. 1, p. 41-66, 1988.

KURMANN, André. Quantifying the uncertainty about the fit of a New Keynesian pricing model. **Journal of Monetary Economics**, v. 52, n. 6, p. 1119-1134, 2005.

MALKIEL, B. A. Efficient market hypothesis (in Newman)[M]. P., M. Milgate, and J. Eatwell (eds.), **New Palgrave Dictionary of Money and Finance**. 1992.

MALKIEL, Burton G.; FAMA, Eugene F. Efficient capital markets: A review of theory and empirical work. **The Journal of Finance**, v. 25, n. 2, p. 383-417, 1970.

MANUAL DE DEFINIÇÕES E PROCEDIMENTOS DOS ÍNDICES DA BM&FBOVESPA: Bolsa de Valores, Mercadorias e Futuros, BOVESPA. Disponível em: <<http://www.bmfbovespa.com.br/lumis/portal/file/fileDownload.jsp?fileId=8A828D295048C0EF01514544116A26AB>> Acesso em 25/06/2016.

METODOLOGIA DO ÍNDICE BOVESPA: Bolsa de Valores, Mercadorias e Futuros, BOVESPA. Disponível em: <<http://www.bmfbovespa.com.br/lumis/portal/file/fileDownload.jsp?fileId=8A828D29514A326701516E695D7F65C0>> Acesso em 25/06/2016.

MUTH, John F. Rational expectations and the theory of price movements. **Econometrica: Journal of the Econometric Society**, p. 315-335, 1961.

PHILLIPS, Peter CB. Time series regression with a unit root. **Econometrica: Journal of the Econometric Society**, p. 277-301, 1987.

PHILLIPS, Peter CB; PERRON, Pierre. Testing for a unit root in time series regression. **Biometrika**, v. 75, n. 2, p. 335-346, 1988.

SHILLER, Robert J. Measuring bubble expectations and investor confidence. **The Journal of Psychology and Financial Markets**, v. 1, n. 1, p. 49-60, 2000.

SITE IPEADATA: www.ipeadata.gov.br

URRUTIA, Jorge L. Tests of random walk and market efficiency for Latin American emerging equity markets. **Journal of Financial Research**, v. 18, n. 3, p. 299-309, 1995.

WEST, Kenneth D. A specification test for speculative bubbles. **The Quarterly Journal of Economics**, v. 102, n. 3, p. 553-580, 1987.

APÊNDICE 1 – Montagem das Séries

O detalhamento da montagem das principais séries utilizadas neste trabalho será feito a seguir e o objetivo desta exposição é permitir a outros pesquisadores a melhor compreensão das análises feitas e a comparabilidade de resultados. Inicialmente será feita uma breve explicação sobre o Índice IBOVESPA e, em seguida, serão detalhadas a construção das séries de Dividendos (D_t) e Preços (P_t).

Segundo o Manual de definições e procedimentos dos índices da BMF&Bovespa (atual B3), o objetivo do Ibovespa é ser o indicador do desempenho médio das cotações dos ativos de maior negociabilidade e representatividade do mercado de ações brasileiro. Em termos de liquidez, as ações integrantes do índice respondem por mais de 80% do volume total de negócios e volume financeiro do mercado a vista (lote padrão) da Bolsa. O Índice procura refletir não apenas as variações nos preços dos ativos integrantes do índice no tempo, mas também o impacto que a distribuição de proventos por parte das companhias emissoras desses ativos teria no retorno do índice. Desta forma, são incorporados na carteira do índice os proventos, que podem ser referentes a:

- Dividendos;
- Juros sobre capital próprio e rendimentos (pelo valor líquido de imposto);
- Direitos de subscrição (preço com direito descontado do preço *ex-teórico*);
- Valor de qualquer ativo recebido que seja diferente dos ativos originalmente possuídos (Bonificação);
- Valor de quaisquer direitos de subscrição de ativos diferentes dos ativos originalmente possuídos (Bônus de Subscrição).

O índice é calculado por meio do somatório dos preços ponderados das ações integrantes de sua carteira teórica, ou seja, a quantidade teórica da ação multiplicada pelo último preço da mesma. Portanto, pode ser apurado a qualquer momento por meio da seguinte fórmula:

$$Ibovespa_t = \sum_{i=1}^n (P_{i,t} * Q_{i,t})$$

Em que:

$Ibovespa_t$ = Índice Bovespa no instante t ;

n = Número total de ações componentes da carteira teórica;

$P_{i,t}$ = Último preço da ação 'i' no instante t ;

$Q_{i,t}$ = quantidade teórica da ação 'i' na carteira no instante t .

A Economática disponibiliza os preços e retornos, com e sem proventos, das ações negociadas na Bolsa Brasileira a partir do início de 1986, motivo pelo qual as séries deste estudo iniciam-se neste ano. A periodicidade utilizada foi a trimestral, abrangendo 124 trimestres no período de 1986 a 2016. A informação trimestral foi consolidada a partir dos 7849 retornos diários disponíveis nestes 30 anos na base de dados.

Para a construção da série de dividendos inicialmente calculou-se o produto dos retornos com proventos das ações da carteira teórica do IBOVESPA pelos seus pesos relativos (ou quantidades relativas) diários. A soma destes produtos deveria coincidir com o retorno do índice no dia em questão. Repetiu-se a operação para os retornos sem proventos e as duas séries de retornos foram subtraídas (com proventos menos sem proventos), obtendo-se o percentual de retorno relacionado apenas ao efeito dos proventos. Esta série, multiplicada pela pontuação observada do IBOVESPA do dia, é a série de dividendos (D_t) utilizada neste estudo.

A série de preços (P_t) foi construída a partir da pontuação do IBOVESPA do primeiro dia do período considerado reajustada pelo retorno sem dividendos da carteira para os demais dias. Foram considerados apenas os preços do último dia do trimestre.

As duas séries foram deflacionadas pelo IGP-DI diário, calculado a partir da taxa equivalente mensal obtida no site do IPEA (Instituto de Pesquisa Econômica Aplicada).

As carteiras teóricas foram obtidas no site da BMF&Bovespa. Foi necessário elaborar uma equivalência entre os códigos originais das ações que constavam nas carteiras obtidas por meio do site da Bovespa e os códigos das ações encontrados na base Economática devido às inúmeras alterações nos códigos das ações decorrentes de alterações de nomes das empresas, vendas, fusões, privatizações e outras operações ocorridas no período. Quando não foi encontrada uma equivalência adequada a ação foi substituída pelo próprio índice (código IBOV). A verificação foi feita comparando-se o retorno ponderado calculado por meio das ações (com os códigos atualizados encontrados) e o retorno observado do índice no dia.

2015 - 1º quadrimestre				2015 - 2º quadrimestre				2015 - 3º quadrimestre			
Código	Nome	Peso (%)	Atual	Código	Nome	Peso (%)	Atual	Código	Nome	Peso (%)	Atual
ABEV3	AMBEV S/A	8.262	ABEV3	ABEV3	AMBEV S/A	7.378	ABEV3	ABEV3	AMBEV S/A	8.995	ABEV3
ALLL3	ALL AMER LAT	0.253	ALLL3	BBAS3	BRASIL	2.381	BBAS3	BBAS3	BRASIL	1.929	BBAS3
BBAS3	BRASIL	2.271	BBAS3	BBDC3	BRADESCO	1.487	BBDC3	BBDC3	BRADESCO	1.507	BBDC3
BBDC3	BRADESCO	1.834	BBDC3	BBDC4	BRADESCO	8.440	BBDC4	BBDC4	BRADESCO	7.317	BBDC4
BBDC4	BRADESCO	8.197	BBDC4	BBSE3	BBSEGURIDADE	2.568	BBSE3	BBSE3	BBSEGURIDADE	2.529	BBSE3
BBSE3	BBSEGURIDADE	2.503	BBSE3	BRAP4	BRADESPAR	0.289	BRAP4	BRAP4	BRADESPAR	0.272	BRAP4
BRAP4	BRADESPAR	0.366	BRAP4	BRFS3	BRF SA	3.873	BRFS3	BRFS3	BRF SA	5.057	BRFS3
BRFS3	BRF SA	4.610	BRFS3	BRKM5	BRASKEM	0.359	BRKM5	BRKM5	BRASKEM	0.486	BRKM5
BRKM5	BRASKEM	0.536	BRKM5	BRML3	BR MALLS PAR	0.790	BRML3	BRML3	BR MALLS PAR	0.672	BRML3
BRML3	BR MALLS PAR	0.870	BRML3	BRPR3	BR PROPERT	0.330	BRPR3	BRPR3	BR PROPERT	0.393	BRPR3
BRPR3	BR PROPERT	0.352	BRPR3	BVMF3	BMFBOVESPA	2.408	BVMF3	BVMF3	BMFBOVESPA	2.530	BVMF3
BVMF3	BMFBOVESPA	2.086	BVMF3	CCRO3	CCR SA	1.543	CCRO3	CCRO3	CCR SA	1.673	CCRO3
CCRO3	CCR SA	1.530	CCRO3	CESP6	CESP	0.372	CESP6	CESP6	CESP	0.382	CESP6
CESP6	CESP	0.562	CESP6	CIEL3	CIELO	3.497	CIEL3	CIEL3	CIELO	3.868	CIEL3
CIEL3	CIELO	3.196	CIEL3	CMIG4	CEMIG	1.154	CMIG4	CMIG4	CEMIG	0.745	CMIG4
CMIG4	CEMIG	1.150	CMIG4	CPFE3	CPFL ENERGIA	0.649	CPFE3	CPFE3	CPFL ENERGIA	0.620	CPFE3
CPFE3	CPFL ENERGIA	0.625	CPFE3	CPL6	COPEL	0.369	CPL6	CPL6	COPEL	0.408	CPL6
CPL6	COPEL	0.417	CPL6	CRUZ3	SOUZA CRUZ	1.122	CRUZ3	CRUZ3	SOUZA CRUZ	1.310	CRUZ3
CRUZ3	SOUZA CRUZ	0.842	CRUZ3	CSAN3	COSAN	0.418	CSAN3	CSAN3	COSAN	0.314	CSAN3
CSAN3	COSAN	0.363	CSAN3	CSNA3	SID NACIONAL	0.611	CSNA3	CSNA3	SID NACIONAL	0.320	CSNA3
CSNA3	SID NACIONAL	0.434	CSNA3	CTIP3	CETIP	0.944	CTIP3	CTIP3	CETIP	1.082	CTIP3
CTIP3	CETIP	0.944	CTIP3	CYRE3	CYRELA REALT	0.317	CYRE3	CYRE3	CYRELA REALT	0.274	CYRE3
CYRE3	CYRELA REALT	0.325	CYRE3	DTEX3	DURATEX	0.239	DTEX3	DTEX3	DURATEX	0.187	DTEX3
DTEX3	DURATEX	0.241	DTEX3	ECOR3	ECORODOVIAS	0.190	ECOR3	ECOR3	ECORODOVIAS	0.181	ECOR3
ECOR3	ECORODOVIAS	0.245	ECOR3	ELET3	ELETROBRAS	0.176	ELET3	ELET3	ELETROBRAS	0.145	ELET3
ELET3	ELETROBRAS	0.149	ELET3	ELET6	ELETROBRAS	0.207	ELET6	ELET6	ELETROBRAS	0.215	ELET6
ELET6	ELETROBRAS	0.207	ELET6	EMBR3	EMBRAER	1.864	EMBR3	EMBR3	EMBRAER	2.205	EMBR3
ELPL4	ELETROPAULO	0.092	ELPL4	ENBR3	ENERGIAS BR	0.287	ENBR3	ENBR3	ENERGIAS BR	0.340	ENBR3
EMBR3	EMBRAER	2.066	EMBR3	ESTC3	ESTACIO PART	0.538	ESTC3	ESTC3	ESTACIO PART	0.446	ESTC3
ENBR3	ENERGIAS BR	0.240	ENBR3	FIBR3	FIBRIA	1.013	FIBR3	FIBR3	FIBRIA	1.486	FIBR3
ESTC3	ESTACIO PART	0.852	ESTC3	GFA3	GAFISA	0.110	GFA3	GFA3	GAFISA	0.108	GFA3
EVEN3	EVEN	0.131	EVEN3	GGBR4	GERDAU	0.950	GGBR4	GGBR4	GERDAU	0.600	GGBR4
FIBR3	FIBRIA	0.833	FIBR3	GOAU4	GERDAU MET	0.285	GOAU4	GOAU4	GERDAU MET	0.105	GOAU4
GFA3	GAFISA	0.100	GFA3	GOLL4	GOL	0.086	GOLL4	GOLL4	GOL	0.057	GOLL4
GGBR4	GERDAU	0.968	GGBR4	HGTX3	CIA HERING	0.241	HGTX3	HGTX3	CIA HERING	0.231	HGTX3
GOAU4	GERDAU MET	0.350	GOAU4	HYPE3	HYPERMARCAS	0.797	HYPE3	HYPE3	HYPERMARCAS	0.798	HYPE3
GOLL4	GOL	0.184	GOLL4	ITSA4	ITAUSA	3.568	ITSA4	ITSA4	ITAUSA	3.248	ITSA4
HGTX3	CIA HERING	0.297	HGTX3	ITUB4	ITAUUNIBANCO	11.142	ITUB4	ITUB4	ITAUUNIBANCO	10.213	ITUB4
HYPE3	HYPERMARCAS	0.714	HYPE3	JBSS3	JBS	2.743	JBSS3	JBSS3	JBS	3.055	JBSS3
ITSA4	ITAUSA	3.374	ITSA4	KLBN11	KLABIN S/A	0.763	KLBN11	KLBN11	KLABIN S/A	1.013	KLBN11
ITUB4	ITAUUNIBANCO	10.690	ITUB4	KROT3	KROTON	1.602	KROT3	KROT3	KROTON	1.529	KROT3
JBSS3	JBS	2.136	JBSS3	LAME4	LOJAS AMERIC	0.775	LAME4	LAME4	LOJAS AMERIC	0.911	LAME4
KLBN11	KLABIN S/A	0.644	KLBN11	LREN3	LOJAS RENNER	1.436	LREN3	LREN3	LOJAS RENNER	1.630	LREN3
KROT3	KROTON	2.888	KROT3	MRFG3	MARFRIG	0.158	MRFG3	MRFG3	MARFRIG	0.289	MRFG3
LAME4	LOJAS AMERIC	0.851	LAME4	MRVE3	MRV	0.231	MRVE3	MRVE3	MRV	0.226	MRVE3
LIGT3	LIGHT S/A	0.191	LIGT3	MULT3	MULTIPLAN	0.431	MULT3	MULT3	MULTIPLAN	0.405	MULT3
LREN3	LOJAS RENNER	1.106	LREN3	NATU3	NATURA	0.524	NATU3	NATU3	NATURA	0.522	NATU3
MRFG3	MARFRIG	0.244	MRFG3	OIBR4	OI	0.197	OIBR4	OIBR4	OI	0.114	OIBR4
MRVE3	MRV	0.242	MRVE3	PCAR4	P.ACUCAR-CBD	1.712	PCAR4	PCAR4	P.ACUCAR-CBD	1.289	PCAR4
NATU3	NATURA	0.620	NATU3	PETR3	PETROBRAS	4.166	PETR3	PETR3	PETROBRAS	3.755	PETR3
OIBR4	OI	0.319	OIBR4	PETRA	PETROBRAS	5.687	PETRA	PETRA	PETROBRAS	4.844	PETRA
PCAR4	P.ACUCAR-CBD	1.763	PCAR4	POMO4	MARCOPOLO	0.161	POMO4	POMO4	MARCOPOLO	0.140	POMO4
PDGR3	PDG REALT	0.128	PDGR3	QUAL3	QUALICORP	0.574	QUAL3	QUAL3	QUALICORP	0.486	QUAL3
PETR3	PETROBRAS	2.995	PETR3	RENT3	LOCALIZA	0.561	RENT3	RENT3	LOCALIZA	0.436	RENT3
PETRA	PETROBRAS	4.666	PETRA	RUM03	RUMO LOG	0.173	RUM03	RUM03	RUMO LOG	0.127	RUM03
POMO4	MARCOPOLO	0.206	POMO4	SANB11	SANTANDER BR	0.702	SANB11	SANB11	SANTANDER BR	0.753	SANB11
QUAL3	QUALICORP	0.692	QUAL3	SBSP3	SABESP	0.653	SBSP3	SBSP3	SABESP	0.698	SBSP3
RENT3	LOCALIZA	0.613	RENT3	SMLE3	SMILES	0.308	SMLE3	SMLE3	SMILES	0.350	SMLE3
RLOG3	COSAN LOG	0.036	RLOG3	SUZB5	SUZANO PAPEL	0.744	SUZB5	SUZB5	SUZANO PAPEL	1.058	SUZB5
RSID3	ROSSI RESID	0.028	RSID3	TBLE3	TRACTEBEL	0.785	TBLE3	TBLE3	TRACTEBEL	0.893	TBLE3
SANB11	SANTANDER BR	0.622	SANB11	TIMP3	TIM PART S/A	0.841	TIMP3	TIMP3	TIM PART S/A	0.928	TIMP3
SBSP3	SABESP	0.667	SBSP3	UGPA3	ULTRAPAR	2.559	UGPA3	UGPA3	ULTRAPAR	2.833	UGPA3
SUZB5	SUZANO PAPEL	0.595	SUZB5	USIM5	USIMINAS	0.310	USIM5	USIM5	USIMINAS	0.187	USIM5
TBLE3	TRACTEBEL	0.795	TBLE3	VALE3	VALE	3.087	VALE3	VALE3	VALE	2.954	VALE3
TIMP3	TIM PART S/A	1.093	TIMP3	VALE5	VALE	3.681	VALE5	VALE5	VALE	3.471	VALE5
UGPA3	ULTRAPAR	2.523	UGPA3	VIVT4	TELEF BRASIL	1.410	VIVT4	VIVT4	TELEF BRASIL	1.825	VIVT4

Continuação

2015 - 1º quadrimestre				2015 - 2º quadrimestre				2015 - 3º quadrimestre			
Código	Nome	Peso (%)	Atual	Código	Nome	Peso (%)	Atual	Código	Nome	Peso (%)	Atual
USIM5	USIMINAS	0.280	USIM5								
VALE3	VALE	3.191	VALE3								
VALE5	VALE	4.167	VALE5								
VIVT4	TELEF BRASIL	1.400	VIVT4								

2014 - 1º quadrimestre				2014 - 2º quadrimestre				2014 - 3º quadrimestre			
Código	Nome	Peso (%)	Atual	Código	Nome	Peso (%)	Atual	Código	Nome	Peso (%)	Atual
ABEV3	AMBEV S/A	1.732	ABEV3	ABEV3	AMBEV S/A	3.741	ABEV3	ABEV3	AMBEV S/A	6.639	ABEV3
AEDU3	ANHANGUERA	0.735	AEDU3	AEDU3	ANHANGUERA	0.762	AEDU3	ALLL3	ALL AMER LAT	0.331	ALLL3
ALLL3	ALL AMER LAT	0.538	ALLL3	ALLL3	ALL AMER LAT	0.711	ALLL3	BBAS3	BRASIL	2.675	BBAS3
BBAS3	BRASIL	2.999	BBAS3	BBAS3	BRASIL	2.675	BBAS3	BBDC3	BRADESCO	1.712	BBDC3
BBDC3	BRADESCO	0.851	BBDC3	BBDC3	BRADESCO	1.593	BBDC3	BBDC4	BRADESCO	7.639	BBDC4
BBDC4	BRADESCO	3.891	BBDC4	BBDC4	BRADESCO	6.299	BBDC4	BBSE3	BBSEGURIDADE	2.226	BBSE3
BISA3	BROOKFIELD	0.417	BISA3	BBSE3	BBSEGURIDADE	1.766	BBSE3	BRAP4	BRADESPAR	0.419	BRAP4
BRAP4	BRADESPAR	0.790	BRAP4	BISA3	BROOKFIELD	0.311	BISA3	BRFS3	BRF SA	3.509	BRFS3
BRFS3	BRF SA	1.240	BRFS3	BRAP4	BRADESPAR	0.564	BRAP4	BRKM5	BRASKEM	0.374	BRKM5
BRKM5	BRASKEM	0.895	BRKM5	BRFS3	BRF SA	2.716	BRFS3	BRML3	BR MALLS PAR	0.986	BRML3
BRML3	BR MALLS PAR	1.405	BRML3	BRKM5	BRASKEM	0.504	BRKM5	BRPR3	BR PROPERT	0.410	BRPR3
BRPR3	BR PROPERT	0.810	BRPR3	BRML3	BR MALLS PAR	1.260	BRML3	BVMF3	BMFBOVESPA	2.288	BVMF3
BTOW3	B2W DIGITAL	0.383	BTOW3	BRPR3	BR PROPERT	0.737	BRPR3	CCRO3	CCR SA	1.610	CCRO3
BVMF3	BMFBOVESPA	2.757	BVMF3	BVMF3	BMFBOVESPA	2.664	BVMF3	CESP6	CESP	0.531	CESP6
CCRO3	CCR SA	1.662	CCRO3	CCRO3	CCR SA	1.688	CCRO3	CIEL3	CIELO	2.575	CIEL3
CESP6	CESP	0.529	CESP6	CESP6	CESP	0.516	CESP6	CMIG4	CEMIG	1.341	CMIG4
CIEL3	CIELO	1.820	CIEL3	CIEL3	CIELO	2.533	CIEL3	CPFE3	CPFL ENERGIA	0.611	CPFE3
CMIG4	CEMIG	1.707	CMIG4	CMIG4	CEMIG	1.471	CMIG4	CPL6	COPEL	0.369	CPL6
CPFE3	CPFL ENERGIA	0.481	CPFE3	CPFE3	CPFL ENERGIA	0.571	CPFE3	CRUZ3	SOUZA CRUZ	0.731	CRUZ3
CPL6	COPEL	0.445	CPL6	CPL6	COPEL	0.390	CPL6	CSAN3	COSAN	0.468	CSAN3
CRUZ3	SOUZA CRUZ	0.652	CRUZ3	CRUZ3	SOUZA CRUZ	0.752	CRUZ3	CSNA3	SID NACIONAL	0.636	CSNA3
CSAN3	COSAN	0.733	CSAN3	CSAN3	COSAN	0.674	CSAN3	CTIP3	CETIP	0.765	CTIP3
CSNA3	SID NACIONAL	2.797	CSNA3	CSNA3	SID NACIONAL	0.829	CSNA3	CYRE3	CYRELA REALT	0.334	CYRE3
CTIP3	CETIP	0.882	CTIP3	CTIP3	CETIP	0.890	CTIP3	DTEX3	DURATEX	0.242	DTEX3
CYRE3	CYRELA REALT	1.120	CYRE3	CYRE3	CYRELA REALT	0.680	CYRE3	ECOR3	ECORODOVIAS	0.263	ECOR3
DASA3	DASA	0.832	DASA3	DASA3	DASA	0.161	DASA3	ELET3	ELETROBRAS	0.168	ELET3
DTEX3	DURATEX	0.664	DTEX3	DTEX3	DURATEX	0.366	DTEX3	ELET6	ELETROBRAS	0.250	ELET6
ELET3	ELETROBRAS	0.707	ELET3	ECOR3	ECORODOVIAS	0.389	ECOR3	ELPL4	ELETROPAULO	0.088	ELPL4
ELET6	ELETROBRAS	0.752	ELET6	ELET3	ELETROBRAS	0.373	ELET3	EMBR3	EMBRAER	1.475	EMBR3
ELPL4	ELETROPAULO	0.754	ELPL4	ELET6	ELETROBRAS	0.441	ELET6	ENBR3	ENERGIAS BR	0.242	ENBR3
EMBR3	EMBRAER	0.786	EMBR3	ELPL4	ELETROPAULO	0.314	ELPL4	ESTC3	ESTACIO PART	0.851	ESTC3
ENBR3	ENERGIAS BR	0.715	ENBR3	EMBR3	EMBRAER	1.290	EMBR3	EVEN3	EVEN	0.131	EVEN3
FIBR3	FIBRIA	0.850	FIBR3	ENBR3	ENERGIAS BR	0.378	ENBR3	FIBR3	FIBRIA	0.477	FIBR3
GFA3	33GAFISA	1.767	GFA3	ESTC3	ESTACIO PART	0.867	ESTC3	GFA3	GAFISA	0.123	GFA3
GGBR4	GERDAU	2.510	GGBR4	EVEN3	EVEN	0.313	EVEN3	GGBR4	GERDAU	1.047	GGBR4
GOAU4	GERDAU MET	0.631	GOAU4	FIBR3	FIBRIA	0.629	FIBR3	GOAU4	GERDAU MET	0.393	GOAU4
GOLL4	GOL	0.837	GOLL4	GFA3	GAFISA	0.633	GFA3	GOLL4	GOL	0.135	GOLL4
HGTX3	CIA HERING	0.932	HGTX3	GGBR4	GERDAU	1.551	GGBR4	HGTX3	CIA HERING	0.329	HGTX3
HYPE3	HYPERMARCAS	1.374	HYPE3	GOAU4	GERDAU MET	0.449	GOAU4	HYPE3	HYPERMARCAS	0.668	HYPE3
ITSA4	ITAUSA	2.883	ITSA4	GOLL4	GOL	0.487	GOLL4	ITSA4	ITAUSA	3.128	ITSA4
ITUB4	ITAUNIBANCO	4.906	ITUB4	HGTX3	CIA HERING	0.561	HGTX3	ITUB4	ITAUNIBANCO	9.978	ITUB4
JBSS3	JBS	1.113	JBSS3	HYPE3	HYPERMARCAS	0.869	HYPE3	JBSS3	JBS	1.544	JBSS3
KLBN4	KLABIN S/A	0.872	KLBN4	ITSA4	ITAUSA	3.124	ITSA4	KLBN11	KLABIN S/A	0.401	KLBN11
KROT3	KROTON	0.860	KROT3	ITUB4	ITAUNIBANCO	7.808	ITUB4	KROT3	KROTON	2.499	KROT3
LAME4	LOJAS AMERIC	0.864	LAME4	JBSS3	JBS	1.146	JBSS3	LAME4	LOJAS AMERIC	0.625	LAME4
LIGT3	LIGHT S/A	0.505	LIGT3	KLBN11	KLABIN S/A	0.679	KLBN11	LIGT3	LIGHT S/A	0.221	LIGT3
LLXL3	LLX LOG	0.471	PRML3	KROT3	KROTON	1.235	KROT3	LREN3	LOJAS RENNER	0.887	LREN3
LREN3	LOJAS RENNER	0.946	LREN3	LAME4	LOJAS AMERIC	0.725	LAME4	MRFG3	MARFRIG	0.243	MRFG3
MMXM3	MMX MINER	0.257	MMXM3	LIGT3	LIGHT S/A	0.255	LIGT3	MRVE3	MRV	0.235	MRVE3
MRFG3	MARFRIG	0.470	MRFG3	LREN3	LOJAS RENNER	1.016	LREN3	NATU3	NATURA	0.638	NATU3
MRVE3	MRV	1.318	MRVE3	MRFG3	MARFRIG	0.378	MRFG3	OIBR4	OI	0.431	OIBR4
NATU3	NATURA	0.993	NATU3	MRVE3	MRV	0.577	MRVE3	PCAR4	P.ACUCAR-CBD	1.629	PCAR4

Continuação

2014 - 1º quadrimestre				2014 - 2º quadrimestre				2014 - 3º quadrimestre			
Código	Nome	Peso (%)	Atual	Código	Nome	Peso (%)	Atual	Código	Nome	Peso (%)	Atual
OIBR3	OI	0.993	OIBR3	NATU3	NATURA	0.894	NATU3	PDGR3	PDG REALT	0.178	PDGR3
OIBR4	OI	1.375	OIBR4	OIBR4	OI	0.433	OIBR4	PETR3	PETROBRAS	5.534	PETR3
PCAR4	P.ACUCAR-CBD	0.877	PCAR4	PCAR4	P.ACUCAR-CBD	1.427	PCAR4	PETR4	PETROBRAS	8.700	PETR4
PDGR3	PDG REALT	1.690	PDGR3	PDGR3	PDG REALT	0.778	PDGR3	POMO4	MARCOPOLO	0.216	POMO4
PETR3	PETROBRAS	2.727	PETR3	PETR3	PETROBRAS	4.098	PETR3	QUAL3	QUALICORP	0.558	QUAL3
PETR4	PETROBRAS	7.649	PETR4	PETR4	PETROBRAS	8.322	PETR4	RENT3	LOCALIZA	0.548	RENT3
RENT3	LOCALIZA	0.715	RENT3	PRML3	PRUMO	0.235	PRML3	RSID3	ROSSI RESID	0.047	RSID3
RSID3	ROSSI RESID	0.652	RSID3	QUAL3	QUALICORP	0.492	QUAL3	SANB11	SANTANDER BR	1.317	SANB11
SANB11	SANTANDER BR	1.079	SANB11	RENT3	LOCALIZA	0.631	RENT3	SBSP3	SABESP	0.671	SBSP3
SBSP3	SABESP	1.055	SBSP3	RSID3	ROSSI RESID	0.314	RSID3	SUZB5	SUZANO PAPEL	0.377	SUZB5
SUZB5	SUZANO PAPEL	0.935	SUZB5	SANB11	SANTANDER BR	1.378	SANB11	TBLE3	TRACTEBEL	0.705	TBLE5
TIMP3	TIM PART S/A	1.421	TIMP3	SBSP3	SABESP	0.767	SBSP3	TIMP3	TIM PART S/A	0.932	TIMP3
TRPL4	TRAN PAULIST	0.191	TRPL4	SUZB5	SUZANO PAPEL	0.554	SUZB5	UGPA3	ULTRAPAR	2.264	UGPA3
UGPA3	ULTRAPAR	0.819	UGPA3	TBLE3	TRACTEBEL	0.604	TBLE5	USIM5	USIMINAS	0.358	USIM5
USIM3	USIMINAS	0.235	USIM3	TIMP3	TIM PART S/A	1.078	TIMP3	VALE3	VALE	3.393	VALE3
USIM5	USIMINAS	2.779	USIM5	UGPA3	ULTRAPAR	1.429	UGPA3	VALE5	VALE	4.502	VALE5
VAGR3	V-AGRO	0.198	IBOV	USIM5	USIMINAS	0.813	USIM5	VIVT4	TELEF BRASIL	1.148	VIVT4
VALE3	VALE	2.662	VALE3	VALE3	VALE	3.342	VALE3				
VALE5	VALE	8.870	VALE5	VALE5	VALE	6.829	VALE5				
VIVT4	TELEF BRASIL	0.877	VIVT4	VIVT4	TELEF BRASIL	1.234	VIVT4				

2013 - 1º quadrimestre				2013 - 2º quadrimestre				2013 - 3º quadrimestre			
Código	Nome	Peso (%)	Atual	Código	Nome	Peso (%)	Atual	Código	Nome	Peso (%)	Atual
ALLL3	ALL AMER LAT	0.702	ALLL3	ALLL3	ALL AMER LAT	0.953	ALLL3	AEDU3	ANHANGUERA	0.692	AEDU3
AMBV4	AMBEV	1.683	AMBV4	AMBV4	AMBEV	1.711	AMBV4	ALLL3	ALL AMER LAT	0.766	ALLL3
BBAS3	BRASIL	3.303	BBAS3	BBAS3	BRASIL	3.233	BBAS3	AMBV4	AMBEV	1.672	AMBV4
BBDC4	BRADESCO	3.394	BBDC4	BBDC4	BRADESCO	3.627	BBDC4	BBAS3	BRASIL	2.787	BBAS3
BISA3	BROOKFIELD	0.662	BISA3	BISA3	BROOKFIELD	0.506	BISA3	BBDC3	BRADESCO	0.841	BBDC3
BRAP4	BRADESPAR	0.865	BRAP4	BRAP4	BRADESPAR	0.640	BRAP4	BBDC4	BRADESCO	3.697	BBDC4
BRFS3	BRF FOODS	1.678	BRFS3	BRFS3	BRF FOODS	1.768	BRFS3	BISA3	BROOKFIELD	0.624	BISA3
BRKM5	BRASKEM	0.643	BRKM5	BRKM5	BRASKEM	0.971	BRKM5	BRAP4	BRADESPAR	0.766	BRAP4
BRML3	BR MALLS PAR	1.105	BRML3	BRML3	BR MALLS PAR	1.154	BRML3	BRFS3	BRF SA	1.407	BRFS3
BTOW3	B2W VAREJO	0.684	BTOW3	BTOW3	B2W VAREJO	0.295	BTOW3	BRKM5	BRASKEM	0.758	BRKM5
BVMF3	BMFBOVESPA	3.740	BVMF3	BVMF3	BMFBOVESPA	3.440	BVMF3	BRML3	BR MALLS PAR	1.510	BRML3
CCRO3	CCR SA	1.372	CCRO3	CCRO3	CCR SA	1.688	CCRO3	BRPR3	BR PROPERT	0.800	BRPR3
CESP6	CESP	0.274	CESP6	CESP6	CESP	0.673	CESP6	BTOW3	B2W DIGITAL	0.346	BTOW3
CIEL3	CIELO	1.335	CIEL3	CIEL3	CIELO	2.007	CIEL3	BVMF3	BMFBOVESPA	2.921	BVMF3
CMIG4	CEMIG	0.796	CMIG4	CMIG4	CEMIG	1.872	CMIG4	CCRO3	CCR SA	1.581	CCRO3
CPFE3	CPFL ENERGIA	0.424	CPFE3	CPFE3	CPFL ENERGIA	0.536	CPFE3	CESP6	CESP	0.507	CESP6
CPL6	COPEL	0.417	CPL6	CPL6	COPEL	0.628	CPL6	CIEL3	CIELO	1.608	CIEL3
CRUZ3	SOUZA CRUZ	0.786	CRUZ3	CRUZ3	SOUZA CRUZ	0.830	CRUZ3	CMIG4	CEMIG	1.703	CMIG4
CSAN3	COSAN	0.851	CSAN3	CSAN3	COSAN	0.954	CSAN3	CPFE3	CPFL ENERGIA	0.497	CPFE3
CSNA3	SID NACIONAL	1.664	CSNA3	CSNA3	SID NACIONAL	1.168	CSNA3	CPL6	COPEL	0.405	CPL6
CTIP3	CETIP	0.622	CTIP3	CTIP3	CETIP	0.845	CTIP3	CRUZ3	SOUZA CRUZ	0.671	CRUZ3
CYRE3	CYRELA REALT	1.611	CYRE3	CYRE3	CYRELA REALT	1.631	CYRE3	CSAN3	COSAN	0.779	CSAN3
DASA3	DASA	0.694	DASA3	DASA3	DASA	0.636	DASA3	CSNA3	SID NACIONAL	1.612	CSNA3
DTEX3	DURATEX	0.566	DTEX3	DTEX3	DURATEX	0.660	DTEX3	CTIP3	CETIP	0.858	CTIP3
ELET3	ELETROBRAS	0.216	ELET3	ELET3	ELETROBRAS	0.501	ELET3	CYRE3	CYRELA REALT	1.237	CYRE3
ELET6	ELETROBRAS	0.248	ELET6	ELET6	ELETROBRAS	0.603	ELET6	DASA3	DASA	0.642	DASA3
ELPL4	ELETROPAULO	0.586	ELPL4	ELPL4	ELETROPAULO	0.391	ELPL4	DTEX3	DURATEX	0.612	DTEX3
EMBR3	EMBRAER	0.602	EMBR3	EMBR3	EMBRAER	0.913	EMBR3	ELET3	ELETROBRAS	0.603	ELET3
FIBR3	FIBRIA	1.006	FIBR3	ENBR3	ENERGIAS BR	0.767	ENBR3	ELET6	ELETROBRAS	0.703	ELET6
GFA3	GAFISA	1.805	GFA3	FIBR3	FIBRIA	0.752	FIBR3	ELPL4	ELETROPAULO	0.594	ELPL4
GGBR4	GERDAU	2.461	GGBR4	GFA3	GAFISA	1.406	GFA3	EMBR3	EMBRAER	0.819	EMBR3
GOAU4	GERDAU MET	0.651	GOAU4	GGBR4	GERDAU	2.335	GGBR4	ENBR3	ENERGIAS BR	0.679	ENBR3
GOLL4	GOL	0.927	GOLL4	GOAU4	GERDAU MET	0.591	GOAU4	FIBR3	FIBRIA	0.859	FIBR3
HGTX3	CIA HERING	0.964	HGTX3	GOLL4	GOL	0.747	GOLL4	GFA3	GAFISA	1.302	GFA3
HYPE3	HYPERMARCAS	1.926	HYPE3	HGTX3	CIA HERING	1.105	HGTX3	GGBR4	GERDAU	2.360	GGBR4

Continuação

2013 - 1º quadrimestre				2013 - 2º quadrimestre				2013 - 3º quadrimestre			
Código	Nome	Peso (%)	Atual	Código	Nome	Peso (%)	Atual	Código	Nome	Peso (%)	Atual
ITSA4	ITAUSA	2.390	ITSA4	HYPE3	HYPERMARCAS	1.538	HYPE3	GOAU4	GERDAU MET	0.574	GOAU4
ITUB4	ITAUNIBANCO	4.523	ITUB4	ITSA4	ITAUSA	2.700	ITSA4	GOLL4	GOL	0.684	GOLL4
JBSS3	JBS	0.789	JBSS3	ITUB4	ITAUNIBANCO	4.774	ITUB4	HGTX3	CIA HERING	0.994	HGTX3
KLBN4	KLABIN S/A	0.883	KLBN4	JBSS3	JBS	0.922	JBSS3	HYPE3	HYPERMARCAS	1.280	HYPE3
LAME4	LOJAS AMERIC	1.105	LAME4	KLBN4	KLABIN S/A	0.884	KLBN4	ITSA4	ITAUSA	2.705	ITSA4
LIGT3	LIGHT S/A	0.439	LIGT3	LAME4	LOJAS AMERIC	0.938	LAME4	ITUB4	ITAUNIBANCO	4.556	ITUB4
LLXL3	LLX LOG	0.404	PRML3	LIGT3	LIGHT S/A	0.472	LIGT3	JBSS3	JBS	0.946	JBSS3
LREN3	LOJAS RENNER	1.129	LREN3	LLXL3	LLX LOG	0.527	PRML3	KLBN4	KLABIN S/A	0.835	KLBN4
MMXM3	MMX MINER	0.945	MMXM3	LREN3	LOJAS RENNER	1.035	LREN3	KROT3	KROTON	0.707	KROT3
MRFG3	MARFRIG	0.553	MRFG3	MMXM3	MMX MINER	0.705	MMXM3	LAME4	LOJAS AMERIC	0.840	LAME4
MRVE3	MRV	1.721	MRVE3	MRFG3	MARFRIG	0.568	MRFG3	LIGT3	LIGHT S/A	0.406	LIGT3
NATU3	NATURA	1.065	NATU3	MRVE3	MRV	1.427	MRVE3	LLXL3	LLX LOG	0.530	PRML3
OGXP3	OGX PETROLEO	3.406	OGXP3	NATU3	NATURA	0.980	NATU3	LREN3	LOJAS RENNER	0.897	LREN3
OIBR3	OI	0.252	OIBR3	OGXP3	OGX PETROLEO	2.189	OGXP3	MMXM3	MMX MINER	0.807	MMXM3
OIBR4	OI	1.273	OIBR4	OIBR3	OI	0.215	OIBR3	MRFG3	MARFRIG	0.728	MRFG3
PCAR4	P.ACUCAR-CBD	0.624	PCAR4	OIBR4	OI	0.948	OIBR4	MRVE3	MRV	1.318	MRVE3
PDGR3	PDG REALT	2.902	PDGR3	PCAR4	P.ACUCAR-CBD	0.853	PCAR4	NATU3	NATURA	1.088	NATU3
PETR3	PETROBRAS	2.172	PETR3	PDGR3	PDG REALT	2.444	PDGR3	OGXP3	OGX PETROLEO	4.258	OGXP3
PETR4	PETROBRAS	7.338	PETR4	PETR3	PETROBRAS	2.694	PETR3	OIBR3	OI	0.318	OIBR3
RENT3	LOCALIZA	0.724	RENT3	PETR4	PETROBRAS	9.586	PETR4	OIBR4	OI	1.281	OIBR4
RSID3	ROSSI RESID	0.896	RSID3	RENT3	LOCALIZA	0.717	RENT3	PCAR4	P.ACUCAR-CBD	0.826	PCAR4
SANB11	SANTANDER BR	0.992	SANB11	RSID3	ROSSI RESID	0.914	RSID3	PDGR3	PDG REALT	2.174	PDGR3
SBSP3	SABESP	0.334	SBSP3	SANB11	SANTANDER BR	1.148	SANB11	PETR3	PETROBRAS	2.757	PETR3
SUZB5	SUZANO PAPEL	1.003	SUZB5	SBSP3	SABESP	0.556	SBSP3	PETR4	PETROBRAS	7.617	PETR4
TIMP3	TIM PART S/A	1.151	TIMP3	SUZB5	SUZANO PAPEL	0.938	SUZB5	RENT3	LOCALIZA	0.654	RENT3
TRPL4	TRAN PAULIST	0.135	TRPL4	TIMP3	TIM PART S/A	1.433	TIMP3	RSID3	ROSSI RESID	0.890	RSID3
UGPA3	ULTRAPAR	0.602	UGPA3	TRPL4	TRAN PAULIST	0.283	TRPL4	SANB11	SANTANDER BR	1.058	SANB11
USIM3	USIMINAS	0.419	USIM3	UGPA3	ULTRAPAR	0.838	UGPA3	SBSP3	SABESP	0.791	SBSP3
USIM5	USIMINAS	2.648	USIM5	USIM3	USIMINAS	0.231	USIM3	SUZB5	SUZANO PAPEL	0.963	SUZB5
VAGR3	V-AGRO	0.347	IBOV	USIM5	USIMINAS	1.744	USIM5	TIMP3	TIM PART S/A	1.094	TIMP3
VALE3	VALE	3.544	VALE3	VAGR3	V-AGRO	0.272	IBOV	TRPL4	TRAN PAULIST	0.232	TRPL4
VALE5	VALE	11.025	VALE5	VALE3	VALE	2.652	VALE3	UGPA3	ULTRAPAR	0.769	UGPA3
VIVT4	TELEF BRASIL	0.971	VIVT4	VALE5	VALE	8.141	VALE5	USIM3	USIMINAS	0.195	USIM3
				VIVT4	TELEF BRASIL	1.158	VIVT4	USIM5	USIMINAS	2.041	USIM5
								VAGR3	V-AGRO	0.222	IBOV
								VALE3	VALE	2.529	VALE3
								VALE5	VALE	8.287	VALE5
								VIVT4	TELEF BRASIL	0.891	VIVT4

2012 - 1º quadrimestre				2012 - 2º quadrimestre				2012 - 3º quadrimestre			
Código	Nome	Peso (%)	Atual	Código	Nome	Peso (%)	Atual	Código	Nome	Peso (%)	Atual
ALLL3	ALL AMER LAT	0.857	ALLL3	ALLL3	ALL AMER LAT	0.742	ALLL3	ALLL3	ALL AMER LAT	0.795	ALLL3
AMBV4	AMBEV	1.454	AMBV4	AMBV4	AMBEV	1.613	AMBV4	AMBV4	AMBEV	1.562	AMBV4
BBAS3	BRASIL	3.169	BBAS3	BBAS3	BRASIL	2.943	BBAS3	BBAS3	BRASIL	3.060	BBAS3
BBDC4	BRADESCO	3.364	BBDC4	BBDC4	BRADESCO	3.086	BBDC4	BBDC4	BRADESCO	3.296	BBDC4
BISA3	BROOKFIELD	0.742	BISA3	BISA3	BROOKFIELD	0.717	BISA3	BISA3	BROOKFIELD	0.773	BISA3
BRAP4	BRADESPAR	0.816	BRAP4	BRAP4	BRADESPAR	0.854	BRAP4	BRAP4	BRADESPAR	0.720	BRAP4
BRFS3	BRF FOODS	1.369	BRFS3	BRFS3	BRF FOODS	1.203	BRFS3	BRFS3	BRF FOODS	1.367	BRFS3
BRKM5	BRASKEM	0.749	BRKM5	BRKM5	BRASKEM	0.752	BRKM5	BRKM5	BRASKEM	0.677	BRKM5
BRML3	BR MALLS PAR	0.932	BRML3	BRML3	BR MALLS PAR	1.125	BRML3	BRML3	BR MALLS PAR	1.090	BRML3
BRTOW3	BRASIL TELECOM	0.358	OIBR4	BTOW3	B2W VAREJO	0.340	BTOW3	BTOW3	B2W VAREJO	0.338	BTOW3
BTOW3	B2W VAREJO	0.410	BTOW3	BVMF3	BMFBOVESPA	3.250	BVMF3	BVMF3	BMFBOVESPA	2.999	BVMF3
BVMF3	BMFBOVESPA	3.203	BVMF3	CCRO3	CCR SA	0.956	CCRO3	CCRO3	CCR SA	1.316	CCRO3
CCRO3	CCR SA	0.856	CCRO3	CESP6	CESP	0.560	CESP6	CESP6	CESP	0.469	CESP6
CESP6	CESP	0.537	CESP6	CIEL3	CIELO	1.724	CIEL3	CIEL3	CIELO	1.453	CIEL3
CIEL3	CIELO	1.292	CIEL3	CMIG4	CEMIG	1.391	CMIG4	CMIG4	CEMIG	1.103	CMIG4
CMIG4	CEMIG	1.025	CMIG4	CPFE3	CPFL ENERGIA	0.385	CPFE3	CPFE3	CPFL ENERGIA	0.449	CPFE3
CPFE3	CPFL ENERGIA	0.398	CPFE3	CPL6	COPEL	0.674	CPL6	CPL6	COPEL	0.505	CPL6

Continuação

2012 - 1º quadrimestre				2012 - 2º quadrimestre				2012 - 3º quadrimestre			
Código	Nome	Peso (%)	Atual	Código	Nome	Peso (%)	Atual	Código	Nome	Peso (%)	Atual
CPLE6	COPEL	0.582	CPLE6	CRUZ3	SOUZA CRUZ	0.672	CRUZ3	CRUZ3	SOUZA CRUZ	0.731	CRUZ3
CRUZ3	SOUZA CRUZ	0.554	CRUZ3	CSAN3	COSAN	0.826	CSAN3	CSAN3	COSAN	0.726	CSAN3
CSAN3	COSAN	0.734	CSAN3	CSNA3	SID NACIONAL	1.631	CSNA3	CSNA3	SID NACIONAL	1.453	CSNA3
CSNA3	SID NACIONAL	1.549	CSNA3	CYRE3	CYRELA REALT	1.861	CYRE3	CTIP3	CETIP	0.670	CTIP3
CYRE3	CYRELA REALT	1.918	CYRE3	DASA3	DASA	0.481	DASA3	CYRE3	CYRELA REALT	1.567	CYRE3
DASA3	DASA	0.589	DASA3	DTEX3	DURATEX	0.576	DTEX3	DASA3	DASA	0.711	DASA3
DTEX3	DURATEX	0.496	DTEX3	ELET3	ELETROBRAS	0.497	ELET3	DTEX3	DURATEX	0.485	DTEX3
ELET3	ELETROBRAS	0.592	ELET3	ELET6	ELETROBRAS	0.417	ELET6	ELET3	ELETROBRAS	0.469	ELET3
ELET6	ELETROBRAS	0.532	ELET6	ELPL4	ELETROPAULO	0.565	ELPL4	ELET6	ELETROBRAS	0.464	ELET6
ELPL4	ELETROPAULO	0.691	ELPL4	EMBR3	EMBRAER	0.716	EMBR3	ELPL4	ELETROPAULO	0.667	ELPL4
EMBR3	EMBRAER	0.558	EMBR3	FIBR3	FIBRIA	0.848	FIBR3	EMBR3	EMBRAER	0.610	EMBR3
FIBR3	FIBRIA	0.835	FIBR3	GFGSA3	GAFISA	1.371	GFGSA3	FIBR3	FIBRIA	0.742	FIBR3
GFGSA3	GAFISA	1.738	GFGSA3	GGBR4	GERDAU	3.328	GGBR4	GFGSA3	GAFISA	1.635	GFGSA3
GGBR4	GERDAU	2.920	GGBR4	GOAU4	GERDAU MET	0.994	GOAU4	GGBR4	GERDAU	2.587	GGBR4
GOAU4	GERDAU MET	0.829	GOAU4	GOLL4	GOL	0.615	GOLL4	GOAU4	GERDAU MET	0.663	GOAU4
GOLL4	GOL	0.822	GOLL4	HGTX3	CIA HERING	0.980	HGTX3	GOLL4	GOL	0.734	GOLL4
HGTX3	CIA HERING	0.733	HGTX3	HYPE3	HYPERMARCAS	2.135	HYPE3	HGTX3	CIA HERING	1.056	HGTX3
HYPE3	HYPERMARCAS	1.616	HYPE3	ITSA4	ITAUSA	1.927	ITSA4	HYPE3	HYPERMARCAS	1.591	HYPE3
ITSA4	ITAUSA	2.343	ITSA4	ITUB4	ITAUUNIBANCO	3.852	ITUB4	ITSA4	ITAUSA	2.372	ITSA4
ITUB4	ITAUUNIBANCO	4.693	ITUB4	JBSS3	JBS	0.852	JBSS3	ITUB4	ITAUUNIBANCO	4.475	ITUB4
JBSS3	JBS	0.752	JBSS3	KLBN4	KLABIN S/A	0.568	KLBN4	JBSS3	JBS	0.799	JBSS3
KLBN4	KLABIN S/A	0.535	KLBN4	LAME4	LOJAS AMERIC	1.193	LAME4	KLBN4	KLABIN S/A	0.657	KLBN4
LAME4	LOJAS AMERIC	1.032	LAME4	LIGT3	LIGHT S/A	0.465	LIGT3	LAME4	LOJAS AMERIC	0.926	LAME4
LIGT3	LIGHT S/A	0.567	LIGT3	LLXL3	LLX LOG	0.374	PRML3	LIGT3	LIGHT S/A	0.483	LIGT3
LLXL3	LLX LOG	0.431	PRML3	LREN3	LOJAS RENNER	1.339	LREN3	LLXL3	LLX LOG	0.568	PRML3
LREN3	LOJAS RENNER	1.122	LREN3	MMXM3	MMX MINER	1.434	MMXM3	LREN3	LOJAS RENNER	0.994	LREN3
MMXM3	MMX MINER	1.176	MMXM3	MRF3	MARFRIG	0.908	MRF3	MMXM3	MMX MINER	1.217	MMXM3
MRF3	MARFRIG	0.805	MRF3	MRVE3	MRV	1.594	MRVE3	MRF3	MARFRIG	0.790	MRF3
MRVE3	MRV	1.676	MRVE3	NATU3	NATURA	1.149	NATU3	MRVE3	MRV	1.783	MRVE3
NATU3	NATURA	1.009	NATU3	OGXP3	OGX PETROLEO	4.635	OGXP3	NATU3	NATURA	0.974	NATU3
OGXP3	OGX PETROLEO	5.197	OGXP3	OIBR3	OI	0.314	OIBR3	OGXP3	OGX PETROLEO	5.163	OGXP3
PCAR4	P.ACUCAR-CBD	0.882	PCAR4	OIBR4	OI	1.305	OIBR4	OIBR3	OI	0.265	OIBR3
PDGR3	PDG REALT	2.955	PDGR3	PCAR4	P.ACUCAR-CBD	1.075	PCAR4	OIBR4	OI	1.243	OIBR4
PETR3	PETROBRAS	2.630	PETR3	PDGR3	PDG REALT	2.069	PDGR3	PCAR4	P.ACUCAR-CBD	0.620	PCAR4
PETR4	PETROBRAS	8.230	PETR4	PETR3	PETROBRAS	2.382	PETR3	PDGR3	PDG REALT	3.650	PDGR3
RDCD3	REDECARD	1.347	RDCD3	PETR4	PETROBRAS	7.593	PETR4	PETR3	PETROBRAS	2.493	PETR3
RENT3	LOCALIZA	0.594	RENT3	RDCD3	REDECARD	1.404	RDCD3	PETR4	PETROBRAS	8.221	PETR4
RSID3	ROSSI RESID	1.215	RSID3	RENT3	LOCALIZA	0.697	RENT3	RDCD3	REDECARD	1.399	RDCD3
SANB11	SANTANDER BR	1.094	SANB11	RSID3	ROSSI RESID	1.159	RSID3	RENT3	LOCALIZA	0.727	RENT3
SBSP3	SABESP	0.288	SBSP3	SANB11	SANTANDER BR	1.049	SANB11	RSID3	ROSSI RESID	1.235	RSID3
TAMM4	TAM S/A	0.426	TAMM4	SBSP3	SABESP	0.396	SBSP3	SANB11	SANTANDER BR	1.067	SANB11
TIMP3	TIM PART S/A	1.156	TIMP3	TAMM4	TAM S/A	0.506	TAMM4	SBSP3	SABESP	0.348	SBSP3
TMAR5	TELEMAR N L	0.121	TMAR5	TIMP3	TIM PART S/A	1.329	TIMP3	SUZB5	SUZANO PAPEL	0.677	SUZB5
TNLP3	TELEMAR	0.172	TNLP3	TRPL4	TRAN PAULIST	0.183	TRPL4	TIMP3	TIM PART S/A	1.193	TIMP3
TNLP4	TELEMAR	0.652	TNLP4	UGPA3	ULTRAPAR	0.699	UGPA3	TRPL4	TRAN PAULIST	0.194	TRPL4
TRPL4	TRAN PAULIST	0.180	TRPL4	USIM3	USIMINAS	0.394	USIM3	UGPA3	ULTRAPAR	0.595	UGPA3
UGPA3	ULTRAPAR	0.556	UGPA3	USIM5	USIMINAS	2.28	USIM5	USIM3	USIMINAS	0.306	USIM3
USIM3	USIMINAS	0.402	USIM3	VAGR3	V-AGRO	0.489	IBOV	USIM5	USIMINAS	1.777	USIM5
USIM5	USIMINAS	2.294	USIM5	VALE3	VALE	3.003	VALE3	VAGR3	V-AGRO	0.303	IBOV
VAGR3	V-AGRO	0.437	IBOV	VALE5	VALE	9.583	VALE5	VALE3	VALE	2.891	VALE3
VALE3	VALE	2.955	VALE3	VIVT4	TELEF BRASIL	0.937	VIVT4	VALE5	VALE	9.129	VALE5
VALE5	VALE	9.286	VALE5					VIVT4	TELEF BRASIL	0.899	VIVT4
VIVT4	TELEF BRASIL	0.933	VIVT4								

2011 - 1º quadrimestre				2011 - 2º quadrimestre				2011 - 3º quadrimestre			
Código	Nome	Peso (%)	Atual	Código	Nome	Peso (%)	Atual	Código	Nome	Peso (%)	Atual
ALLL3	ALL AMER LAT	1.057	ALLL3	ALLL3	ALL AMER LAT	0.938	ALLL3	ALLL3	ALL AMER LAT	0.788	ALLL3
AMBV4	AMBEV	0.851	AMBV4	AMBV4	AMBEV	1.068	AMBV4	AMBV4	AMBEV	1.399	AMBV4

Continuação

2011 - 1º quadrimestre				2011 - 2º quadrimestre				2011 - 3º quadrimestre			
Código	Nome	Peso (%)	Atual	Código	Nome	Peso (%)	Atual	Código	Nome	Peso (%)	Atual
BBAS3	BRASIL	2.735	BBAS3	BBAS3	BRASIL	3.104	BBAS3	BBAS3	BRASIL	3.442	BBAS3
BBDC4	BRADESCO	2.883	BBDC4	BBDC4	BRADESCO	3.060	BBDC4	BBDC4	BRADESCO	3.246	BBDC4
BISA3	BROOKFIELD	0.728	BISA3	BISA3	BROOKFIELD	0.721	BISA3	BISA3	BROOKFIELD	0.699	BISA3
BRAP4	BRADESPAR	0.871	BRAP4	BRAP4	BRADESPAR	0.864	BRAP4	BRAP4	BRADESPAR	0.882	BRAP4
BRFS3	BRF FOODS	1.212	BRFS3	BRFS3	BRF FOODS	1.239	BRFS3	BRFS3	BRF FOODS	1.456	BRFS3
BRKM5	BRASKEM	0.567	BRKM5	BRKM5	BRASKEM	0.608	BRKM5	BRKM5	BRASKEM	0.612	BRKM5
BRT04	BRASIL TELEC	0.357	OIBR4	BRT04	BRASIL TELEC	0.343	OIBR4	BRT04	BRASIL TELEC	0.330	OIBR4
BTOW3	B2W VAREJO	0.628	BTOW3	BTOW3	B2W VAREJO	0.562	BTOW3	BTOW3	B2W VAREJO	0.490	BTOW3
BVMF3	BMFBOVESPA	3.739	BVMF3	BVMF3	BMFBOVESPA	3.693	BVMF3	BVMF3	BMFBOVESPA	3.566	BVMF3
CCRO3	CCR RODOVIAS	0.775	CCRO3	CCRO3	CCR SA	0.763	CCRO3	CCRO3	CCR SA	0.908	CCRO3
CESP6	CESP	0.584	CESP6	CESP6	CESP	0.562	CESP6	CESP6	CESP	0.662	CESP6
CIEL3	CIELO	1.424	CIEL3	CIEL3	CIELO	1.358	CIEL3	CIEL3	CIELO	1.795	CIEL3
CMIG4	CEMIG	1.068	CMIG4	CMIG4	CEMIG	1.032	CMIG4	CMIG4	CEMIG	1.174	CMIG4
CPFE3	CPFL ENERGIA	0.439	CPFE3	CPFE3	CPFL ENERGIA	0.412	CPFE3	CPFE3	CPFL ENERGIA	0.458	CPFE3
CPL6	COPEL	0.608	CPL6	CPL6	COPEL	0.629	CPL6	CPL6	COPEL	0.616	CPL6
CRUZ3	SOUZA CRUZ	0.415	CRUZ3	CRUZ3	SOUZA CRUZ	0.437	CRUZ3	CRUZ3	SOUZA CRUZ	0.592	CRUZ3
CSAN3	COSAN	0.755	CSAN3	CSAN3	COSAN	0.741	CSAN3	CSAN3	COSAN	0.878	CSAN3
CSNA3	SID NACIONAL	2.147	CSNA3	CSNA3	SID NACIONAL	1.920	CSNA3	CSNA3	SID NACIONAL	1.538	CSNA3
CYRE3	CYRELA REALT	1.854	CYRE3	CYRE3	CYRELA REALT	1.898	CYRE3	CYRE3	CYRELA REALT	2.081	CYRE3
DTEX3	DURATEX	0.594	DTEX3	DTEX3	DURATEX	0.561	DTEX3	DTEX3	DURATEX	0.524	DTEX3
ECOD3	ECODIESEL	0.885	IBOV	ECOD3	ECODIESEL	0.620	IBOV	ECOD3	ECODIESEL	0.535	IBOV
ELET3	ELETROBRAS	0.744	ELET3	ELET3	ELETROBRAS	0.644	ELET3	ELET3	ELETROBRAS	0.562	ELET3
ELET6	ELETROBRAS	0.633	ELET6	ELET6	ELETROBRAS	0.597	ELET6	ELET6	ELETROBRAS	0.552	ELET6
ELPL4	ELETROPAULO	0.630	ELPL4	ELPL4	ELETROPAULO	0.615	ELPL4	ELPL4	ELETROPAULO	0.650	ELPL4
EMBR3	EMBRAER	0.561	EMBR3	EMBR3	EMBRAER	0.558	EMBR3	EMBR3	EMBRAER	0.540	EMBR3
FIBR3	FIBRIA	1.293	FIBR3	FIBR3	FIBRIA	1.141	FIBR3	FIBR3	FIBRIA	0.847	FIBR3
GFS3	GAFISA	1.567	GFS3	GFS3	GAFISA	1.653	GFS3	GFS3	GAFISA	1.536	GFS3
GGBR4	GERDAU	2.979	GGBR4	GGBR4	GERDAU	3.080	GGBR4	GGBR4	GERDAU	2.631	GGBR4
GOAU4	GERDAU MET	0.761	GOAU4	GOAU4	GERDAU MET	0.817	GOAU4	GOAU4	GERDAU MET	0.729	GOAU4
GOLL4	GOL	0.816	GOLL4	GOLL4	GOL	0.741	GOLL4	GOLL4	GOL	0.485	GOLL4
HYPE3	HYPERMARCAS	0.985	HYPE3	HYPE3	HYPERMARCAS	1.194	HYPE3	HYPE3	HYPERMARCAS	0.892	HYPE3
ITSA4	ITAUSA	2.058	ITSA4	ITSA4	ITAUSA	2.012	ITSA4	ITSA4	ITAUSA	1.886	ITSA4
ITUB4	ITAUNIBANCO	3.828	ITUB4	ITUB4	ITAUNIBANCO	4.125	ITUB4	ITUB4	ITAUNIBANCO	3.811	ITUB4
JBSS3	JBS	1.212	JBSS3	JBSS3	JBS	1.017	JBSS3	JBSS3	JBS	0.949	JBSS3
KLBN4	KLABIN S/A	0.496	KLBN4	KLBN4	KLABIN S/A	0.513	KLBN4	KLBN4	KLABIN S/A	0.533	KLBN4
LAME4	LOJAS AMERIC	1.088	LAME4	LAME4	LOJAS AMERIC	1.069	LAME4	LAME4	LOJAS AMERIC	1.429	LAME4
LIGT3	LIGHT S/A	0.526	LIGT3	LIGT3	LIGHT S/A	0.543	LIGT3	LIGT3	LIGHT S/A	0.660	LIGT3
LLXL3	LLX LOG	0.514	PRML3	LLXL3	LLX LOG	0.516	PRML3	LLXL3	LLX LOG	0.543	PRML3
LREN3	LOJAS RENNER	1.072	LREN3	LREN3	LOJAS RENNER	1.151	LREN3	LREN3	LOJAS RENNER	1.398	LREN3
MMXM3	MMX MINER	1.359	MMXM3	MMXM3	MMX MINER	1.316	MMXM3	MMXM3	MMX MINER	1.240	MMXM3
MRFG3	MARFRIG	0.734	MRFG3	MRFG3	MARFRIG	0.731	MRFG3	MRFG3	MARFRIG	0.408	MRFG3
MRVE3	MRV	1.349	MRVE3	MRVE3	MRV	1.495	MRVE3	MRVE3	MRV	1.752	MRVE3
NATU3	NATURA	0.821	NATU3	NATU3	NATURA	0.902	NATU3	NATU3	NATURA	0.933	NATU3
OGXP3	OGX PETROLEO	4.805	OGXP3	OGXP3	OGX PETROLEO	4.878	OGXP3	OGXP3	OGX PETROLEO	3.891	OGXP3
PCAR5	P.ACUCAR-CBD	0.948	PCAR4	PCAR4	P.ACUCAR-CBD	0.943	PCAR4	PCAR4	P.ACUCAR-CBD	1.023	PCAR4
PDGR3	PDG REALT	2.425	PDGR3	PDGR3	PDG REALT	2.490	PDGR3	PDGR3	PDG REALT	2.479	PDGR3
PETR3	PETROBRAS	2.895	PETR3	PETR3	PETROBRAS	2.977	PETR3	PETR3	PETROBRAS	2.821	PETR3
PETRA	PETROBRAS	10.460	PETRA	PETRA	PETROBRAS	10.201	PETRA	PETRA	PETROBRAS	9.903	PETRA
PRTX3	PORTX	0.403	PRTX3	PRTX3	PORTX	0.359	PRTX3	RDCD3	REDECARD	1.542	RDCD3
RDCD3	REDECARD	1.254	RDCD3	RDCD3	REDECARD	1.180	RDCD3	RSID3	ROSSI RESID	1.098	RSID3
RSID3	ROSSI RESID	1.044	RSID3	RSID3	ROSSI RESID	1.105	RSID3	SANB11	SANTANDER BR	1.081	SANB11
SANB11	SANTANDER BR	0.968	SANB11	SANB11	SANTANDER BR	1.065	SANB11	SBSP3	SABESP	0.353	SBSP3
SBSP3	SABESP	0.304	SBSP3	SBSP3	SABESP	0.298	SBSP3	TAMM4	TAM S/A	0.807	TAMM4
TAMM4	TAM S/A	0.854	TAMM4	TAMM4	TAM S/A	0.672	TAMM4	TIMP3	TIM PART S/A	1.291	TIMP3
TCSL3	TIM PART S/A	0.148	TIMP3	TCSL3	TIM PART S/A	0.168	TIMP3	TLPP4	TELESP	1.324	VIVT4
TCSL4	TIM PART S/A	0.794	TCSL4	TCSL4	TIM PART S/A	0.802	TCSL4	TMAR5	TELEMAR N L	0.157	TMAR5
TLPP4	TELESP	0.145	VIVT4	TLPP4	TELESP	0.161	VIVT4	TNLP3	TELEMAR	0.182	TNLP3
TMAR5	TELEMAR N L	0.169	TMAR5	TMAR5	TELEMAR N L	0.159	TMAR5	TNLP4	TELEMAR	0.757	TNLP4
TNLP3	TELEMAR	0.233	TNLP3	TNLP3	TELEMAR	0.238	TNLP3	TRPL4	TRAN PAULIST	0.212	TRPL4

Continuação

2011 - 1º quadrimestre				2011 - 2º quadrimestre				2011 - 3º quadrimestre			
Código	Nome	Peso (%)	Atual	Código	Nome	Peso (%)	Atual	Código	Nome	Peso (%)	Atual
TNLP4	TELEMAR	0.831	TNLP4	TNLP4	TELEMAR	0.822	TNLP4	UGPA3	ULTRAPAR	0.560	UGPA3
TRPL4	TRAN PAULIST	0.201	TRPL4	TRPL4	TRAN PAULIST	0.191	TRPL4	USIM3	USIMINAS	0.555	USIM3
UGPA4	ULTRAPAR	0.452	UGPA4	UGPA4	ULTRAPAR	0.463	UGPA4	USIM5	USIMINAS	2.479	USIM5
USIM3	USIMINAS	0.496	USIM3	USIM3	USIMINAS	0.536	USIM3	VALE3	VALE	2.837	VALE3
USIM5	USIMINAS	2.777	USIM5	USIM5	USIMINAS	2.841	USIM5	VALE5	VALE	10.978	VALE5
VALE3	VALE	2.686	VALE3	VALE3	VALE	2.733	VALE3				
VALE5	VALE	10.758	VALE5	VALE5	VALE	10.346	VALE5				
VIVO4	VIVO	0.711	VIVO4	VIVO4	VIVO	0.762	VIVO4				

2010 - 1º quadrimestre				2010 - 2º quadrimestre				2010 - 3º quadrimestre			
Código	Nome	Peso (%)	Atual	Código	Nome	Peso (%)	Atual	Código	Nome	Peso (%)	Atual
ALLL11	ALL AMER LAT	1.409	ALLL11	AGEI3	AGRE EMP IMO	1.031	AGEI3	ALLL11	ALL AMER LAT	1.197	ALLL11
AMBV4	AMBEV	0.915	AMBV4	ALLL11	ALL AMER LAT	1.380	ALLL11	AMBV4	AMBEV	0.841	AMBV4
BBAS3	BRASIL	2.176	BBAS3	AMBV4	AMBEV	0.832	AMBV4	BBAS3	BRASIL	2.430	BBAS3
BBDC4	BRADESCO	3.664	BBDC4	BBAS3	BRASIL	1.981	BBAS3	BBDC4	BRADESCO	2.821	BBDC4
BRAP4	BRADESPAR	1.007	BRAP4	BBDC4	BRADESCO	3.104	BBDC4	BISA3	BROOKFIELD	0.667	BISA3
BRFS3	BRF FOODS	2.137	BRFS3	BRAP4	BRADESPAR	0.923	BRAP4	BRAP4	BRADESPAR	0.903	BRAP4
BRKM5	BRASKEM	0.506	BRKM5	BRFS3	BRF FOODS	1.871	BRFS3	BRFS3	BRF FOODS	1.399	BRFS3
BRTO4	BRASIL TELEC	0.404	OIBR4	BRKM5	BRASKEM	0.567	BRKM5	BRKM5	BRASKEM	0.563	BRKM5
BTOW3	B2W VAREJO	0.698	BTOW3	BRTO4	BRASIL TELEC	0.413	OIBR4	BRTO4	BRASIL TELEC	0.376	OIBR4
BVMF3	BMFBOVESPA	4.348	BVMF3	BTOW3	B2W VAREJO	0.695	BTOW3	BTOW3	B2W VAREJO	0.707	BTOW3
CCRO3	CCR RODOVIAS	0.642	CCRO3	BVMF3	BMFBOVESPA	4.209	BVMF3	BVMF3	BMFBOVESPA	3.821	BVMF3
CESP6	CESP	0.835	CESP6	CCRO3	CCR RODOVIAS	0.719	CCRO3	CCRO3	CCR RODOVIAS	0.750	CCRO3
CMIG4	CEMIG	1.553	CMIG4	CESP6	CESP	0.801	CESP6	CESP6	CESP	0.676	CESP6
CPFE3	CPFL ENERGIA	0.532	CPFE3	CIEL3	CIELO	1.983	CIEL3	CIEL3	CIELO	1.663	CIEL3
CPL6	COPEL	0.642	CPL6	CMIG4	CEMIG	1.353	CMIG4	CMIG4	CEMIG	1.171	CMIG4
CRUZ3	SOUZA CRUZ	0.532	CRUZ3	CPFE3	CPFL ENERGIA	0.503	CPFE3	CPFE3	CPFL ENERGIA	0.472	CPFE3
CSAN3	COSAN	0.652	CSAN3	CPL6	COPEL	0.610	CPL6	CPL6	COPEL	0.619	CPL6
CSNA3	SID NACIONAL	2.765	CSNA3	CRUZ3	SOUZA CRUZ	0.472	CRUZ3	CRUZ3	SOUZA CRUZ	0.435	CRUZ3
CYRE3	CYRELA REALT	1.636	CYRE3	CSAN3	COSAN	0.766	CSAN3	CSAN3	COSAN	0.727	CSAN3
DTEX3	DURATEX	0.516	DTEX3	CSNA3	SID NACIONAL	2.488	CSNA3	CSNA3	SID NACIONAL	2.368	CSNA3
ELET3	ELETROBRAS	0.963	ELET3	CYRE3	CYRELA REALT	1.767	CYRE3	CYRE3	CYRELA REALT	1.908	CYRE3
ELET6	ELETROBRAS	0.891	ELET6	DTEX3	DURATEX	0.591	DTEX3	DTEX3	DURATEX	0.589	DTEX3
ELPL6	ELETROPAULO	0.682	ELPL4	ECOD3	ECODIESEL	0.941	IBOV	ECOD3	ECODIESEL	0.966	IBOV
EMBR3	EMBRAER	0.879	EMBR3	ELET3	ELETROBRAS	0.995	ELET3	ELET3	ELETROBRAS	0.857	ELET3
FIBR3	FIBRIA	2.266	FIBR3	ELET6	ELETROBRAS	0.826	ELET6	ELET6	ELETROBRAS	0.716	ELET6
GFA3	GAFISA	1.319	GFA3	ELPL6	ELETROPAULO	0.670	ELPL4	ELPL6	ELETROPAULO	0.632	ELPL4
GGBR4	GERDAU	3.788	GGBR4	EMBR3	EMBRAER	0.845	EMBR3	EMBR3	EMBRAER	0.724	EMBR3
GOAU4	GERDAU MET	0.935	GOAU4	FIBR3	FIBRIA	2.025	FIBR3	FIBR3	FIBRIA	1.520	FIBR3
GOLL4	GOL	0.897	GOLL4	GFA3	GAFISA	1.626	GFA3	GFA3	GAFISA	1.564	GFA3
ITSA4	ITAUSA	2.574	ITSA4	GGBR4	GERDAU	3.429	GGBR4	GGBR4	GERDAU	3.089	GGBR4
ITUB4	ITAUNIBANCO	4.712	ITUB4	GOAU4	GERDAU MET	0.883	GOAU4	GOAU4	GERDAU MET	0.797	GOAU4
JBSS3	JBS	0.704	JBSS3	GOLL4	GOL	1.029	GOLL4	GOLL4	GOL	0.991	GOLL4
KLBN4	KLABIN S/A	0.422	KLBN4	ITSA4	ITAUSA	2.452	ITSA4	ITSA4	ITAUSA	2.220	ITSA4
LAME4	LOJAS AMERIC	1.027	LAME4	ITUB4	ITAUNIBANCO	3.867	ITUB4	ITUB4	ITAUNIBANCO	3.790	ITUB4
LIGT3	LIGHT S/A	0.454	LIGT3	JBSS3	JBS	0.966	JBSS3	JBSS3	JBS	1.144	JBSS3
LLXL3	LLX LOG	0.730	PRML3	KLBN4	KLABIN S/A	0.450	KLBN4	KLBN4	KLABIN S/A	0.438	KLBN4
LREN3	LOJAS RENNER	0.955	LREN3	LAME4	LOJAS AMERIC	1.061	LAME4	LAME4	LOJAS AMERIC	1.107	LAME4
MMXM3	MMX MINER	1.067	MMXM3	LIGT3	LIGHT S/A	0.543	LIGT3	LIGT3	LIGHT S/A	0.540	LIGT3
MRVE3	MRV	0.679	MRVE3	LLXL3	LLX LOG	0.952	PRML3	LLXL3	LLX LOG	0.936	PRML3
NATU3	NATURA	0.781	NATU3	LREN3	LOJAS RENNER	1.004	LREN3	LREN3	LOJAS RENNER	1.024	LREN3
NETC4	NET	0.873	NETC4	MMXM3	MMX MINER	1.230	MMXM3	MMXM3	MMX MINER	1.414	MMXM3
OGXP3	OGX PETROLEO	0.867	OGXP3	MRVE3	MRV	0.970	MRVE3	MRFG3	MARFRIG	0.653	MRFG3
PCAR5	P.ACUCAR-CBD	0.613	PCAR4	NATU3	NATURA	0.779	NATU3	MRVE3	MRV	1.152	MRVE3
PDGR3	PDG REALT	0.677	PDGR3	NETC4	NET	0.883	NETC4	NATU3	NATURA	0.802	NATU3
PETR3	PETROBRAS	3.151	PETR3	OGXP3	OGX PETROLEO	2.423	OGXP3	NETC4	NET	0.809	NETC4
PETR4	PETROBRAS	12.555	PETR4	PCAR5	P.ACUCAR-CBD	0.715	PCAR4	OGXP3	OGX PETROLEO	3.749	OGXP3
RDCD3	REDECARD	1.856	RDCD3	PDGR3	PDG REALT	1.099	PDGR3	PCAR5	P.ACUCAR-CBD	0.861	PCAR4

Continuação

2010 - 1º quadrimestre				2010 - 2º quadrimestre				2010 - 3º quadrimestre			
Código	Nome	Peso (%)	Atual	Código	Nome	Peso (%)	Atual	Código	Nome	Peso (%)	Atual
RSID3	ROSSI RESID	0.919	RSID3	PETR3	PETROBRAS	2.738	PETR3	PDGR3	PDG REALT	2.485	PDGR3
SBSP3	SABESP	0.387	SBSP3	PETR4	PETROBRAS	10.633	PETR4	PETR3	PETROBRAS	2.584	PETR3
TAMM4	TAM S/A	0.716	TAMM4	RD3CD3	REDECARD	1.705	RD3CD3	PETR4	PETROBRAS	9.708	PETR4
TC3SL3	TIM PART S/A	0.141	TIMP3	RSID3	ROSSI RESID	1.027	RSID3	RD3CD3	REDECARD	1.411	RD3CD3
TC3SL4	TIM PART S/A	0.872	TC3SL4	SBSP3	SABESP	0.352	SBSP3	RSID3	ROSSI RESID	1.140	RSID3
TLPP4	TELESP	0.191	VIVT4	TAMM4	TAM S/A	0.882	TAMM4	SANB11	SANTANDER BR	1.062	SANB11
TMAR5	TELEMAR N L	0.272	TMAR5	TC3SL3	TIM PART S/A	0.137	TIMP3	SBSP3	SABESP	0.327	SBSP3
TNLP3	TELEMAR	0.248	TNLP3	TC3SL4	TIM PART S/A	0.815	TC3SL4	TAMM4	TAM S/A	0.938	TAMM4
TNLP4	TELEMAR	0.997	TNLP4	TLPP4	TELESP	0.170	VIVT4	TC3SL3	TIM PART S/A	0.137	TIMP3
TRPL4	TRAN PAULIST	0.332	TRPL4	TMAR5	TELEMAR N L	0.252	TMAR5	TC3SL4	TIM PART S/A	0.843	TC3SL4
UGPA4	ULTRAPAR	0.509	UGPA4	TNLP3	TELEMAR	0.238	TNLP3	TLPP4	TELESP	0.159	VIVT4
USIM3	USIMINAS	0.735	USIM3	TNLP4	TELEMAR	0.927	TNLP4	TMAR5	TELEMAR N L	0.221	TMAR5
USIM5	USIMINAS	3.068	USIM5	TRPL4	TRAN PAULIST	0.256	TRPL4	TNLP3	TELEMAR	0.258	TNLP3
VALE3	VALE	3.238	VALE3	UGPA4	ULTRAPAR	0.501	UGPA4	TNLP4	TELEMAR	0.905	TNLP4
VALE5	VALE	11.666	VALE5	USIM3	USIMINAS	0.666	USIM3	TRPL4	TRAN PAULIST	0.224	TRPL4
VIVO4	VIVO	0.787	VIVO4	USIM5	USIMINAS	2.876	USIM5	UGPA4	ULTRAPAR	0.474	UGPA4
				VALE3	VALE	2.734	VALE3	USIM3	USIMINAS	0.591	USIM3
				VALE5	VALE	10.627	VALE5	USIM5	USIMINAS	2.755	USIM5
				VIVO4	VIVO	0.699	VIVO4	VALE3	VALE	2.664	VALE3
								VALE5	VALE	10.748	VALE5
								VIVO4	VIVO	0.735	VIVO4

2009 - 1º quadrimestre				2009 - 2º quadrimestre				2009 - 3º quadrimestre			
Código	Nome	Peso (%)	Atual	Código	Nome	Peso (%)	Atual	Código	Nome	Peso (%)	Atual
ALLL11	ALL AMER LAT	1.415	ALLL11	ALLL11	ALL AMER LAT	1.336	ALLL11	ALLL11	ALL AMER LAT	1.420	ALLL11
AMBV4	AMBEV	1.122	AMBV4	AMBV4	AMBEV	1.103	AMBV4	AMBV4	AMBEV	1.026	AMBV4
ARCZ6	ARACRUZ	0.777	ARCZ6	ARCZ6	ARACRUZ	0.998	ARCZ6	ARCZ6	ARACRUZ	1.403	ARCZ6
BBAS3	BRASIL	2.404	BBAS3	BBAS3	BRASIL	2.337	BBAS3	BBAS3	BRASIL	2.124	BBAS3
BBDC4	BRADESCO	3.700	BBDC4	BBDC4	BRADESCO	3.844	BBDC4	BBDC4	BRADESCO	3.864	BBDC4
BNCA3	NOSSA CAIXA	0.396	BNCA3	BNCA3	NOSSA CAIXA	0.388	BNCA3	BNCA3	NOSSA CAIXA	0.287	BNCA3
BRAP4	BRADESPAR	1.198	BRAP4	BRAP4	BRADESPAR	1.160	BRAP4	BRAP4	BRADESPAR	1.066	BRAP4
BRKM5	BRASKEM	0.544	BRKM5	BRKM5	BRASKEM	0.451	BRKM5	BRKM5	BRASKEM	0.450	BRKM5
BRT04	BRASIL TELEC	0.419	OIBR4	BRT04	BRASIL TELEC	0.371	OIBR4	BRT04	BRASIL TELEC	0.360	OIBR4
BRT3P3	BRASIL T PAR	0.283	BRT3P3	BRT3P3	BRASIL T PAR	0.257	BRT3P3	BRT3P4	BRASIL T PAR	0.317	BRT3P4
BRT3P4	BRASIL T PAR	0.437	BRT3P4	BRT3P4	BRASIL T PAR	0.350	BRT3P4	BTOW3	B2W VAREJO	0.683	BTOW3
BTOW3	B2W VAREJO	0.903	BTOW3	BTOW3	B2W VAREJO	0.759	BTOW3	BVMF3	BMFBOVESPA	4.447	BVMF3
BVMF3	BMF BOVESPA	4.359	BVMF3	BVMF3	BMF BOVESPA	4.236	BVMF3	CCRO3	CCR RODOVIAS	0.590	CCRO3
CCRO3	CCR RODOVIAS	0.610	CCRO3	CCRO3	CCR RODOVIAS	0.590	CCRO3	CESP6	CESP	0.812	CESP6
CESP6	CESP	1.214	CESP6	CESP6	CESP	0.828	CESP6	CGAS5	COMGAS	0.093	CGAS5
CGAS5	COMGAS	0.113	CGAS5	CGAS5	COMGAS	0.105	CGAS5	CLSC6	CELESC	0.099	CLSC4
CLSC6	CELESC	0.121	CLSC4	CLSC6	CELESC	0.113	CLSC4	CMIG4	CEMIG	1.704	CMIG4
CMIG4	CEMIG	1.642	CMIG4	CMIG4	CEMIG	1.671	CMIG4	CPFE3	CPFL ENERGIA	0.541	CPFE3
CPFE3	CPFL ENERGIA	0.522	CPFE3	CPFE3	CPFL ENERGIA	0.530	CPFE3	CPL66	COPEL	0.672	CPL66
CPL66	COPEL	0.650	CPL66	CPL66	COPEL	0.690	CPL66	CRUZ3	SOUZA CRUZ	0.563	CRUZ3
CRUZ3	SOUZA CRUZ	0.486	CRUZ3	CRUZ3	SOUZA CRUZ	0.513	CRUZ3	CSAN3	COSAN	0.553	CSAN3
CSAN3	COSAN	0.603	CSAN3	CSAN3	COSAN	0.517	CSAN3	CSNA3	SID NACIONAL	3.023	CSNA3
CSNA3	SID NACIONAL	3.453	CSNA3	CSNA3	SID NACIONAL	3.399	CSNA3	CYRE3	CYRELA REALT	1.385	CYRE3
CYRE3	CYRELA REALT	1.256	CYRE3	CYRE3	CYRELA REALT	1.351	CYRE3	DURA4	DURATEX	0.430	DURA4
DURA4	DURATEX	0.551	DURA4	DURA4	DURATEX	0.428	DURA4	ELET3	ELETROBRAS	0.971	ELET3
ELET3	ELETROBRAS	0.951	ELET3	ELET3	ELETROBRAS	0.969	ELET3	ELET6	ELETROBRAS	0.946	ELET6
ELET6	ELETROBRAS	0.951	ELET6	ELET6	ELETROBRAS	0.943	ELET6	ELPL6	ELETROPAULO	0.717	ELPL4
ELPL6	ELETROPAULO	0.690	ELPL4	ELPL6	ELETROPAULO	0.701	ELPL4	EMBR3	EMBRAER	0.724	EMBR3
EMBR3	EMBRAER	0.655	EMBR3	EMBR3	EMBRAER	0.681	EMBR3	GFA33	GAFISA	1.163	GFA33
GFA33	GAFISA	0.929	GFA33	GFA33	GAFISA	0.980	GFA33	GGBR4	GERDAU	3.646	GGBR4
GGBR4	GERDAU	3.099	GGBR4	GGBR4	GERDAU	3.532	GGBR4	GOAU4	GERDAU MET	0.920	GOAU4
GOAU4	GERDAU MET	0.916	GOAU4	GOAU4	GERDAU MET	0.951	GOAU4	GOLL4	GOL	0.673	GOLL4
GOLL4	GOL	0.737	GOLL4	GOLL4	GOL	0.648	GOLL4	ITSA4	ITAUSA	2.453	ITSA4
ITAU4	ITAUBANCO	3.470	ITUB4	ITAU4	ITAUNIBANCO	5.907	ITUB4	ITUB4	ITAUNIBANCO	5.553	ITUB4

Continuação

2009 - 1º quadrimestre				2009 - 2º quadrimestre				2009 - 3º quadrimestre			
Código	Nome	Peso (%)	Atual	Código	Nome	Peso (%)	Atual	Código	Nome	Peso (%)	Atual
ITSA4	ITAUSA	2.235	ITSA4	ITSA4	ITAUSA	2.294	ITSA4	JBSS3	JBS	0.636	JBSS3
JBSS3	JBS	0.658	JBSS3	JBSS3	JBS	0.672	JBSS3	KLBN4	KLABIN S/A	0.375	KLBN4
KLBN4	KLABIN S/A	0.355	KLBN4	KLBN4	KLABIN S/A	0.341	KLBN4	LAME4	LOJAS AMERIC	0.971	LAME4
LAME4	LOJAS AMERIC	1.199	LAME4	LAME4	LOJAS AMERIC	1.070	LAME4	LIGT3	LIGHT S/A	0.311	LIGT3
LIGT3	LIGHT S/A	0.202	LIGT3	LIGT3	LIGHT S/A	0.219	LIGT3	LREN3	LOJAS RENNER	0.884	LREN3
LREN3	LOJAS RENNER	0.858	LREN3	LREN3	LOJAS RENNER	0.814	LREN3	MMXM3	MMX MINER	0.742	MMXM3
NATU3	NATURA	0.637	NATU3	NATU3	NATURA	0.665	NATU3	NATU3	NATURA	0.757	NATU3
NETC4	NET	0.945	NETC4	NETC4	NET	0.781	NETC4	NETC4	NET	0.800	NETC4
PCAR4	P.ACUCAR-CBD	0.553	PCAR4	PCAR4	P.ACUCAR-CBD	0.536	PCAR4	PCAR5	P.ACUCAR-CBD	0.571	PCAR4
PETR3	PETROBRAS	3.060	PETR3	PETR3	PETROBRAS	3.341	PETR3	PETR3	PETROBRAS	3.335	PETR3
PETR4	PETROBRAS	16.715	PETR4	PETR4	PETROBRAS	16.604	PETR4	PETR4	PETROBRAS	15.012	PETR4
PRGA3	PERDIGAO S/A	0.887	BRFS3	PRGA3	PERDIGAO S/A	0.825	BRFS3	PRGA3	BRF FOODS	0.998	BRFS3
RDCD3	REDECARD	0.933	RDCD3	RDCD3	REDECARD	1.173	RDCD3	RDCD3	REDECARD	1.585	RDCD3
RSID3	ROSSI RESID	0.569	RSID3	RSID3	ROSSI RESID	0.561	RSID3	RSID3	ROSSI RESID	0.597	RSID3
SBSP3	SABESP	0.403	SBSP3	SBSP3	SABESP	0.406	SBSP3	SBSP3	SABESP	0.408	SBSP3
SDIA4	SADIA S/A	1.139	SDIA4	SDIA4	SADIA S/A	1.156	SDIA4	SDIA4	SADIA S/A	1.207	SDIA4
TAMM4	TAM S/A	0.710	TAMM4	TAMM4	TAM S/A	0.626	TAMM4	TAMM4	TAM S/A	0.652	TAMM4
TCSL3	TIM PART S/A	0.197	TIMP3	TCSL3	TIM PART S/A	0.162	TIMP3	TCSL3	TIM PART S/A	0.155	TIMP3
TCSL4	TIM PART S/A	0.757	TCSL4	TCSL4	TIM PART S/A	0.813	TCSL4	TCSL4	TIM PART S/A	0.827	TCSL4
TLPP4	TELESP	0.191	VIVT4	TLPP4	TELESP	0.194	VIVT4	TLPP4	TELESP	0.210	VIVT4
TMAR5	TELEMAR N L	0.295	TMAR5	TMAR5	TELEMAR N L	0.294	TMAR5	TMAR5	TELEMAR N L	0.287	TMAR5
TNLP3	TELEMAR	0.417	TNLP3	TNLP3	TELEMAR	0.319	TNLP3	TNLP3	TELEMAR	0.300	TNLP3
TNLP4	TELEMAR	1.092	TNLP4	TNLP4	TELEMAR	0.945	TNLP4	TNLP4	TELEMAR	0.991	TNLP4
TRPL4	TRAN PAULIST	0.371	TRPL4	TRPL4	TRAN PAULIST	0.41	TRPL4	TRPL4	TRAN PAULIST	0.386	TRPL4
UBBR11	UNIBANCO	2.415	UBBR11	UGPA4	ULTRAPAR	0.462	UGPA4	UGPA4	ULTRAPAR	0.505	UGPA4
UGPA4	ULTRAPAR	0.437	UGPA4	USIM3	USIMINAS	0.652	USIM3	USIM3	USIMINAS	0.696	USIM3
USIM3	USIMINAS	0.620	USIM3	USIM5	USIMINAS	3.016	USIM5	USIM5	USIMINAS	3.099	USIM5
USIM5	USIMINAS	3.046	USIM5	VALE3	VALE R DOCE	3.445	VALE3	VALE3	VALE	3.468	VALE3
VALE3	VALE R DOCE	3.269	VALE3	VALE5	VALE R DOCE	12.155	VALE5	VALE5	VALE	12.075	VALE5
VALE5	VALE R DOCE	11.883	VALE5	VCPA4	V C P	0.599	VCPA4	VCPA3	V C P	0.691	FIBR3
VCPA4	V C P	0.618	VCPA4	VIVO4	VIVO	0.769	VIVO4	VIVO4	VIVO	0.757	VIVO4
VIVO4	VIVO	0.722	VIVO4								

2008 - 1º quadrimestre				2008 - 2º quadrimestre				2008 - 3º quadrimestre			
Código	Nome	Peso (%)	Atual	Código	Nome	Peso (%)	Atual	Código	Nome	Peso (%)	Atual
ACES4	AM INOX BR	0.149	ACES4	ALLL11	ALL AMER LAT	1.743	ALLL11	ALLL11	ALL AMER LAT	1.458	ALLL11
ALLL11	ALL AMER LAT	1.993	ALLL11	AMBV4	AMBEV	1.210	AMBV4	AMBV4	AMBEV	1.109	AMBV4
AMBV4	AMBEV	1.258	AMBV4	ARCZ6	ARACRUZ	0.844	ARCZ6	ARCZ6	ARACRUZ	0.753	ARCZ6
ARCZ6	ARACRUZ	0.951	ARCZ6	BBAS3	BRASIL	2.378	BBAS3	BBAS3	BRASIL	2.443	BBAS3
BBAS3	BRASIL	1.892	BBAS3	BBDC4	BRADESCO	3.840	BBDC4	BBDC4	BRADESCO	3.549	BBDC4
BBDC4	BRADESCO	3.904	BBDC4	BNCA3	NOSSA CAIXA	0.423	BNCA3	BNCA3	NOSSA CAIXA	0.341	BNCA3
BNCA3	NOSSA CAIXA	0.571	BNCA3	BRAP4	BRADESPAR	1.415	BRAP4	BRAP4	BRADESPAR	1.339	BRAP4
BRAP4	BRADESPAR	1.524	BRAP4	BRKM5	BRASKEM	0.869	BRKM5	BRKM5	BRASKEM	0.666	BRKM5
BRKM5	BRASKEM	1.120	BRKM5	BRT04	BRASIL TELEC	0.761	OIBR4	BRT04	BRASIL TELEC	0.422	OIBR4
BRT04	BRASIL TELEC	0.843	OIBR4	BRTP3	BRASIL T PAR	0.339	BRTP3	BRTP3	BRASIL T PAR	0.290	BRTP3
BRTP3	BRASIL T PAR	0.364	BRTP3	BRTP4	BRASIL T PAR	0.733	BRTP4	BRTP4	BRASIL T PAR	0.445	BRTP4
BRTP4	BRASIL T PAR	0.677	BRTP4	BTOW3	B2W VAREJO	1.139	BTOW3	BTOW3	B2W VAREJO	0.999	BTOW3
BTOW3	B2W VAREJO	1.237	BTOW3	CCPR3	CYRE COM-CCP	0.098	CCPR3	BVMF3	BMF BOVESPA	3.944	BVMF3
CCPR3	CYRE COM-CCP	0.128	CCPR3	CCRO3	CCR RODOVIAS	0.792	CCRO3	CCRO3	CCR RODOVIAS	0.675	CCRO3
CCRO3	CCR RODOVIAS	1.010	CCRO3	CESP6	CESP	1.545	CESP6	CESP6	CESP	1.353	CESP6
CESP6	CESP	1.245	CESP6	CGAS5	COMGAS	0.185	CGAS5	CGAS5	COMGAS	0.136	CGAS5
CGAS5	COMGAS	0.229	CGAS5	CLSC6	CELESC	0.181	CLSC4	CLSC6	CELESC	0.135	CLSC4
CLSC6	CELESC	0.258	CLSC4	CMIG4	CEMIG	1.800	CMIG4	CMIG4	CEMIG	1.613	CMIG4
CMIG4	CEMIG	1.762	CMIG4	CPFE3	CPFL ENERGIA	0.683	CPFE3	CPFE3	CPFL ENERGIA	0.550	CPFE3
CPFE3	CPFL ENERGIA	0.823	CPFE3	CPL6	COPEL	0.820	CPL6	CPL6	COPEL	0.706	CPL6
CPL6	COPEL	0.933	CPL6	CRUZ3	SOUZA CRUZ	0.523	CRUZ3	CRUZ3	SOUZA CRUZ	0.464	CRUZ3
CRUZ3	SOUZA CRUZ	0.542	CRUZ3	CSAN3	COSAN	1.048	CSAN3	CSAN3	COSAN	0.732	CSAN3
CSAN3	COSAN	1.534	CSAN3	CSNA3	SID NACIONAL	2.768	CSNA3	CSNA3	SID NACIONAL	3.265	CSNA3

Continuação

2008 - 1º quadrimestre				2008 - 2º quadrimestre				2008 - 3º quadrimestre			
Código	Nome	Peso (%)	Atual	Código	Nome	Peso (%)	Atual	Código	Nome	Peso (%)	Atual
CSNA3	SID NACIONAL	2.471	CSNA3	CYRE3	CYRELA REALT	1.278	CYRE3	CYRE3	CYRELA REALT	1.250	CYRE3
CYRE3	CYRELA REALT	1.294	CYRE3	DURA4	DURATEX	0.794	DURA4	DURA4	DURATEX	0.711	DURA4
DURA4	DURATEX	0.776	DURA4	ELET3	ELETROBRAS	0.927	ELET3	ELET3	ELETROBRAS	0.869	ELET3
ELET3	ELETROBRAS	1.047	ELET3	ELET6	ELETROBRAS	1.080	ELET6	ELET6	ELETROBRAS	0.929	ELET6
ELET6	ELETROBRAS	1.187	ELET6	ELPL6	ELETROPAULO	0.830	ELPL4	ELPL6	ELETROPAULO	0.694	ELPL4
ELPL6	ELETROPAULO	0.854	ELPL4	EMBR3	EMBRAER	0.791	EMBR3	EMBR3	EMBRAER	0.717	EMBR3
EMBR3	EMBRAER	0.892	EMBR3	GFS3	GAFISA	0.992	GFS3	GFS3	GAFISA	0.979	GFS3
GFS3	GAFISA	0.885	GFS3	GGBR4	GERDAU	2.591	GGBR4	GGBR4	GERDAU	2.865	GGBR4
GGBR4	GERDAU	2.594	GGBR4	GOAU4	GERDAU MET	0.812	GOAU4	GOAU4	GERDAU MET	0.869	GOAU4
GOAU4	GERDAU MET	0.879	GOAU4	GOLL4	GOL	1.227	GOLL4	GOLL4	GOL	0.988	GOLL4
GOLL4	GOL	1.570	GOLL4	ITAU4	ITAUBANCO	3.160	ITUB4	ITAU4	ITAUBANCO	3.191	ITUB4
ITAU4	ITAUBANCO	2.916	ITUB4	ITSA4	ITAUSA	2.437	ITSA4	ITSA4	ITAUSA	2.309	ITSA4
ITSA4	ITAUSA	2.356	ITSA4	JBSS3	JBS	0.604	JBSS3	JBSS3	JBS	0.583	JBSS3
KLBN4	KLABIN S/A	0.579	KLBN4	KLBN4	KLABIN S/A	0.478	KLBN4	KLBN4	KLABIN S/A	0.398	KLBN4
LAME4	LOJAS AMERIC	0.884	LAME4	LAME4	LOJAS AMERIC	1.124	LAME4	LAME4	LOJAS AMERIC	1.269	LAME4
LIGT3	LIGHT S/A	0.394	LIGT3	LIGT3	LIGHT S/A	0.279	LIGT3	LIGT3	LIGHT S/A	0.231	LIGT3
LREN3	LOJAS RENNER	1.116	LREN3	LREN3	LOJAS RENNER	1.071	LREN3	LREN3	LOJAS RENNER	0.956	LREN3
NATU3	NATURA	1.192	NATU3	NATU3	NATURA	0.890	NATU3	NATU3	NATURA	0.721	NATU3
NETC4	NET	1.770	NETC4	NETC4	NET	1.562	NETC4	NETC4	NET	1.249	NETC4
PCAR4	P.ACUCAR-CBD	0.766	PCAR4	PCAR4	P.ACUCAR-CBD	0.730	PCAR4	PCAR4	P.ACUCAR-CBD	0.618	PCAR4
PETR3	PETROBRAS	2.446	PETR3	PETR3	PETROBRAS	2.640	PETR3	PETR3	PETROBRAS	2.821	PETR3
PETR4	PETROBRAS	13.550	PETR4	PETR4	PETROBRAS	14.138	PETR4	PETR4	PETROBRAS	15.386	PETR4
PRGA3	PERDIGAO S/A	1.119	BRFS3	PRGA3	PERDIGAO S/A	1.104	BRFS3	PRGA3	PERDIGAO S/A	1.000	BRFS3
PTIP4	IPIRANGA PET	0.274	PTIP4	RSID3	ROSSI RESID	0.541	RSID3	RDCD3	REDECARD	0.868	RDCD3
SBSP3	SABESP	0.608	SBSP3	SBSP3	SABESP	0.540	SBSP3	RSID3	ROSSI RESID	0.581	RSID3
SDIA4	SADIA S/A	0.973	SDIA4	SDIA4	SADIA S/A	1.000	SDIA4	SBSP3	SABESP	0.435	SBSP3
TAMM4	TAM S/A	1.468	TAMM4	TAMM4	TAM S/A	1.129	TAMM4	SDIA4	SADIA S/A	1.039	SDIA4
TCSL3	TIM PART S/A	0.461	TIMP3	TCSL3	TIM PART S/A	0.333	TIMP3	TAMM4	TAM S/A	0.818	TAMM4
TCSL4	TIM PART S/A	1.169	TCSL4	TCSL4	TIM PART S/A	0.993	TCSL4	TCSL3	TIM PART S/A	0.236	TIMP3
TLPP4	TELESP	0.294	VIVT4	TLPP4	TELESP	0.259	VIVT4	TCSL4	TIM PART S/A	0.815	TCSL4
TMAR5	TELEMAR N L	0.303	TMAR5	TMAR5	TELEMAR N L	0.264	TMAR5	TLPP4	TELESP	0.190	VIVT4
TMCP4	TELEMIG PART	0.239	TMCP4	TMCP4	TELEMIG PART	0.186	TMCP4	TMAR5	TELEMAR N L	0.249	TMAR5
TNLP3	TELEMAR	0.795	TNLP3	TNLP3	TELEMAR	0.636	TNLP3	TNLP3	TELEMAR	0.464	TNLP3
TNLP4	TELEMAR	1.783	TNLP4	TNLP4	TELEMAR	1.52	TNLP4	TNLP4	TELEMAR	1.180	TNLP4
TRPL4	TRAN PAULIST	0.383	TRPL4	TRPL4	TRAN PAULIST	0.343	TRPL4	TRPL4	TRAN PAULIST	0.335	TRPL4
UBBR11	UNIBANCO	2.591	UBBR11	UBBR11	UNIBANCO	2.781	UBBR11	UBBR11	UNIBANCO	2.426	UBBR11
USIM5	USIMINAS	3.221	USIM5	UGPA4	ULTRAPAR	0.479	UGPA4	UGPA4	ULTRAPAR	0.406	UGPA4
VALE3	VALE R DOCE	3.143	VALE3	USIM3	USIMINAS	0.56	USIM3	USIM3	USIMINAS	0.565	USIM3
VALE5	VALE R DOCE	12.019	VALE5	USIM5	USIMINAS	3.062	USIM5	USIM5	USIMINAS	3.035	USIM5
VCPA4	V C P	0.756	VCPA4	VALE3	VALE R DOCE	3.348	VALE3	VALE3	VALE R DOCE	3.270	VALE3
VIVO4	VIVO	1.003	VIVO4	VALE5	VALE R DOCE	12.748	VALE5	VALE5	VALE R DOCE	12.638	VALE5
				VCPA4	V C P	0.703	VCPA4	VCPA4	V C P	0.683	VCPA4
				VIVO4	VIVO	0.861	VIVO4	VIVO4	VIVO	0.740	VIVO4

2007 - 1º quadrimestre				2007 - 2º quadrimestre				2007 - 3º quadrimestre			
Código	Nome	Peso (%)	Atual	Código	Nome	Peso (%)	Atual	Código	Nome	Peso (%)	Atual
ACES4	ACESITA	0.261	ACES4	ACES4	ACESITA	0.213	ACES4	ACES4	ACESITA	0.176	ACES4
ALLL11	ALL AMER LAT	1.148	ALLL11	ALLL11	ALL AMER LAT	1.678	ALLL11	ALLL11	ALL AMER LAT	1.984	ALLL11
AMBV4	AMBEV	1.308	AMBV4	AMBV4	AMBEV	1.272	AMBV4	AMBV4	AMBEV	1.309	AMBV4
ARCE3	ARCELOR BR	1.622	ARCE3	ARCE3	ARCELOR BR	1.305	ARCE3	ARCZ6	ARACRUZ	0.944	ARCZ6
ARCZ6	ARACRUZ	0.892	ARCZ6	ARCZ6	ARACRUZ	0.934	ARCZ6	BBAS3	BRASIL	1.712	BBAS3
BBAS3	BRASIL	1.597	BBAS3	BBAS3	BRASIL	1.697	BBAS3	BBDC4	BRADESCO	3.929	BBDC4
BBDC4	BRADESCO	4.537	BBDC4	BBDC4	BRADESCO	4.137	BBDC4	BRAP4	BRADESPAR	1.464	BRAP4
BRAP4	BRADESPAR	1.409	BRAP4	BRAP4	BRADESPAR	1.449	BRAP4	BRKM5	BRASKEM	1.345	BRKM5
BRKM5	BRASKEM	1.846	BRKM5	BRKM5	BRASKEM	1.536	BRKM5	BRTO4	BRASIL TELEC	0.952	OIBR4
BRTO4	BRASIL TELEC	1.107	OIBR4	BRTO4	BRASIL TELEC	0.981	OIBR4	BRTTP3	BRASIL T PAR	0.425	BRTTP3
BRTTP3	BRASIL T PAR	0.472	BRTTP3	BRTTP3	BRASIL T PAR	0.449	BRTTP3	BRTTP4	BRASIL T PAR	0.711	BRTTP4
BRTTP4	BRASIL T PAR	0.674	BRTTP4	BRTTP4	BRASIL T PAR	0.674	BRTTP4	BTOW3	B2W VAREJO	1.369	BTOW3

Continuação

2007 - 1º quadrimestre				2007 - 2º quadrimestre				2007 - 3º quadrimestre			
Código	Nome	Peso (%)	Atual	Código	Nome	Peso (%)	Atual	Código	Nome	Peso (%)	Atual
CCRO3	CCR RODOVIAS	1.130	CCRO3	CCRO3	CCR RODOVIAS	1.119	CCRO3	CCPR3	CYRE COM-CCP	0.144	CCPR3
CESP6	CESP	0.625	CESP6	CESP6	CESP	0.797	CESP6	CCRO3	CCR RODOVIAS	1.103	CCRO3
CGAS5	COMGAS	0.301	CGAS5	CGAS5	COMGAS	0.269	CGAS5	CESP6	CESP	1.137	CESP6
CLSC6	CELESC	0.506	CLSC4	CLSC6	CELESC	0.410	CLSC4	CGAS5	COMGAS	0.257	CGAS5
CMIG4	CEMIG	2.108	CMIG4	CMIG4	CEMIG	1.883	CMIG4	CLSC6	CELESC	0.330	CLSC4
CPL6	COPEL	1.272	CPL6	CPFE3	CPFL ENERGIA	0.794	CPFE3	CMIG4	CEMIG	1.808	CMIG4
CRUZ3	SOUZA CRUZ	0.543	CRUZ3	CPL6	COPEL	1.111	CPL6	CPFE3	CPFL ENERGIA	0.875	CPFE3
CSAN3	COSAN	1.749	CSAN3	CRUZ3	SOUZA CRUZ	0.551	CRUZ3	CPL6	COPEL	1.024	CPL6
CSNA3	SID NACIONAL	2.523	CSNA3	CSAN3	COSAN	1.821	CSAN3	CRUZ3	SOUZA CRUZ	0.526	CRUZ3
CYRE3	CYRELA REALT	0.725	CYRE3	CSNA3	SID NACIONAL	2.339	CSNA3	CSAN3	COSAN	1.850	CSAN3
ELET3	ELETROBRAS	1.403	ELET3	CYRE3	CYRELA REALT	1.002	CYRE3	CSNA3	SID NACIONAL	2.284	CSNA3
ELET6	ELETROBRAS	1.864	ELET6	ELET3	ELETROBRAS	1.348	ELET3	CYRE3	CYRELA REALT	1.115	CYRE3
ELPL6	ELETROPAULO	0.515	ELPL4	ELET6	ELETROBRAS	1.635	ELET6	DURA4	DURATEX	0.642	DURA4
EMBR3	EMBRAER	1.122	EMBR3	ELPL6	ELETROPAULO	0.614	ELPL4	ELET3	ELETROBRAS	1.292	ELET3
GGBR4	GERDAU	2.653	GGBR4	EMBR3	EMBRAER	1.034	EMBR3	ELET6	ELETROBRAS	1.507	ELET6
GOAU4	GERDAU MET	1.081	GOAU4	GGBR4	GERDAU	2.632	GGBR4	ELPL6	ELETROPAULO	0.852	ELPL4
GOLL4	GOL	1.050	GOLL4	GOAU4	GERDAU MET	1.028	GOAU4	EMBR3	EMBRAER	0.982	EMBR3
ITAU3	ITAUBANCO	3.312	ITUB4	GOLL4	GOL	1.409	GOLL4	GFA3	GAFISA	0.661	GFA3
ITSA4	ITAUSA	1.762	ITSA4	ITAU4	ITAUBANCO	3.157	ITUB4	GGBR4	GERDAU	2.543	GGBR4
KLBN4	KLABIN S/A	0.559	KLBN4	ITSA4	ITAUSA	1.953	ITSA4	GOAU4	GERDAU MET	0.926	GOAU4
LIGT3	LIGHT S/A	0.722	LIGT3	KLBN4	KLABIN S/A	0.584	KLBN4	GOLL4	GOL	1.672	GOLL4
NATU3	NATURA	1.026	NATU3	LIGT3	LIGHT S/A	0.514	LIGT3	ITAU4	ITAUBANCO	2.859	ITUB4
NETC4	NET	1.905	NETC4	LREN3	LOJAS RENNER	0.732	LREN3	ITSA4	ITAUSA	2.108	ITSA4
PCAR4	P.ACUCAR-CBD	0.819	PCAR4	NATU3	NATURA	1.231	NATU3	KLBN4	KLABIN S/A	0.608	KLBN4
PETR3	PETROBRAS	2.472	PETR3	NETC4	NET	1.823	NETC4	LAME4	LOJAS AMERIC	0.745	LAME4
PETR4	PETROBRAS	13.795	PETR4	PCAR4	P.ACUCAR-CBD	0.813	PCAR4	LIGT3	LIGHT S/A	0.470	LIGT3
PRGA3	PERDIGAO S/A	1.039	BRFS3	PETR3	PETROBRAS	2.435	PETR3	LREN3	LOJAS RENNER	0.919	LREN3
PTIP4	IPIRANGA PET	0.423	PTIP4	PETR4	PETROBRAS	13.850	PETR4	NATU3	NATURA	1.280	NATU3
SBSP3	SABESP	0.751	SBSP3	PRGA3	PERDIGAO S/A	1.115	BRFS3	NETC4	NET	1.771	NETC4
SDIA4	SADIA S/A	1.110	SDIA4	PTIP4	IPIRANGA PET	0.386	PTIP4	PCAR4	P.ACUCAR-CBD	0.821	PCAR4
SUBA3	SUBMARINO	0.903	SUBA3	SBSP3	SABESP	0.712	SBSP3	PETR3	PETROBRAS	2.461	PETR3
TAMM4	TAM S/A	1.312	TAMM4	SDIA4	SADIA S/A	0.976	SDIA4	PETR4	PETROBRAS	13.688	PETR4
TCSL3	TIM PART S/A	0.490	TIMP3	SUBA3	SUBMARINO	1.167	SUBA3	PRGA3	PERDIGAO S/A	1.128	BRFS3
TCSL4	TIM PART S/A	1.186	TCSL4	TAMM4	TAM S/A	1.590	TAMM4	PTIP4	IPIRANGA PET	0.329	PTIP4
TLPP4	TELESP	0.363	VIVT4	TCSL3	TIM PART S/A	0.576	TIMP3	SBSP3	SABESP	0.676	SBSP3
TMAR5	TELEMAR N L	0.671	TMAR5	TCSL4	TIM PART S/A	1.214	TCSL4	SDIA4	SADIA S/A	0.930	SDIA4
TMCP4	TELEMIG PART	0.466	TMCP4	TLPP4	TELESP	0.335	VIVT4	TAMM4	TAM S/A	1.726	TAMM4
TNLP3	TELEMAR	1.643	TNLP3	TMAR5	TELEMAR N L	0.544	TMAR5	TCSL3	TIM PART S/A	0.583	TIMP3
TNLP4	TELEMAR	3.580	TNLP4	TMCP4	TELEMIG PART	0.370	TMCP4	TCSL4	TIM PART S/A	1.249	TCSL4
TRPL4	TRAN PAULIST	0.420	TRPL4	TNLP3	TELEMAR	1.582	TNLP3	TLPP4	TELESP	0.329	VIVT4
UBBR11	UNIBANCO	1.922	UBBR11	TNLP4	TELEMAR	3.036	TNLP4	TMAR5	TELEMAR N L	0.352	TMAR5
USIM5	USIMINAS	4.120	USIM5	TRPL4	TRAN PAULIST	0.406	TRPL4	TMCP4	TELEMIG PART	0.325	TMCP4
VALE3	VALE R DOCE	2.446	VALE3	UBBR11	UNIBANCO	1.946	UBBR11	TNLP3	TELEMAR	1.174	TNLP3
VALE5	VALE R DOCE	9.954	VALE5	USIM5	USIMINAS	3.999	USIM5	TNLP4	TELEMAR	2.289	TNLP4
VCPA4	V C P	0.860	VCPA4	VALE3	VALE R DOCE	2.647	VALE3	TRPL4	TRAN PAULIST	0.404	TRPL4
VIVO4	VIVO	1.893	VIVO4	VALE5	VALE R DOCE	9.786	VALE5	UBBR11	UNIBANCO	2.278	UBBR11
				VCPA4	V C P	0.848	VCPA4	USIM5	USIMINAS	3.412	USIM5
				VIVO4	VIVO	1.521	VIVO4	VALE3	VALE R DOCE	2.720	VALE3
								VALE5	VALE R DOCE	10.425	VALE5
								VCPA4	V C P	0.805	VCPA4
								VIVO4	VIVO	1.257	VIVO4

2006 - 1º quadrimestre				2006 - 2º quadrimestre				2006 - 3º quadrimestre			
Código	Nome	Peso (%)	Atual	Código	Nome	Peso (%)	Atual	Código	Nome	Peso (%)	Atual
ACES4	ACESITA	0.810	ACES4	ACES4	ACESITA	0.511	ACES4	ACES4	ACESITA	0.368	ACES4
AMBV4	AMBEV	1.248	AMBV4	AMBV4	AMBEV	1.233	AMBV4	ALLL11	ALL AMER LAT	0.718	ALLL11
ARCE3	ARCELOR BR	1.491	ARCE3	ARCE3	ARCELOR BR	1.723	ARCE3	AMBV4	AMBEV	1.280	AMBV4
ARCZ6	ARACRUZ	0.938	ARCZ6	ARCZ6	ARACRUZ	0.932	ARCZ6	ARCE3	ARCELOR BR	1.671	ARCE3

Continuação

2006 - 1º quadrimestre				2006 - 2º quadrimestre				2006 - 3º quadrimestre			
Código	Nome	Peso (%)	Atual	Código	Nome	Peso (%)	Atual	Código	Nome	Peso (%)	Atual
BBAS3	BRASIL	0.988	BBAS3	BBAS3	BRASIL	0.934	BBAS3	ARCZ6	ARACRUZ	0.889	ARCZ6
BBDC4	BRADESCO	3.777	BBDC4	BBDC4	BRADESCO	4.258	BBDC4	BBAS3	BRASIL	1.317	BBAS3
BRAP4	BRADESPAR	1.109	BRAP4	BRAP4	BRADESPAR	1.253	BRAP4	BBDC4	BRADESCO	4.814	BBDC4
BRKM5	BRASKEM	2.913	BRKM5	BRKM5	BRASKEM	2.934	BRKM5	BRAP4	BRADESPAR	1.398	BRAP4
BRTO4	BRASIL TELEC	2.207	OIBR4	BRTO4	BRASIL TELEC	1.796	OIBR4	BRKM5	BRASKEM	2.416	BRKM5
BRTP3	BRASIL T PAR	0.604	BRTP3	BRTP3	BRASIL T PAR	0.590	BRTP3	BRTO4	BRASIL TELEC	1.372	OIBR4
BRTP4	BRASIL T PAR	0.905	BRTP4	BRTP4	BRASIL T PAR	0.783	BRTP4	BRTP3	BRASIL T PAR	0.483	BRTP3
CESP4	CESP	0.391	CESP5	CCRO3	CCR RODOVIAS	0.819	CCRO3	BRTP4	BRASIL T PAR	0.684	BRTP4
CGAS5	COMGAS	0.389	CGAS5	CESP4	CESP	0.427	CESP5	CCRO3	CCR RODOVIAS	0.969	CCRO3
CLSC6	CELESC	0.792	CLSC4	CGAS5	COMGAS	0.378	CGAS5	CESP6	CESP	0.459	CESP6
CMET4	CAEMI	4.128	CMET4	CLSC6	CELESC	0.767	CLSC4	CGAS5	COMGAS	0.328	CGAS5
CMIG3	CEMIG	0.187	CMIG3	CMET4	CAEMI	3.616	CMET4	CLSC6	CELESC	0.603	CLSC4
CMIG4	CEMIG	2.327	CMIG4	CMIG3	CEMIG	0.187	CMIG3	CMIG3	CEMIG	0.158	CMIG3
CPL6	COPEL	1.305	CPL6	CMIG4	CEMIG	2.177	CMIG4	CMIG4	CEMIG	2.162	CMIG4
CRTP5	CRT CELULAR	0.322	CRTP5	CPL6	COPEL	1.375	CPL6	CPL6	COPEL	1.390	CPL6
CRUZ3	SOUZA CRUZ	0.576	CRUZ3	CRUZ3	SOUZA CRUZ	0.566	CRUZ3	CRUZ3	SOUZA CRUZ	0.572	CRUZ3
CSNA3	SID NACIONAL	4.229	CSNA3	CSNA3	SID NACIONAL	3.659	CSNA3	CSNA3	SID NACIONAL	2.985	CSNA3
CTAX3	CONTAX	0.036	CTAX3	CTAX3	CONTAX	0.035	CTAX3	EBTP4	EMBRATEL PAR	1.728	EBTP4
CTAX4	CONTAX	0.250	CTAX4	CTAX4	CONTAX	0.202	CTAX4	ELET3	ELETROBRAS	1.324	ELET3
EBTP4	EMBRATEL PAR	2.188	EBTP4	EBTP4	EMBRATEL PAR	2.125	EBTP4	ELET6	ELETROBRAS	2.064	ELET6
ELET3	ELETROBRAS	1.276	ELET3	ELET3	ELETROBRAS	1.255	ELET3	ELPL5	ELETROPAULO	0.374	ELPL5
ELET6	ELETROBRAS	2.754	ELET6	ELET6	ELETROBRAS	2.462	ELET6	EMBR3	EMBRAER	1.140	EMBR3
ELPL4	ELETROPAULO	0.491	ELPL4	ELPL4	ELETROPAULO	0.463	ELPL4	GGBR4	GERDAU	2.882	GGBR4
EMBR3	EMBRAER	0.401	EMBR3	EMBR3	EMBRAER	0.390	EMBR3	GOAU4	GERDAU MET	1.141	GOAU4
EMBR4	EMBRAER	0.857	EMBR4	EMBR4	EMBRAER	0.801	EMBR4	ITAU4	ITAUBANCO	3.454	ITUB4
GGBR4	GERDAU	3.512	GGBR4	GGBR4	GERDAU	3.160	GGBR4	ITSA4	ITAUSA	1.771	ITSA4
GOAU4	GERDAU MET	1.164	GOAU4	GOAU4	GERDAU MET	1.157	GOAU4	KLBN4	KLABIN S/A	0.537	KLBN4
ITAU4	ITAUBANCO	2.769	ITUB4	ITAU4	ITAUBANCO	2.830	ITUB4	LIGT3	LIGHT S/A	0.706	LIGT3
ITSA4	ITAUSA	1.636	ITSA4	ITSA4	ITAUSA	1.605	ITSA4	NATU3	NATURA	0.718	NATU3
KLBN4	KLABIN S/A	0.535	KLBN4	KLBN4	KLABIN S/A	0.557	KLBN4	NETC4	NET	2.170	NETC4
LIGH3	LIGHT	0.277	LIGT3	LIGT3	LIGHT S/A	0.612	LIGT3	PCAR4	P.ACUCAR-CBD	0.712	PCAR4
NETC4	NET	2.176	NETC4	NETC4	NET	2.260	NETC4	PETR3	PETROBRAS	2.229	PETR3
PETR3	PETROBRAS	2.002	PETR3	PETR3	PETROBRAS	2.122	PETR3	PETR4	PETROBRAS	13.086	PETR4
PETR4	PETROBRAS	9.226	PETR4	PETR4	PETROBRAS	11.278	PETR4	PRGA3	PERDIGAO S/A	0.941	BRFS3
PTIP4	IPIRANGA PET	0.695	PTIP4	PRGA3	PERDIGAO S/A	0.762	BRFS3	PTIP4	IPIRANGA PET	0.503	PTIP4
SBSP3	SABESP	0.862	SBSP3	PTIP4	IPIRANGA PET	0.589	PTIP4	SBSP3	SABESP	0.759	SBSP3
SDIA4	SADIA S/A	1.189	SDIA4	SBSP3	SABESP	0.774	SBSP3	SDIA4	SADIA S/A	1.336	SDIA4
TCOC4	TELE CTR OES	0.626	TCOC4	SDIA4	SADIA S/A	1.236	SDIA4	TAMM4	TAM S/A	0.821	TAMM4
TCSL3	TIM PART S/A	0.319	TIMP3	TCSL3	TIM PART S/A	0.333	TIMP3	TCSL3	TIM PART S/A	0.346	TIMP3
TCSL4	TIM PART S/A	0.968	TCSL4	TCSL4	TIM PART S/A	1.039	TCSL4	TCSL4	TIM PART S/A	1.086	TCSL4
TLCP4	TELE LEST CL	0.159	TLCP4	TLPP4	TELESP	0.459	VIVT4	TLPP4	TELESP	0.402	VIVT4
TLPP4	TELESP	0.525	VIVT4	TMAR5	TELEMAR N L	0.984	TMAR5	TMAR5	TELEMAR N L	0.817	TMAR5
TMAR5	TELEMAR N L	1.079	TMAR5	TMCP4	TELEMIG PART	0.560	TMCP4	TMCP4	TELEMIG PART	0.501	TMCP4
TMCP4	TELEMIG PART	0.639	TMCP4	TNLP3	TELEMAR	1.163	TNLP3	TNLP3	TELEMAR	1.357	TNLP3
TNLP3	TELEMAR	1.175	TNLP3	TNLP4	TELEMAR	6.567	TNLP4	TNLP4	TELEMAR	4.724	TNLP4
TNLP4	TELEMAR	8.117	TNLP4	TRPL4	TRAN PAULIST	0.495	TRPL4	TRPL4	TRAN PAULIST	0.413	TRPL4
TRPL4	TRAN PAULIST	0.491	TRPL4	UBBR11	UNIBANCO	1.623	UBBR11	UBBR11	UNIBANCO	1.880	UBBR11
TSPP4	TELESP CL PA	1.413	VIVO4	USIM5	USIMINAS	5.214	USIM5	USIM5	USIMINAS	4.489	USIM5
UBBR11	UNIBANCO	1.563	UBBR11	VALE3	VALE R DOCE	2.263	VALE3	VALE3	VALE R DOCE	2.517	VALE3
USIM5	USIMINAS	5.592	USIM5	VALE5	VALE R DOCE	8.401	VALE5	VALE5	VALE R DOCE	11.058	VALE5
VALE3	VALE R DOCE	2.188	VALE3	VCPA4	V C P	1.002	VCPA4	VCPA4	V C P	0.885	VCPA4
VALE5	VALE R DOCE	8.095	VALE5	VIVO4	VIVO	2.274	VIVO4	VIVO4	VIVO	2.062	VIVO4
VCPA4	V C P	1.084	VCPA4								

2005 - 1º quadrimestre				2005 - 2º quadrimestre				2005 - 3º quadrimestre			
Código	Nome	Peso (%)	Atual	Código	Nome	Peso (%)	Atual	Código	Nome	Peso (%)	Atual
ACES4	ACESITA	1.589	ACES4	ACES4	ACESITA	1.347	ACES4	ACES4	ACESITA	1.075	ACES4
AMBV4	AMBEV	2.502	AMBV4	AMBV4	AMBEV	1.707	AMBV4	AMBV4	AMBEV	1.358	AMBV4

Continuação

2005 - 1º quadrimestre				2005 - 2º quadrimestre				2005 - 3º quadrimestre			
Código	Nome	Peso (%)	Atual	Código	Nome	Peso (%)	Atual	Código	Nome	Peso (%)	Atual
ARCZ6	ARACRUZ	1.080	ARCZ6	ARCZ6	ARACRUZ	1.064	ARCZ6	ARCZ6	ARACRUZ	1.036	ARCZ6
BBAS3	BRASIL	0.831	BBAS3	BBAS3	BRASIL	0.949	BBAS3	BBAS3	BRASIL	0.999	BBAS3
BBDC4	BRADESCO	2.819	BBDC4	BBDC4	BRADESCO	2.930	BBDC4	BBDC4	BRADESCO	3.264	BBDC4
BRAP4	BRADESPAR	0.639	BRAP4	BRAP4	BRADESPAR	0.801	BRAP4	BRAP4	BRADESPAR	0.937	BRAP4
BRKM5	BRASKEM	1.779	BRKM5	BRKM5	BRASKEM	2.032	BRKM5	BRKM5	BRASKEM	2.652	BRKM5
BRTO4	BRASIL TELEC	2.293	OIBR4	BRTO4	BRASIL TELEC	2.384	OIBR4	BRTO4	BRASIL TELEC	2.281	OIBR4
BRT3	BRASIL T PAR	0.464	BRT3	BRT3	BRASIL T PAR	0.516	BRT3	BRT3	BRASIL T PAR	0.578	BRT3
BRT4	BRASIL T PAR	1.536	BRT4	BRT4	BRASIL T PAR	1.308	BRT4	BRT4	BRASIL T PAR	1.062	BRT4
CESP4	CESP	0.567	CESP5	CESP4	CESP	0.496	CESP5	CESP4	CESP	0.471	CESP5
CGAS5	COMGAS	0.450	CGAS5	CGAS5	COMGAS	0.431	CGAS5	CGAS5	COMGAS	0.436	CGAS5
CLSC6	CELESC	0.952	CLSC4	CLSC6	CELESC	0.916	CLSC4	CLSC6	CELESC	0.865	CLSC4
CMET4	CAEMI	2.016	CMET4	CMET4	CAEMI	3.123	CMET4	CMET4	CAEMI	3.944	CMET4
CMIG3	CEMIG	0.191	CMIG3	CMIG3	CEMIG	0.196	CMIG3	CMIG3	CEMIG	0.203	CMIG3
CMIG4	CEMIG	2.888	CMIG4	CMIG4	CEMIG	2.761	CMIG4	CMIG4	CEMIG	2.593	CMIG4
CPE6	COPEL	1.511	CPE6	CPE6	COPEL	1.374	CPE6	CPE6	COPEL	1.316	CPE6
CRTP5	CRT CELULAR	0.582	CRTP5	CRTP5	CRT CELULAR	0.561	CRTP5	CRTP5	CRT CELULAR	0.440	CRTP5
CRUZ3	SOUZA CRUZ	0.597	CRUZ3	CRUZ3	SOUZA CRUZ	0.564	CRUZ3	CRUZ3	SOUZA CRUZ	0.568	CRUZ3
CSNA3	SID NACIONAL	3.748	CSNA3	CSNA3	SID NACIONAL	4.231	CSNA3	CSNA3	SID NACIONAL	4.376	CSNA3
CSTB4	SID TUBARAO	1.399	CSTB4	CSTB4	SID TUBARAO	1.290	CSTB4	CSTB4	SID TUBARAO	1.314	CSTB4
EBTP4	EMBRATEL PAR	3.624	EBTP4	EBTP4	EMBRATEL PAR	2.963	EBTP4	CTAX3	CONTAX	0.036	CTAX3
ELET3	ELETOBRAS	1.460	ELET3	ELET3	ELETOBRAS	1.436	ELET3	CTAX4	CONTAX	0.280	CTAX4
ELET6	ELETOBRAS	3.372	ELET6	ELET6	ELETOBRAS	3.184	ELET6	EBTP4	EMBRATEL PAR	2.442	EBTP4
ELPL4	ELETROPAULO	0.748	ELPL4	ELPL4	ELETROPAULO	0.624	ELPL4	ELET3	ELETOBRAS	1.433	ELET3
EMBR3	EMBRAER	0.607	EMBR3	EMBR3	EMBRAER	0.554	EMBR3	ELET6	ELETOBRAS	3.102	ELET6
EMBR4	EMBRAER	1.527	EMBR4	EMBR4	EMBRAER	1.304	EMBR4	ELPL4	ELETROPAULO	0.575	ELPL4
GGBR4	GERDAU	3.311	GGBR4	GGBR4	GERDAU	3.770	GGBR4	EMBR3	EMBRAER	0.489	EMBR3
ITAU4	ITAUBANCO	2.729	ITUB4	GOAU4	GERDAU MET	1.023	GOAU4	EMBR4	EMBRAER	1.080	EMBR4
ITSA4	ITAUSA	1.145	ITSA4	ITAU4	ITAUBANCO	2.770	ITUB4	GGBR4	GERDAU	3.962	GGBR4
KLBN4	KLABIN S/A	0.606	KLBN4	ITSA4	ITAUSA	1.294	ITSA4	GOAU4	GERDAU MET	1.128	GOAU4
LIGH3	LIGHT	0.229	LIGT3	KLBN4	KLABIN S/A	0.570	KLBN4	ITAU4	ITAUBANCO	2.506	ITUB4
PETR3	PETROBRAS	2.530	PETR3	LIGH3	LIGHT	0.191	LIGT3	ITSA4	ITAUSA	1.429	ITSA4
PETR4	PETROBRAS	8.824	PETR4	NETC4	NET	0.000	NETC4	KLBN4	KLABIN S/A	0.526	KLBN4
PLIM4	NET	1.810	NETC4	PETR3	PETROBRAS	2.379	PETR3	LIGH3	LIGHT	0.196	LIGT3
PTIP4	IPIRANGA PET	0.389	PTIP4	PETR4	PETROBRAS	8.300	PETR4	NETC4	NET	1.786	NETC4
SBSP3	SABESP	1.083	SBSP3	PTIP4	IPIRANGA PET	0.526	PTIP4	PETR3	PETROBRAS	2.052	PETR3
TBLE3	TRACTEBEL	0.169	TBLE5	SBSP3	SABESP	1.011	SBSP3	PETR4	PETROBRAS	7.925	PETR4
TCOC4	TELE CTR OES	1.269	TCOC4	TBLE3	TRACTEBEL	0.140	TBLE5	PTIP4	IPIRANGA PET	0.642	PTIP4
TCSL3	TIM PART S/A	0.423	TIMP3	TCOC4	TELE CTR OES	0.997	TCOC4	SBSP3	SABESP	0.992	SBSP3
TCSL4	TIM PART S/A	1.773	TCSL4	TCSL3	TIM PART S/A	0.371	TIMP3	SDIA4	SADIA S/A	1.003	SDIA4
TLCP4	TELE LEST CL	0.271	TLCP4	TCSL4	TIM PART S/A	1.252	TCSL4	TCOC4	TELE CTR OES	0.799	TCOC4
TLPP4	TELESP	0.631	VIVT4	TLCP4	TELE LEST CL	0.260	TLCP4	TCSL3	TIM PART S/A	0.348	TIMP3
TMAR5	TELEMAR N L	1.326	TMAR5	TLPP4	TELESP	0.605	VIVT4	TCSL4	TIM PART S/A	1.035	TCSL4
TMCP4	TELEMIG PART	1.133	TMCP4	TMAR5	TELEMAR N L	1.241	TMAR5	TLCP4	TELE LEST CL	0.224	TLCP4
TNLP3	TELEMAR	1.286	TNLP3	TMCP4	TELEMIG PART	0.902	TMCP4	TLPP4	TELESP	0.562	VIVT4
TNLP4	TELEMAR	11.308	TNLP4	TNLP3	TELEMAR	1.301	TNLP3	TMAR5	TELEMAR N L	1.176	TMAR5
TRPL4	TRAN PAULIST	0.437	TRPL4	TNLP4	TELEMAR	10.590	TNLP4	TMCP4	TELEMIG PART	0.751	TMCP4
TSPP4	TELESP CL PA	3.561	VIVO4	TRPL4	TRAN PAULIST	0.435	TRPL4	TNLP3	TELEMAR	1.181	TNLP3
USIM5	USIMINAS	4.776	USIM5	TSPP4	TELESP CL PA	2.601	VIVO4	TNLP4	TELEMAR	9.080	TNLP4
VALE3	VALE R DOCE	1.348	VALE3	UBBR11	UNIBANCO	0.984	UBBR11	TRPL4	TRAN PAULIST	0.507	TRPL4
VALE5	VALE R DOCE	4.528	VALE5	USIM5	USIMINAS	5.156	USIM5	TSPP4	TELESP CL PA	1.875	VIVO4
VCPA4	V C P	1.294	VCPA4	VALE3	VALE R DOCE	1.640	VALE3	UBBR11	UNIBANCO	1.264	UBBR11
				VALE5	VALE R DOCE	5.791	VALE5	USIM5	USIMINAS	5.789	USIM5
				VCPA4	V C P	1.143	VCPA4	VALE3	VALE R DOCE	1.872	VALE3
								VALE5	VALE R DOCE	6.966	VALE5
								VCPA4	V C P	1.190	VCPA4

Continuação

2004 - 1º quadrimestre				2004 - 2º quadrimestre				2004 - 3º quadrimestre			
Código	Nome	Peso (%)	Atual	Código	Nome	Peso (%)	Atual	Código	Nome	Peso (%)	Atual
ACES4	ACESITA	1.063	ACES4	ACES4	ACESITA	1.272	ACES4	ACES4	ACESITA	1.481	ACES4
AMBV4	AMBEV	1.979	AMBV4	AMBV4	AMBEV	2.596	AMBV4	AMBV4	AMBEV	2.687	AMBV4
ARCZ6	ARACRUZ	0.788	ARCZ6	ARCZ6	ARACRUZ	0.882	ARCZ6	ARCZ6	ARACRUZ	0.968	ARCZ6
BBAS3	BRASIL	1.111	BBAS3	BBAS3	BRASIL	0.967	BBAS3	BBAS3	BRASIL	0.825	BBAS3
BBDC4	BRADESCO	4.715	BBDC4	BBDC4	BRADESCO	4.066	BBDC4	BBDC4	BRADESCO	3.235	BBDC4
BRAP4	BRADESPAR	0.491	BRAP4	BRAP4	BRADESPAR	0.465	BRAP4	BRAP4	BRADESPAR	0.503	BRAP4
BRKM5	BRASKEM	0.581	BRKM5	BRKM5	BRASKEM	1.101	BRKM5	BRKM5	BRASKEM	1.325	BRKM5
BRTO4	BRASIL TELEC	2.474	OIBR4	BRTO4	BRASIL TELEC	2.412	OIBR4	BRTO4	BRASIL TELEC	2.462	OIBR4
BRT3	BRASIL T PAR	0.418	BRT3	BRT3	BRASIL T PAR	0.416	BRT3	BRT3	BRASIL T PAR	0.438	BRT3
BRT4	BRASIL T PAR	2.009	BRT4	BRT4	BRASIL T PAR	1.822	BRT4	BRT4	BRASIL T PAR	1.703	BRT4
CESP4	CESP	0.492	CESP5	CESP4	CESP	0.532	CESP5	CESP4	CESP	0.558	CESP5
CGAS5	COMGAS	0.411	CGAS5	CGAS5	COMGAS	0.467	CGAS5	CGAS5	COMGAS	0.457	CGAS5
CLSC6	CELESC	0.606	CLSC4	CLSC6	CELESC	0.733	CLSC4	CLSC6	CELESC	0.947	CLSC4
CMIG3	CEMIG	0.124	CMIG3	CMIG3	CEMIG	0.140	CMIG3	CMET4	CAEMI	1.238	CMET4
CMIG4	CEMIG	3.091	CMIG4	CMIG4	CEMIG	3.089	CMIG4	CMIG3	CEMIG	0.167	CMIG3
CPE6	COPEL	1.968	CPE6	CPE6	COPEL	1.956	CPE6	CMIG4	CEMIG	2.956	CMIG4
CRTP5	CRT CELULAR	0.707	CRTP5	CRTP5	CRT CELULAR	0.690	CRTP5	CPE6	COPEL	1.700	CPE6
CRUZ3	SOUZA CRUZ	0.682	CRUZ3	CRUZ3	SOUZA CRUZ	0.636	CRUZ3	CRTP5	CRT CELULAR	0.802	CRTP5
CSNA3	SID NACIONAL	2.366	CSNA3	CSNA3	SID NACIONAL	2.615	CSNA3	CRUZ3	SOUZA CRUZ	0.594	CRUZ3
CSTB4	SID TUBARAO	1.060	CSTB4	CSTB4	SID TUBARAO	1.217	CSTB4	CSNA3	SID NACIONAL	3.141	CSNA3
EBTP3	EMBRATEL PAR	1.171	EBTP3	EBTP3	EMBRATEL PAR	1.269	EBTP3	CSTB4	SID TUBARAO	1.305	CSTB4
EBTP4	EMBRATEL PAR	5.911	EBTP4	EBTP4	EMBRATEL PAR	5.133	EBTP4	EBTP3	EMBRATEL PAR	1.176	EBTP3
ELET3	ELETOBRAS	1.088	ELET3	ELET3	ELETOBRAS	1.199	ELET3	EBTP4	EMBRATEL PAR	4.166	EBTP4
ELET6	ELETOBRAS	3.224	ELET6	ELET6	ELETOBRAS	3.220	ELET6	ELET3	ELETOBRAS	1.278	ELET3
ELPL4	ELETROPAULO	0.910	ELPL4	ELPL4	ELETROPAULO	0.891	ELPL4	ELET6	ELETOBRAS	3.201	ELET6
EMBR3	EMBRAER	0.744	EMBR3	EMBR3	EMBRAER	0.717	EMBR3	ELPL4	ELETROPAULO	0.861	ELPL4
EMBR4	EMBRAER	2.482	EMBR4	EMBR4	EMBRAER	2.030	EMBR4	EMBR3	EMBRAER	0.649	EMBR3
GGBR4	GERDAU	1.907	GGBR4	GGBR4	GERDAU	2.115	GGBR4	EMBR4	EMBRAER	1.649	EMBR4
ITAU4	ITAUBANCO	2.947	ITUB4	ITAU4	ITAUBANCO	2.739	ITUB4	GGBR4	GERDAU	2.493	GGBR4
ITSA4	ITAUSA	1.221	ITSA4	ITSA4	ITAUSA	1.131	ITSA4	ITAU4	ITAUBANCO	2.577	ITUB4
KLBN4	KLABIN S/A	0.479	KLBN4	KLBN4	KLABIN S/A	0.579	KLBN4	ITSA4	ITAUSA	1.069	ITSA4
LIGH3	LIGHT	0.242	LIGH3	LIGH3	LIGHT	0.265	LIGH3	KLBN4	KLABIN S/A	0.592	KLBN4
PETR3	PETROBRAS	2.431	PETR3	PETR3	PETROBRAS	2.390	PETR3	LIGH3	LIGHT	0.281	LIGH3
PETR4	PETROBRAS	8.581	PETR4	PETR4	PETROBRAS	8.484	PETR4	PETR3	PETROBRAS	2.513	PETR3
PLIM4	NET	1.651	NETC4	PLIM4	NET	2.027	NETC4	PETR4	PETROBRAS	8.610	PETR4
PTIP4	IPIRANGA PET	0.301	PTIP4	PTIP4	IPIRANGA PET	0.367	PTIP4	PLIM4	NET	2.335	NETC4
SBSP3	SABESP	1.337	SBSP3	SBSP3	SABESP	1.246	SBSP3	PTIP4	IPIRANGA PET	0.335	PTIP4
TBLE3	TRACTEBEL	0.255	TBLE5	TBLE3	TRACTEBEL	0.227	TBLE5	SBSP3	SABESP	1.057	SBSP3
TCOC4	TELE CTR OES	1.707	TCOC4	TCOC4	TELE CTR OES	1.767	TCOC4	TBLE3	TRACTEBEL	0.172	TBLE5
TCSL3	TELE CL SUL	0.377	TIMP3	TCSL3	TELE CL SUL	0.374	TIMP3	TCOC4	TELE CTR OES	1.853	TCOC4
TCSL4	TELE CL SUL	1.082	TCSL4	TCSL4	TELE CL SUL	1.118	TCSL4	TCSL3	TELE CL SUL	0.401	TIMP3
TLCP4	TELE LEST CL	0.322	TLCP4	TLCP4	TELE LEST CL	0.309	TLCP4	TCSL4	TELE CL SUL	1.100	TCSL4
TLPP4	TELESP	0.790	VIVT4	TLPP4	TELESP	0.753	VIVT4	TLCP4	TELE LEST CL	0.336	TLCP4
TMAR5	TELEMAR N L	1.958	TMAR5	TMAR5	TELEMAR N L	1.684	TMAR5	TLPP4	TELESP	0.669	VIVT4
TMCP4	TELEMIG PART	1.098	TMCP4	TMCP4	TELEMIG PART	1.176	TMCP4	TMAR5	TELEMAR N L	1.403	TMAR5
TNEP4	TELE NORD CL	0.910	TNEP4	TNEP4	TELE NORD CL	1.027	TNEP4	TMCP4	TELEMIG PART	1.210	TMCP4
TNLP3	TELEMAR	1.126	TNLP3	TNLP3	TELEMAR	1.188	TNLP3	TNEP4	TELE NORD CL	1.027	TNEP4
TNLP4	TELEMAR	13.791	TNLP4	TNLP4	TELEMAR	12.973	TNLP4	TNLP3	TELEMAR	1.275	TNLP3
TRPL4	TRAN PAULIST	0.399	TRPL4	TRPL4	TRAN PAULIST	0.443	TRPL4	TNLP4	TELEMAR	11.891	TNLP4
TSPP4	TELESP CL PA	4.534	VIVO4	TSPP4	TELESP CL PA	4.071	VIVO4	TRPL4	TRAN PAULIST	0.442	TRPL4
USIM5	USIMINAS	2.412	USIM5	USIM5	USIMINAS	3.115	USIM5	TSPP4	TELESP CL PA	3.762	VIVO4
VALE3	VALE R DOCE	1.217	VALE3	VALE3	VALE R DOCE	1.178	VALE3	USIM5	USIMINAS	3.979	USIM5
VALE5	VALE R DOCE	3.278	VALE5	VALE5	VALE R DOCE	3.454	VALE5	VALE3	VALE R DOCE	1.192	VALE3
VCPA4	V C P	0.952	VCPA4	VCPA4	V C P	1.245	VCPA4	VALE5	VALE R DOCE	3.713	VALE5
								VCPA4	V C P	1.218	VCPA4

Continuação

2002 - 1º quadrimestre				2002 - 2º quadrimestre				2002 - 3º quadrimestre			
Código	Nome	Peso (%)	Atual	Código	Nome	Peso (%)	Atual	Código	Nome	Peso (%)	Atual
ACES4	ACESITA	0.756	ACES4	ACES4	ACESITA	0.636	ACES4	ACES4	ACESITA	0.554	ACES4
AMBV4	AMBEV	1.514	AMBV4	AMBV4	AMBEV	1.709	AMBV4	AMBV4	AMBEV	1.746	AMBV4
ARCZ6	ARACRUZ	0.609	ARCZ6	ARCZ6	ARACRUZ	0.528	ARCZ6	ARCZ6	ARACRUZ	0.566	ARCZ6
BBAS3	BRASIL	0.301	BBAS3	BBAS3	BRASIL	0.335	BBAS3	BBAS3	BRASIL	0.353	BBAS3
BBAS4	BRASIL	1.397	BBAS4	BBAS4	BRASIL	1.442	BBAS4	BBAS4	BRASIL	1.470	BBAS4
BBDC4	BRADESCO	5.050	BBDC4	BBDC4	BRADESCO	4.745	BBDC4	BBDC4	BRADESCO	5.207	BBDC4
BRAP4	BRADESPAR	0.942	BRAP4	BRAP4	BRADESPAR	0.779	BRAP4	BRAP4	BRADESPAR	0.664	BRAP4
BRDT4	PETROBRAS BR	0.449	BRDT4	BRDT4	PETROBRAS BR	0.492	BRDT4	BRDT4	PETROBRAS BR	0.514	BRDT4
CESP4	CESP	0.938	CESP5	CESP4	CESP	0.844	CESP5	BRKM5	BRASKEM	0.319	BRKM5
CGAS5	COMGAS	0.797	CGAS5	CGAS5	COMGAS	0.484	CGAS5	BRT04	BRASIL TELEC	2.582	OIBR4
CLSC6	CELESC	0.470	CLSC4	CLSC6	CELESC	0.495	CLSC4	BRTP3	BRASIL T PAR	0.600	BRTP3
CMIG3	CEMIG	0.197	CMIG3	CMIG3	CEMIG	0.173	CMIG3	BRTP4	BRASIL T PAR	2.771	BRTP4
CMIG4	CEMIG	2.520	CMIG4	CMIG4	CEMIG	2.728	CMIG4	CESP4	CESP	0.638	CESP5
CPLE6	COPEL	1.246	CPLE6	CPLE6	COPEL	1.310	CPLE6	CGAS5	COMGAS	0.343	CGAS5
CPNE5	COPENE	0.345	BRKM5	CPNE5	COPENE	0.369	BRKM5	CLSC6	CELESC	0.535	CLSC4
CRTP5	CRT CELULAR	1.207	CRTP5	CRTP5	CRT CELULAR	0.976	CRTP5	CMIG3	CEMIG	0.162	CMIG3
CRUZ3	SOUZA CRUZ	0.683	CRUZ3	CRUZ3	SOUZA CRUZ	0.614	CRUZ3	CMIG4	CEMIG	2.784	CMIG4
CSNA3	SID NACIONAL	0.915	CSNA3	CSNA3	SID NACIONAL	0.957	CSNA3	CPLE6	COPEL	1.420	CPLE6
CSTB4	SID TUBARAO	0.384	CSTB4	CSTB4	SID TUBARAO	0.438	CSTB4	CRTP5	CRT CELULAR	0.801	CRTP5
EBTP3	EMBRATEL PAR	1.692	EBTP3	EBTP3	EMBRATEL PAR	1.377	EBTP3	CRUZ3	SOUZA CRUZ	0.723	CRUZ3
EBTP4	EMBRATEL PAR	4.612	EBTP4	EBTP4	EMBRATEL PAR	4.615	EBTP4	CSNA3	SID NACIONAL	1.442	CSNA3
ELET3	ELETOBRAS	1.548	ELET3	ELET3	ELETOBRAS	1.418	ELET3	CSTB4	SID TUBARAO	0.501	CSTB4
ELET6	ELETOBRAS	3.284	ELET6	ELET6	ELETOBRAS	3.460	ELET6	EBTP3	EMBRATEL PAR	0.926	EBTP3
ELPL4	ELETROPAULO	0.709	ELPL4	ELPL4	ELETROPAULO	0.864	ELPL4	EBTP4	EMBRATEL PAR	4.646	EBTP4
EMBR3	EMBRAER	1.306	EMBR3	EMBR3	EMBRAER	1.097	EMBR3	ELET3	ELETOBRAS	1.251	ELET3
EMBR4	EMBRAER	1.715	EMBR4	EMBR4	EMBRAER	2.434	EMBR4	ELET6	ELETOBRAS	3.560	ELET6
GGBR4	GERDAU	0.719	GGBR4	GGBR4	GERDAU	0.838	GGBR4	ELPL4	ELETROPAULO	0.876	ELPL4
GRSU3	GERASUL	0.265	egie3	INEP4	INEPAR	0.276	INEP4	EMBR3	EMBRAER	0.929	EMBR3
INEP4	INEPAR	0.319	INEP4	ITAU4	ITAUBANCO	2.978	ITUB4	EMBR4	EMBRAER	2.733	EMBR4
ITAU4	ITAUBANCO	2.587	ITUB4	ITSA4	ITAUSA	1.436	ITSA4	GGBR4	GERDAU	1.073	GGBR4
ITSA4	ITAUSA	1.423	ITSA4	KLBN4	KLABIN S/A	0.217	KLBN4	INEP4	INEPAR	0.201	INEP4
KLBN4	KLABIN S/A	0.225	KLBN4	LIGH3	LIGHT	0.294	LIGT3	ITAU4	ITAUBANCO	3.532	ITUB4
LIGH3	LIGHT	0.321	LIGT3	PETR3	PETROBRAS	2.965	PETR3	ITSA4	ITAUSA	1.591	ITSA4
PETR3	PETROBRAS	2.964	PETR3	PETR4	PETROBRAS	9.155	PETR4	KLBN4	KLABIN S/A	0.209	KLBN4
PETR4	PETROBRAS	9.103	PETR4	PLIM4	GLOBO CABO	3.335	NETC4	LIGH3	LIGHT	0.250	LIGT3
PLIM4	GLOBO CABO	3.953	NETC4	PTIP4	IPIRANGA PET	0.170	PTIP4	PETR3	PETROBRAS	3.156	PETR3
PTIP4	IPIRANGA PET	0.159	PTIP4	SBSP3	SABESP	0.756	SBSP3	PETR4	PETROBRAS	9.153	PETR4
SBSP3	SABESP	0.717	SBSP3	TBLE3	TRACTEBEL	0.289	TBLE5	PLIM4	NET	2.242	NETC4
TCOC4	TELE CTR OES	1.499	TCOC4	TCOC4	TELE CTR OES	1.635	TCOC4	PTIP4	IPIRANGA PET	0.189	PTIP4
TCSL3	TELE CL SUL	0.493	TIMP3	TCSL3	TELE CL SUL	0.451	TIMP3	SBSP3	SABESP	1.040	SBSP3
TCSL4	TELE CL SUL	1.283	TCSL4	TCSL4	TELE CL SUL	1.162	TCSL4	TBLE3	TRACTEBEL	0.310	TBLE5
TCSP3	BRASIL T PAR	0.815	BRTP3	TCSP3	BRASIL T PAR	0.680	BRTP3	TCOC4	TELE CTR OES	1.920	TCOC4
TCSP4	BRASIL T PAR	3.251	BRTP4	TCSP4	BRASIL T PAR	2.928	BRTP4	TCSL3	TELE CL SUL	0.375	TIMP3
TDBH4	TEF DATA BRA	0.108	TDBH4	TDBH4	TEF DATA BRA	0.104	TDBH4	TCSL4	TELE CL SUL	1.084	TCSL4
TEPR4	BRASIL TELEC	2.829	OIBR4	TEPR4	BRASIL TELEC	2.766	OIBR4	TLCP4	TELE LEST CL	0.647	TLCP4
TLCP4	TELE LEST CL	0.866	TLCP4	TLCP4	TELE LEST CL	0.776	TLCP4	TLPP4	TELESP	0.879	VIVT4
TLPP4	TELESP	0.729	VIVT4	TLPP4	TELESP	0.798	VIVT4	TMAR5	TELEMAR N L	2.119	TMAR5
TMAR5	TELEMAR N L	1.367	TMAR5	TMAR5	TELEMAR N L	1.872	TMAR5	TMCP4	TELEMIG PART	1.367	TMCP4
TMCP4	TELEMIG PART	1.511	TMCP4	TMCP4	TELEMIG PART	1.358	TMCP4	TNEP4	TELE NORD CL	1.308	TNEP4
TNEP4	TELE NORD CL	1.384	TNEP4	TNEP4	TELE NORD CL	1.525	TNEP4	TNLP3	TELEMAR	1.094	TNLP3
TNLP3	TELEMAR	1.285	TNLP3	TNLP3	TELEMAR	1.172	TNLP3	TNLP4	TELEMAR	13.838	TNLP4
TNLP4	TELEMAR	13.096	TNLP4	TNLP4	TELEMAR	13.579	TNLP4	TRPL4	TRAN PAULIST	0.507	TRPL4
TRPL4	TRAN PAULIST	0.704	TRPL4	TRPL4	TRAN PAULIST	0.597	TRPL4	TSPP4	TELESP CL PA	5.480	VIVO4
TSPP4	TELESP CL PA	5.692	VIVO4	TSPP4	TELESP CL PA	5.632	VIVO4	USIM5	USIMINAS	1.404	USIM5
USIM5	USIMINAS	1.317	USIM5	USIM5	USIMINAS	1.439	USIM5	VALE5	VALE R DOCE	2.881	VALE5
VALE5	VALE R DOCE	2.982	VALE5	VALE5	VALE R DOCE	3.067	VALE5	VCPA4	V C P	0.509	VCPA4
VCPA4	V C P	0.404	VCPA4	VCPA4	V C P	0.398	VCPA4				

Continuação

2001 - 1º quadrimestre				2001 - 2º quadrimestre				2001 - 3º quadrimestre			
Código	Nome	Peso (%)	Atual	Código	Nome	Peso (%)	Atual	Código	Nome	Peso (%)	Atual
ACES4	ACESITA	1.172	ACES4	ACES4	ACESITA	0.971	ACES4	ACES4	ACESITA	0.824	ACES4
AMBV4	AMBEV	1.016	AMBV4	AMBV4	AMBEV	1.146	AMBV4	AMBV4	AMBEV	1.381	AMBV4
ARCZ6	ARACRUZ	0.881	ARCZ6	ARCZ6	ARACRUZ	0.948	ARCZ6	ARCZ6	ARACRUZ	0.897	ARCZ6
BBAS3	BRASIL	0.181	BBAS3	BBAS3	BRASIL	0.200	BBAS3	BBAS3	BRASIL	0.263	BBAS3
BBAS4	BRASIL	0.791	BBAS4	BBAS4	BRASIL	0.982	BBAS4	BBAS4	BRASIL	1.299	BBAS4
BBDC4	BRADESCO	3.732	BBDC4	BBDC4	BRADESCO	4.607	BBDC4	BBDC4	BRADESCO	5.130	BBDC4
BESP4	BANESPA	2.511	BESP4	BRAP4	BRADESPAR	1.819	BRAP4	BRAP4	BRADESPAR	1.383	BRAP4
BRAP4	BRADESPAR	2.124	BRAP4	BRDT4	PETROBRAS BR	0.496	BRDT4	BRDT4	PETROBRAS BR	0.526	BRDT4
BRDT4	PETROBRAS BR	0.476	BRDT4	CESP4	CESP	1.274	CESP5	CESP4	CESP	1.202	CESP5
CESP4	CESP	1.127	CESP5	CLSC6	CELESC	0.569	CLSC4	CGAS5	COMGAS	0.937	CGAS5
CLSC6	CELESC	0.715	CLSC4	CMIG3	CEMIG	0.180	CMIG3	CLSC6	CELESC	0.472	CLSC4
CMIG3	CEMIG	0.150	CMIG3	CMIG4	CEMIG	2.721	CMIG4	CMIG3	CEMIG	0.181	CMIG3
CMIG4	CEMIG	3.180	CMIG4	CPLE6	COPEL	0.975	CPLE6	CMIG4	CEMIG	2.561	CMIG4
COGU4	GERDAU	0.783	GGBR4	CPNE5	COPENE	0.328	BRKM5	CPLE6	COPEL	1.101	CPLE6
CPLE6	COPEL	0.976	CPLE6	CRTP5	CRT CELULAR	0.949	CRTP5	CPNE5	COPENE	0.353	BRKM5
CPNE5	COPENE	0.312	BRKM5	CRUZ3	SOUZA CRUZ	0.566	CRUZ3	CRTP5	CRT CELULAR	1.076	CRTP5
CRTP5	CRT CELULAR	0.684	CRTP5	CSNA3	SID NACIONAL	1.218	CSNA3	CRUZ3	SOUZA CRUZ	0.606	CRUZ3
CRUZ3	SOUZA CRUZ	0.457	CRUZ3	CSTB4	SID TUBARAO	0.574	CSTB4	CSNA3	SID NACIONAL	1.116	CSNA3
CSNA3	SID NACIONAL	1.057	CSNA3	EBTP3	EMBRATEL PAR	1.902	EBTP3	CSTB4	SID TUBARAO	0.430	CSTB4
CSTB4	SID TUBARAO	0.627	CSTB4	EBTP4	EMBRATEL PAR	4.715	EBTP4	EBTP3	EMBRATEL PAR	1.904	EBTP3
EBTP3	EMBRATEL PAR	1.961	EBTP3	ELET3	ELETROBRAS	1.961	ELET3	EBTP4	EMBRATEL PAR	4.747	EBTP4
EBTP4	EMBRATEL PAR	4.583	EBTP4	ELET6	ELETROBRAS	3.047	ELET6	ELET3	ELETROBRAS	1.795	ELET3
ELET3	ELETROBRAS	2.073	ELET3	ELPL4	ELETROPAULO	0.596	ELPL4	ELET6	ELETROBRAS	3.162	ELET6
ELET6	ELETROBRAS	3.047	ELET6	EMBR3	EMBRAER	1.062	EMBR3	ELPL4	ELETROPAULO	0.671	ELPL4
ELPL4	ELETROPAULO	0.604	ELPL4	EMBR4	EMBRAER	1.110	EMBR4	EMBR3	EMBRAER	1.247	EMBR3
EMBR3	EMBRAER	0.908	EMBR3	GGBR4	GERDAU	0.877	GGBR4	EMBR4	EMBRAER	1.214	EMBR4
EMBR4	EMBRAER	0.919	EMBR4	GRSU3	GERASUL	0.225	egie3	GGBR4	GERDAU	0.815	GGBR4
GRSU3	GERASUL	0.203	egie3	INEP4	INEPAR	0.430	INEP4	GRSU3	GERASUL	0.221	egie3
INEP4	INEPAR	0.544	INEP4	ITAU4	ITAUBANCO	1.907	ITUB4	INEP4	INEPAR	0.372	INEP4
ITAU4	ITAUBANCO	1.802	ITUB4	ITSA4	ITAUSA	1.497	ITSA4	ITAU4	ITAUBANCO	2.356	ITUB4
ITSA4	ITAUSA	1.618	ITSA4	KLAB4	KLABIN	0.318	KLBN4	ITSA4	ITAUSA	1.429	ITSA4
KLAB4	KLABIN	0.374	KLBN4	LIGH3	LIGHT	0.450	LIGT3	KLAB4	KLABIN	0.265	KLBN4
LIGH3	LIGHT	0.602	LIGT3	PETR3	PETROBRAS	3.732	PETR3	LIGH3	LIGHT	0.361	LIGT3
PETR3	PETROBRAS	3.356	PETR3	PETR4	PETROBRAS	9.511	PETR4	PETR3	PETROBRAS	3.407	PETR3
PETR4	PETROBRAS	8.922	PETR4	PLIM4	GLOBO CABO	5.984	NETC4	PETR4	PETROBRAS	9.085	PETR4
PLIM4	GLOBO CABO	8.385	NETC4	PTIP4	IPIRANGA PET	0.217	PTIP4	PLIM4	GLOBO CABO	4.998	NETC4
PTIP4	IPIRANGA PET	0.269	PTIP4	SBSP3	SABESP	0.941	SBSP3	PTIP4	IPIRANGA PET	0.188	PTIP4
SBSP3	SABESP	0.872	SBSP3	TCOC4	TELE CTR OES	1.391	TCOC4	SBSP3	SABESP	0.814	SBSP3
TCOC4	TELE CTR OES	1.405	TCOC4	TCSL3	TELE CL SUL	0.525	TIMP3	TCOC4	TELE CTR OES	1.305	TCOC4
TCSL3	TELE CL SUL	0.594	TIMP3	TCSL4	TELE CL SUL	1.557	TCSL4	TCSL3	TELE CL SUL	0.492	TIMP3
TCSL4	TELE CL SUL	1.408	TCSL4	TCSP3	BRASIL T PAR	1.248	BRTP3	TCSL4	TELE CL SUL	1.509	TCSL4
TCSP3	BRASIL T PAR	1.377	BRTP3	TCSP4	BRASIL T PAR	4.194	BRTP4	TCSP3	BRASIL T PAR	0.937	BRTP3
TCSP4	BRASIL T PAR	4.331	BRTP4	TEPR4	BRASIL TELEC	2.473	OIBR4	TCSP4	BRASIL T PAR	3.675	BRTP4
TEPR4	BRASIL TELEC	2.192	OIBR4	TERJ4	TELERJ	0.517	TRJC6	TDBH4	TEF DATA BRA	0.031	TDBH4
TERJ4	TELERJ	0.586	TRJC6	TLCP4	TELE LEST CL	0.886	TLCP4	TEPR4	BRASIL TELEC	2.738	OIBR4
TLCP4	TELE LEST CL	0.802	TLCP4	TLPP4	TELESP	0.842	VIVT4	TERJ4	TELERJ	0.612	TRJC6
TLPP4	TELESP	0.709	VIVT4	TMCP4	TELEMIG PART	1.282	TMCP4	TLCP4	TELE LEST CL	0.810	TLCP4
TMCP4	TELEMIG PART	0.880	TMCP4	TNEP4	TELE NORD CL	1.079	TNEP4	TLPP4	TELESP	0.800	VIVT4
TNEP4	TELE NORD CL	1.014	TNEP4	TNLP3	TELEMAR	1.485	TNLP3	TMCP4	TELEMIG PART	1.411	TMCP4
TNLP3	TELEMAR	1.648	TNLP3	TNLP4	TELEMAR	11.704	TNLP4	TNEP4	TELE NORD CL	1.418	TNEP4
TNLP4	TELEMAR	9.754	TNLP4	TRPL4	TRAN PAULIST	0.653	TRPL4	TNLP3	TELEMAR	1.326	TNLP3
TRPL4	TRAN PAULIST	0.646	TRPL4	TSPP4	TELESP CL PA	4.369	VIVO4	TNLP4	TELEMAR	12.249	TNLP4
TSPP4	TELESP CL PA	3.768	VIVO4	USIM5	USIMINAS	1.129	USIM5	TRPL4	TRAN PAULIST	0.570	TRPL4
USIM5	USIMINAS	1.078	USIM5	VALE5	VALE R DOCE	3.165	VALE5	TSPP4	TELESP CL PA	4.509	VIVO4
VALE5	VALE R DOCE	3.318	VALE5	VCPA4	V C P	0.463	VCPA4	USIM5	USIMINAS	1.182	USIM5
VCPA4	V C P	0.462	VCPA4					VALE5	VALE R DOCE	3.171	VALE5
								VCPA4	V C P	0.439	VCPA4

Continuação

2000 - 1º quadrimestre				2000 - 2º quadrimestre				2000 - 3º quadrimestre			
Código	Nome	Peso (%)	Atual	Código	Nome	Peso (%)	Atual	Código	Nome	Peso (%)	Atual
ARCZ6	ARACRUZ	0.252	ARCZ6	ACES4	ACESITA	0.988	ACES4	ACES4	ACESITA	1.307	ACES4
BBAS3	BRASIL	0.172	BBAS3	ARCZ6	ARACRUZ	0.338	ARCZ6	ARCZ6	ARACRUZ	0.555	ARCZ6
BBAS4	BRASIL	1.345	BBAS4	BBAS3	BRASIL	0.196	BBAS3	BBAS3	BRASIL	0.203	BBAS3
BBDC4	BRADESCO	3.411	BBDC4	BBAS4	BRASIL	1.092	BBAS4	BBAS4	BRASIL	0.967	BBAS4
BESP4	BANESPA	2.792	BESP4	BBDC4	BRADESCO	3.990	BBDC4	BBDC4	BRADESCO	4.730	BBDC4
BMTO4	BRASMOTOR	0.126	BMTO4	BESP4	BANESPA	2.613	BESP4	BESP4	BANESPA	2.715	BESP4
BRDT4	PETROBRAS BR	0.606	BRDT4	BRDT4	PETROBRAS BR	0.522	BRDT4	BRAP4	BRADESPAR	0.386	BRAP4
BRHA4	BRAHMA	0.780	AMBV4	BRHA4	BRAHMA	0.806	AMBV4	BRDT4	PETROBRAS BR	0.506	BRDT4
CESP4	CESP	0.799	CESP5	CESP4	CESP	0.593	CESP5	BRHA4	BRAHMA	0.896	AMBV4
CLSC6	CELESC	1.090	CLSC4	CLSC6	CELESC	1.109	CLSC4	CESP4	CESP	0.809	CESP5
CMIG3	CEMIG	0.189	CMIG3	CMIG3	CEMIG	0.154	CMIG3	CLSC6	CELESC	1.083	CLSC4
CMIG4	CEMIG	3.102	CMIG4	CMIG4	CEMIG	3.396	CMIG4	CMIG3	CEMIG	0.171	CMIG3
CPLE6	COPEL	1.130	CPLE6	CPLE6	COPEL	1.058	CPLE6	CMIG4	CEMIG	3.815	CMIG4
CPNE5	COPENE	0.169	BRKM5	CPNE5	COPENE	0.211	BRKM5	COGU4	GERDAU	0.695	GGBR4
CPSL3	COPEL	0.057	CPSL3	CPSL3	COPEL	0.062	CPSL3	CPL6	COPEL	1.108	CPL6
CRUZ3	SOUZA CRUZ	0.413	CRUZ3	CRUZ3	SOUZA CRUZ	0.487	CRUZ3	CPNE5	COPENE	0.294	BRKM5
CSNA3	SID NACIONAL	0.554	CSNA3	CSNA3	SID NACIONAL	0.597	CSNA3	CRGT5	CRT	0.682	CRGT5
CSTB4	SID TUBARAO	0.450	CSTB4	CSTB4	SID TUBARAO	0.454	CSTB4	CRTP5	CRT CELULAR	0.647	CRTP5
DURA4	DURATEX	0.061	DURA4	DURA4	DURATEX	0.080	DURA4	CRUZ3	SOUZA CRUZ	0.498	CRUZ3
ELET3	ELETRORBRAS	2.851	ELET3	EBTP3	EMBRATEL PAR	1.739	EBTP3	CSNA3	SID NACIONAL	0.789	CSNA3
ELET6	ELETRORBRAS	5.855	ELET6	EBTP4	EMBRATEL PAR	4.341	EBTP4	CSTB4	SID TUBARAO	0.699	CSTB4
ELPL4	ELETROPAULO	0.873	ELPL4	ELET3	ELETRORBRAS	2.307	ELET3	EBTP3	EMBRATEL PAR	2.177	EBTP3
EMBR3	EMBRAER	1.541	EMBR3	ELET6	ELETRORBRAS	4.864	ELET6	EBTP4	EMBRATEL PAR	4.789	EBTP4
GEPA4	GER PARANAP	0.526	GEPA4	ELPL4	ELETROPAULO	0.777	ELPL4	ELET3	ELETRORBRAS	2.305	ELET3
GETI4	GER TIETE	0.651	GETI4	EMBR3	EMBRAER	1.860	EMBR3	ELET6	ELETRORBRAS	3.864	ELET6
GRSU3	GERASUL	0.301	egie3	EMBR4	EMBRAER	0.713	EMBR4	ELPL4	ELETROPAULO	0.646	ELPL4
INEP4	INEPAR	0.922	INEP4	GETI4	GER TIETE	0.477	GETI4	EMBR3	EMBRAER	1.469	EMBR3
ITAU4	ITAUBANCO	1.287	ITUB4	GRSU3	GERASUL	0.213	egie3	EMBR4	EMBRAER	0.820	EMBR4
ITSA4	ITAUSA	0.873	ITSA4	INEP4	INEPAR	0.815	INEP4	GRSU3	GERASUL	0.245	egie3
KLAB4	KLABIN	0.285	KLBN4	ITAU4	ITAUBANCO	1.412	ITUB4	INEP4	INEPAR	0.705	INEP4
LIGH3	LIGHT	0.988	LIGT3	ITSA4	ITAUSA	1.291	ITSA4	ITAU4	ITAUBANCO	1.675	ITUB4
PETR3	PETROBRAS	1.352	PETR3	KLAB4	KLABIN	0.352	KLBN4	ITSA4	ITAUSA	1.675	ITSA4
PETRA	PETROBRAS	8.962	PETRA	LIGH3	LIGHT	1.134	LIGT3	KLAB4	KLABIN	0.418	KLBN4
PTIP4	IPIRANGA PET	0.435	PTIP4	PETR3	PETROBRAS	1.597	PETR3	LIGH3	LIGHT	0.765	LIGT3
RCTB31	TELES RCTB	7.350	RCTB31	PETRA	PETROBRAS	7.585	PETRA	PETR3	PETROBRAS	2.640	PETR3
RCTB41	TELES RCTB	33.881	RCTB41	PLIM4	GLOBO CABO	5.362	NETC4	PETRA	PETROBRAS	8.509	PETRA
TEPR4	TELEPAR	0.293	OIBR4	PTIP4	IPIRANGA PET	0.469	PTIP4	PLIM4	GLOBO CABO	8.022	NETC4
TERJ4	TELERJ	0.907	TRJC6	SBSP3	SABESP	0.689	SBSP3	PTIP4	IPIRANGA PET	0.499	PTIP4
TLPP3	TELESP	0.317	VIVT3	TCOC4	TELE CTR OES	1.250	TCOC4	SBSP3	SABESP	0.845	SBSP3
TLPP4	TELESP	4.689	VIVT4	TCSL4	TELE CL SUL	0.906	TCSL4	TCOC4	TELE CTR OES	1.521	TCOC4
TRPL4	TRAN PAULIST	0.479	TRPL4	TCSP3	TELE CTR SUL	1.165	BRTP3	TCSL3	TELE CL SUL	0.723	TIMP3
TSPC6	TELESP CL	1.364	TSPC6	TCSP4	TELE CTR SUL	3.832	BRTP4	TCSL4	TELE CL SUL	1.187	TCSL4
USIM5	USIMINAS	1.203	USIM5	TEPR4	TELEPAR	0.560	OIBR4	TCSP3	BRASIL T PAR	1.549	BRTP3
VALE5	VALE R DOCE	3.576	VALE5	TERJ4	TELERJ	0.779	TRJC6	TCSP4	BRASIL T PAR	4.377	BRTP4
VCPA4	V C P	0.208	VCPA4	TLPP3	TELESP	1.679	VIVT3	TEPR4	BRASIL TELEC	0.984	OIBR4
WHMT3	WHIT MARTINS	0.503	WHMT3	TLPP4	TELESP	11.170	VIVT4	TERJ4	TELERJ	0.713	TRJC6
				TNEP4	TELE NORD CL	0.688	TNEP4	TLCP4	TELE LEST CL	0.757	TLCP4
				TNLP3	TELEMAR	1.634	TNLP3	TLPP4	TELESP	0.598	VIVT4
				TNLP4	TELEMAR	6.155	TNLP4	TMCP4	TELEMIG PART	0.873	TMCP4
				TRPL4	TRAN PAULIST	0.498	TRPL4	TNEP4	TELE NORD CL	0.928	TNEP4
				TSEP4	TELE SUDESTE	1.610	TSEP4	TNLP3	TELEMAR	1.918	TNLP3
				TSPP3	TELESP CL PA	1.172	VIVO3	TNLP4	TELEMAR	8.451	TNLP4
				TSPP4	TELESP CL PA	4.910	VIVO4	TRPL4	TRAN PAULIST	0.653	TRPL4
				USIM5	USIMINAS	1.07	USIM5	TSPP4	TELESP CL PA	4.307	VIVO4
				VALE5	VALE R DOCE	3.292	VALE5	USIM5	USIMINAS	1.174	USIM5
				VCPA4	V C P	0.276	VCPA4	VALE5	VALE R DOCE	3.245	VALE5
				WHMT3	WHIT MARTINS	0.564	WHMT3	VCPA4	V C P	0.391	VCPA4

Continuação

1998 - 1º quadrimestre				1998 - 2º quadrimestre				1998 - 3º quadrimestre			
Código	Nome	Peso (%)	Atual	Código	Nome	Peso (%)	Atual	Código	Nome	Peso (%)	Atual
ACE4	ACESITA	0.263	ACES4	ACES4	ACESITA	0.320	ACES4	ACES4	ACESITA	0.297	ACES4
ARC6	ARACRUZ	0.309	ARCZ6	ARCZ6	ARACRUZ	0.206	ARCZ6	ARCZ6	ARACRUZ	0.159	ARCZ6
BES4	BANESPA	1.846	BESP4	BESP4	BANESPA	2.919	BESP4	BESP4	BANESPA	2.716	BESP4
BEL3	BELGO MINEIRA	0.076	ARCE3	BELG4	BELGO MINEIRA	0.101	ARCE4	BELG4	BELGO MINEIRA	0.079	ARCE4
BEL4	BELGO MINEIRA	0.122	ARCE4	BBDC4	BRADESCO	2.432	BBDC4	BBDC4	BRADESCO	2.834	BBDC4
BBD4	BRADESCO	2.439	BBDC4	BRHA4	BRAHMA	1.151	AMBV4	BRHA4	BRAHMA	0.978	AMBV4
BRH4	BRAHMA	1.197	AMBV4	BBAS3	BRASIL	0.176	BBAS3	BBAS3	BRASIL	0.193	BBAS3
BB 3	BRASIL	0.106	BBAS3	BBAS4	BRASIL	1.997	BBAS4	BBAS4	BRASIL	2.266	BBAS4
BB4	BRASIL	1.297	BBAS4	BMT04	BRASMOTOR	0.318	BMT04	BMT04	BRASMOTOR	0.220	BMT04
BMT4	BRASMOTOR	0.433	BMT04	CLSC6	CELESC	0.722	CLSC4	CLSC6	CELESC	0.636	CLSC4
CLS8	CELESC	0.700	CLSC4	CMIG3	CEMIG	0.301	CMIG3	CMIG3	CEMIG	0.220	CMIG3
CMI3	CEMIG	0.429	CMIG3	CMIG4	CEMIG	3.123	CMIG4	CMIG4	CEMIG	3.130	CMIG4
CMI4	CEMIG	3.316	CMIG4	CESP4	CESP	2.026	CESP5	CESP4	CESP	1.813	CESP5
CES4	CESP	1.646	CESP5	CEVA4	CEVAL	0.102	CEVA4	CEVA4	CEVAL	0.063	CEVA4
CEV4	CEVAL	0.165	CEVA4	CPNE5	COPENE	0.171	BRKM5	CPNE5	COPENE	0.133	BRKM5
CPN5	COPENE	0.191	BRKM5	CPSL3	COPELUL	0.083	CPSL3	CPSL3	COPELUL	0.071	CPSL3
CPS3	COPELUL	0.090	CPSL3	CSIP6	COSIPA	0.270	usim5	CSIP6	COSIPA	0.236	usim5
CSI6	COSIPA	0.310	usim5	DURA4	DURATEX	0.101	DURA4	DURA4	DURATEX	0.080	DURA4
DUR4	DURATEX	0.126	DURA4	EBEN4	EBE	0.130	EBEN4	EBEN4	EBE	0.147	EBEN4
REP4	ELECTROLUX	0.236	REPA4	ELET3	ELETROBRAS	4.809	ELET3	ELET3	ELETROBRAS	3.967	ELET3
ELE3	ELETROBRAS	5.184	ELET3	ELET6	ELETROBRAS	4.831	ELET6	ELET6	ELETROBRAS	4.291	ELET6
ELE6	ELETROBRAS	4.960	ELET6	ELPL4	ELETROPAULO	0.451	elpl5	ELPL4	ELETROPAULO	0.349	elpl5
ELP4	ELETROPAULO	0.760	elpl11-old	EMAE4	EMAE	0.007	EMAE4	EMAE4	EMAE	0.084	EMAE4
ERI4	ERICSSON	1.329	ERIC4	EPTE4	EPTE	0.026	EPTE4	EPTE4	EPTE	0.127	EPTE4
INE4	INEPAR	1.145	INEP4	ERIC4	ERICSSON	1.909	ERIC4	ERIC4	ERICSSON	2.107	ERIC4
PTI4	IPIRANGA PET	0.256	PTIP4	INEP4	INEPAR	1.546	INEP4	GRSU3	GERASUL	0.281	EGIE3
ITA4	ITAUBANCO	0.849	ITUB4	PTIP4	IPIRANGA PET	0.228	PTIP4	GRSU6	GERASUL	0.283	TBLE6
ITS4	ITAUSA	0.435	ITSA4	ITAU4	ITAUBANCO	0.904	ITUB4	INEP4	INEPAR	1.380	INEP4
KLA4	KLABIN	0.212	KLBN4	ITSA4	ITAUSA	0.434	ITSA4	PTIP4	IPIRANGA PET	0.250	PTIP4
LIG3	LIGHT	0.948	LIGT3	KLAB4	KLABIN	0.182	KLBN4	ITAU4	ITAUBANCO	1.000	ITUB4
LIP3	LIGHTPAR	0.685	LIPR3	LIGH3	LIGHT	0.812	LIGT3	ITSA4	ITAUSA	0.506	ITSA4
PMA4	PARANAPANEMA	0.097	PMAM4	LIPR3	LIGHTPAR	0.671	LIPR3	KLAB4	KLABIN	0.167	KLBN4
PAL3	PAUL F LUZ	0.617	PALF3	PMAM4	PARANAPANEMA	0.064	PMAM4	LIGH3	LIGHT	0.802	LIGT3
PET4	PETROBRAS	7.711	PETR4	PALF3	PAUL F LUZ	0.518	PALF3	LIPR3	LIGHTPAR	0.483	LIPR3
BRD4	PETROBRAS BR	0.454	BRDT4	PETR4	PETROBRAS	8.146	PETR4	PMAM4	PARANAPANEMA	0.049	PMAM4
SCO4	SADIA CONCOR	0.334	SDIA4	BRDT4	PETROBRAS BR	0.395	BRDT4	PALF3	PAUL F LUZ	0.419	PALF3
SHA4	SHARP	0.348	SHAP4	SCON4	SADIA CONCOR	0.298	SDIA4	PETR4	PETROBRAS	8.528	PETR4
CSN3	SID NACIONAL	0.675	CSNA3	SHAP4	SHARP	0.238	SHAP4	BRDT4	PETROBRAS BR	0.296	BRDT4
CST6	SID TUBARAO	0.421	CSTB4	CSNA3	SID NACIONAL	0.525	CSNA3	SHAP4	SHARP	0.137	SHAP4
CRU3	SOUZA CRUZ	0.231	CRUZ3	CSTB4	SID TUBARAO	0.382	CSTB4	CSNA3	SID NACIONAL	0.381	CSNA3
TEL3	TELEBRAS	5.253	TELB3-OLD	CRUZ3	SOUZA CRUZ	0.202	CRUZ3	CSTB4	SID TUBARAO	0.346	CSTB4
TEL4	TELEBRAS	40.340	TELB4-OLD	TEL3	TELEBRAS	4.531	RCTB31	CRUZ3	SOUZA CRUZ	0.181	CRUZ3
TEP4	TELEPAR	0.365	IBOV	TELB4	TELEBRAS	38.514	RCTB41	TEL3	TELEBRAS	4.383	RCTB31
TER4	TELERJ	0.783	ibov	TEPR4	TELEPAR	0.426	IBOV	TELB4	TELEBRAS	37.701	RCTB41
TLS3	TELESP	0.706	vivt3	TERJ4	TELERJ	1.561	TRJC6	TEPR4	TELEPAR	0.391	TPRC6
TLS4	TELESP	3.796	vivt4	TLSP3	TELESP	0.710	TLPP3F	TPRC6	TELEPAR CL	0.152	TPRC6
UNI6	UNIPAR	0.170	UNIP6	TLSP4	TELESP	5.344	TLPP4F	TERJ4	TELERJ	1.189	TRJC6
USI4	USIMINAS	1.597	USIM5	UNIP6	UNIPAR	0.163	UNIP6	TRJC6	TELERJ CL	1.147	TSEP4
PSI4	V C P	0.171	VCPA4	USIM4	USIMINAS	1.138	USIM5	TLSP3	TELESP	0.612	vivt3
VAL4	VALE R DOCE	3.465	VALE5	PSIM4	V C P	0.139	VCPA4	TLSP4	TELESP	5.247	vivt4
WHM3	WHIT MARTINS	0.402	WHMT3	VALE4	VALE R DOCE	2.898	VALE5	TSPC3	TELESP CL	0.225	TSPC3
				WHMT3	WHIT MARTINS	0.323	WHMT3	TSPC6	TELESP CL	2.168	TSPC6
								UNIP6	UNIPAR	0.078	UNIP6
								USIM4	USIMINAS	1.024	USIM5
								PSIM4	V C P	0.092	VCPA4
								VALE5	VALE R DOCE	2.609	VALE5
								WHMT3	WHIT MARTINS	0.270	WHMT3

Continuação

1997 - 1º quadrimestre				1997 - 2º quadrimestre				1997 - 3º quadrimestre			
Código	Nome	Peso (%)	Atual	Código	Nome	Peso (%)	Atual	Código	Nome	Peso (%)	Atual
ACE4	ACESITA	0.313	ACES4	ACE4	ACESITA	0.319	ACES4	ACE4	ACESITA	0.277	ACES4
ALP4	ALPARGATAS	0.112	ALPA4	ARC6	ARACRUZ	0.400	ARCZ6	ARC6	ARACRUZ	0.323	ARCZ6
ARC6	ARACRUZ	0.746	ARCZ6	BES4	BANESPA	0.235	BESP4	BES4	BANESPA	0.989	BESP4
BES4	BANESPA	0.165	BESP4	BEL3	BELGO MINEIR	0.118	ARCE3	BEL3	BELGO MINEIR	0.108	ARCE3
BEL3	BELGO MINEIR	0.101	ARCE3	BEL4	BELGO MINEIR	0.121	ARCE4	BEL4	BELGO MINEIR	0.122	ARCE4
BEL4	BELGO MINEIR	0.118	ARCE4	BBD4	BRADESCO	2.639	BBDC4	BBD4	BRADESCO	2.560	BBDC4
BBD4	BRADESCO	2.744	BBDC4	BRH4	BRAHMA	1.316	AMBV4	BRH4	BRAHMA	1.320	AMBV4
BRH4	BRAHMA	1.416	AMBV4	BB 3	BRASIL	0.096	BBAS3	BB 3	BRASIL	0.096	BBAS3
BB 3	BRASIL	0.145	BBAS3	BB 4	BRASIL	0.823	BBAS4	BB 4	BRASIL	1.209	BBAS4
BB 4	BRASIL	1.321	BBAS4	BMT4	BRASMOTOR	0.660	BMT04	BMT4	BRASMOTOR	0.590	BMT04
BMT4	BRASMOTOR	0.661	BMT04	CMI3	CEMIG	0.653	CMIG3	CMI3	CEMIG	0.681	CMIG3
CMI4	CEMIG	2.748	CMIG4	CMI4	CEMIG	2.813	CMIG4	CMI4	CEMIG	3.102	CMIG4
CES4	CESP	0.336	CESP5	CES4	CESP	0.606	CESP5	CES4	CESP	1.101	CESP5
CEV4	CEVAL	0.266	CEVA4	CEV4	CEVAL	0.277	CEVA4	CEV4	CEVAL	0.246	CEVA4
ICP4	CIM ITAU	0.146	ICPI4	FAP4	COFAP	0.133	FAPC4	FAP4	COFAP	0.137	FAPC4
FAP4	COFAP	0.152	FAPC4	CPN5	COPENE	0.325	BRKM5	CPN5	COPENE	0.235	BRKM5
CPN5	COPENE	0.449	BRKM5	CPS3	COPEL	0.119	CPSL3	CPS3	COPEL	0.094	CPSL3
CPS3	COPEL	0.172	CPSL3	CSI6	COSIPA	0.464	usim5	CSI6	COSIPA	0.373	usim5
CSI6	COSIPA	0.493	usim5	DUR4	DURATEX	0.115	DURA4	DUR4	DURATEX	0.111	DURA4
DUR4	DURATEX	0.146	DURA4	REP4	ELECTROLUX	0.438	REPA4	REP4	ELECTROLUX	0.341	REPA4
ELE3	ELETOBRAS	4.041	ELET3	ELE3	ELETOBRAS	4.524	ELET3	ELE3	ELETOBRAS	5.284	ELET3
ELE6	ELETOBRAS	5.929	ELET6	ELE6	ELETOBRAS	5.547	ELET6	ELE6	ELETOBRAS	4.969	ELET6
ERI4	ERICSSON	0.391	ERIC4	ERI4	ERICSSON	0.691	ERIC4	ELP6	ELETROPAULO	0.683	elpl11-old
PTI4	IPIRANGA PET	0.323	PTIP4	PTI4	IPIRANGA PET	0.303	PTIP4	ERI4	ERICSSON	1.027	ERIC4
ITA4	ITAUBANCO	0.830	ITUB4	ITA4	ITAUBANCO	0.800	ITUB4	INE4	INEPAR	0.839	INEP4
ITS4	ITAUSA	0.368	ITSA4	ITS4	ITAUSA	0.363	ITSA4	PTI4	IPIRANGA PET	0.281	PTIP4
KLA4	KLABIN	0.391	KLBN4	KLA4	KLABIN	0.339	KLBN4	ITA4	ITAUBANCO	0.770	ITUB4
LIG3	LIGHT	0.952	LIGT3	LIG3	LIGHT	0.785	LIGT3	ITS4	ITAUSA	0.391	ITSA4
PMA4	PARANAPANEMA	0.283	PMAM4	PMA4	PARANAPANEMA	0.242	PMAM4	KLA4	KLABIN	0.282	KLBN4
PAL3	PAUL F LUZ	0.386	PALF3	PAL3	PAUL F LUZ	0.490	PALF3	LIG3	LIGHT	0.849	LIGT3
PET4	PETROBRAS	7.283	PETRA4	PET4	PETROBRAS	6.448	PETRA4	LIP3	LIGHTPAR	0.714	LIPR3
BRD4	PETROBRAS BR	0.650	BRDT4	BRD4	PETROBRAS BR	0.520	BRDT4	PMA4	PARANAPANEMA	0.165	PMAM4
REP4	REFRIPAR	0.421	REPA4	SCO4	SADIA CONCOR	0.347	SDIA4	PAL3	PAUL F LUZ	0.551	PALF3
SCO4	SADIA CONCOR	0.410	SDIA4	SHA4	SHARP	0.664	SHAP4	PET4	PETROBRAS	6.952	PETRA4
SHA4	SHARP	0.643	SHAP4	CSN3	SID NACIONAL	0.861	CSNA3	BRD4	PETROBRAS BR	0.506	BRDT4
CSN3	SID NACIONAL	1.108	CSNA3	RIO4	SID RIOGRAND	0.140	RIO4	SCO4	SADIA CONCOR	0.385	SDIA4
RIO4	SID RIOGRAND	0.164	RIO4	CST6	SID TUBARAO	0.576	CSTB4	SHA4	SHARP	0.655	SHAP4
CST6	SID TUBARAO	0.772	CSTB4	CRU3	SOUZA CRUZ	0.276	CRUZ3	CSN3	SID NACIONAL	0.790	CSNA3
CRU3	SOUZA CRUZ	0.292	CRUZ3	TEL3	TELEBRAS	6.881	TELB3-OLD	CST6	SID TUBARAO	0.464	CSTB4
TEL3	TELEBRAS	5.608	TELB3-OLD	TEL4	TELEBRAS	46.236	TELB4-OLD	CRU3	SOUZA CRUZ	0.264	CRUZ3
TEL4	TELEBRAS	44.991	TELB4-OLD	TEP4	TELEPAR	0.265	IBOV	TEL3	TELEBRAS	6.673	TELB3-OLD
TEP4	TELEPAR	0.225	IBOV	TLS3	TELESP	0.658	vivt3	TEL4	TELEBRAS	41.774	TELB4-OLD
TLS3	TELESP	0.613	vivt3	TLS4	TELESP	2.638	vivt4	TEP4	TELEPAR	0.296	IBOV
TLS4	TELESP	2.454	vivt4	UNI6	UNIPAR	0.194	UNIP6	TER4	TELERJ	0.624	ibov
UNI6	UNIPAR	0.272	UNIP6	USI4	USIMINAS	2.543	USIM5	TLS3	TELESP	0.714	vivt3
USI4	USIMINAS	3.430	USIM5	PSI4	V C P	0.129	VCPA4	TLS4	TELESP	2.915	vivt4
PSI4	V C P	0.159	VCPA4	VAL4	VALE R DOCE	3.404	VALE5	UNI6	UNIPAR	0.199	UNIP6
VAL4	VALE R DOCE	3.311	VALE5	WHM3	WHIT MARTINS	0.444	WHMT3	USI4	USIMINAS	1.968	USIM5
WHM3	WHIT MARTINS	0.523	WHMT3					PSI4	V C P	0.155	VCPA4
								VAL4	VALE R DOCE	3.385	VALE5
								WHM3	WHIT MARTINS	0.435	WHMT3

Continuação

1994 - 1º quadrimestre				1994 - 2º quadrimestre				1994 - 3º quadrimestre			
Código	Nome	Peso (%)	Atual	Código	Nome	Peso (%)	Atual	Código	Nome	Peso (%)	Atual
AVI4	ACOS VILLARES	0.178	AVIL4	AVI4	AÇOS VILLARES	0.171	AVIL4	AVI4	AÇOS VILLARES	0.140	AVIL4
ALP4	ALPARGATAS	0.243	ALPA4	ALP4	ALPARGATAS	0.223	ALPA4	ALP4	ALPARGATAS	0.158	ALPA4
AQT4	AQUATEC	0.017	AQT4	AQT4	AQUATEC	0.019	AQT4	ARC6	ARACRUZ	0.220	ARCZ6
ARC6	ARACRUZ	0.418	ARCZ6	ARC6	ARACRUZ	0.278	ARCZ6	BES4	BANESPA	0.802	BESP4
BES4	BANESPA	1.281	BESP4	BES4	BANESPA	1.015	BESP4	BEL3	BELGO MINEIRA	0.189	ARCE3
BEL3	BELGO MINEIRA	0.165	ARCE3	BEL4	BELGO MINEIRA	0.276	ARCE4	BEL4	BELGO MINEIRA	0.233	ARCE4
BEL4	BELGO MINEIRA	0.290	ARCE4	BEL3	BELGO MINEIRA	0.180	ARCE3	BOB4	BOMBRIIL	0.183	BOBR4
BOB4	BOMBRIIL	0.231	BOBR4	BOB4	BOMBRIIL	0.203	BOBR4	BBD4	BRADESCO	1.954	BBDC4
BBD4	BRADESCO	2.003	BBDC4	BBD4	BRADESCO	2.023	BBDC4	BRH4	BRAHMA	0.693	AMBV4
BRH4	BRAHMA	0.828	AMBV4	BRH4	BRAHMA	0.817	AMBV4	BB 3	BRASIL	0.239	BBAS3
BB 3	BRASIL	0.197	BBAS3	BB 4	BRASIL	2.691	BBAS4	BB 4	BRASIL	2.593	BBAS4
BB 4	BRASIL	2.587	BBAS4	BB 3	BRASIL	0.254	BBAS3	BMT4	BRASMOTOR	0.459	BMT04
BMT4	BRASMOTOR	0.342	BMT04	BMT4	BRASMOTOR	0.412	BMT04	CME4	CAEMI METAL	0.228	CMET4
CME4	CAEMI METAL	0.319	CMET4	CME4	CAEMI METAL	0.277	CMET4	CMI4	CEMIG	4.252	CMIG4
CMI4	CEMIG	6.227	CMIG4	CMI4	CEMIG	5.245	CMIG4	CES4	CESP	1.185	CESP5
CEV4	CEVAL	0.361	CEVA4	CES4	CESP	0.958	CESP5	CEV4	CEVAL	0.414	CEVA4
ICP4	CIM ITAU	0.357	ICPI4	CEV4	CEVAL	0.421	CEVA4	ICP4	CIM ITAÚ	0.229	ICPI4
FAP4	COFAP	0.345	FAPC4	ICP4	CIM ITAÚ	0.264	ICPI4	FAP4	COFAP	0.230	FAPC4
CPN5	COPENE	0.373	BRKM5	FAP4	COFAP	0.264	FAPC4	CPN5	COPENE	0.489	BRKM5
DUR4	DURATEX	0.294	DURA4	CPN5	COPENE	0.411	BRKM5	DUR4	DURATEX	0.221	DURA4
ELE6	ELETROBRAS	9.449	ELET6	DUR4	DURATEX	0.267	DURA4	ELE3	ELETROBRÁS	6.579	ELET3
ERI4	ERICSSON	0.349	ERIC4	ELE6	ELETROBRÁS	8.352	ELET6	ELE6	ELETROBRÁS	8.413	ELET6
EST4	ESTRELA	0.290	ESTR4	ELE3	ELETROBRÁS	7.523	ELET3	ERI4	ERICSSON	0.255	ERIC4
PTI4	IPIRANGA PET	0.328	PTIP4	ERI4	ERICSSON	0.314	ERIC4	EST4	ESTRELA	0.260	ESTR4
ITA4	ITAUBANCO	0.651	ITUB4	EST4	ESTRELA	0.295	ESTR4	PTI4	IPIRANGA PET	0.630	PTIP4
ITS4	ITAUSA	0.441	ITSA4	PTI4	IPIRANGA PET	0.510	PTIP4	ITA4	ITAUBANCO	0.696	ITUB4
KLA4	KLABIN	0.256	KLBN4	ITA4	ITAUBANCO	0.720	ITUB4	ITS4	ITAÚSA	0.288	ITSA4
LIG3	LIGHT	1.041	LIGT3	ITS4	ITAÚSA	0.398	ITSA4	KLA4	KLABIN	0.204	KLBN4
MAN3	MANNESMANN	0.115	MANM3	KLA4	KLABIN	0.232	KLBN4	LIG3	LIGHT	1.243	LIGT3
BAR4	MET BARBARA	0.438	VSMA3	LIG3	LIGHT	1.229	LIGT3	BAR4	MET BARBARÁ	0.166	VSMA3
LEV4	METAL LEVE	0.225	LEVE4	MAN3	MANNESMANN	0.085	MANM3	LEV4	METAL LEVE	0.158	LEVE4
BNA4	NACIONAL	0.586	ITUB4	BAR4	MET BARBARÁ	0.294	VSMA3	BNA4	NACIONAL	0.455	ITUB4
PSI4	PAPEL SIMAO	0.322	VCPA4	LEV4	METAL LEVE	0.202	LEVE4	PSI4	PAPEL SIMÃO	0.252	VCPA4
PRB4	PARAIBUNA	0.050	PRBN4	BNA4	NACIONAL	0.531	ITUB4	PRB4	PARAIBUNA	0.049	PRBN4
PMA4	PARANAPANEMA	1.508	PMAM4	PSI4	PAPEL SIMÃO	0.276	VCPA4	PMA4	PARANAPANEMA	1.050	PMAM4
PAL3	PAUL F LUZ	0.734	PALF3	PRB4	PARAIBUNA	0.044	PRBN4	PAL3	PAUL F LUZ	0.643	PALF3
PET4	PETROBRAS	5.881	PETR4	PMA4	PARANAPANEMA	1.362	PMAM4	PET4	PETROBRÁS	9.764	PETR4
REP4	REFRIPAR	0.225	REPA4	PAL3	PAUL F LUZ	0.712	PALF3	REP4	REFRIPAR	0.400	REPA4
SCO4	SADIA CONCORDIA	0.658	SDIA4	PET4	PETROBRÁS	8.346	PETR4	SCO4	SADIA CONCÓRDIA	0.573	SDIA4
SHA4	SHARP	0.052	SHAP4	REP4	REFRIPAR	0.314	REPA4	SHA4	SHARP	0.172	SHAP4
RIO4	SID RIOGRANDENSE	0.205	RIO4	SCO4	SADIA CONCÓRDIA	0.599	SDIA4	CSN3	SID NACIONAL	2.501	CSNA3
CRU3	SOUZA CRUZ	0.495	CRUZ3	SHA4	SHARP	0.098	SHAP4	RIO4	SID. RIOGRANDENSE	0.166	RIO4
SUZ4	SUZANO	0.184	SUZB5	RIO4	SID. RIOGRANDENSE	0.182	RIO4	CST6	SID TUBARÃO	1.648	CSTB4
TEL3	TELEBRAS	2.148	TELB3- OLD	CRU3	SOUZA CRUZ	0.384	CRUZ3	CRU3	SOUZA CRUZ	0.348	CRUZ3
TEL4	TELEBRAS	43.948	TELB4- OLD	SUZ4	SUZANO	0.154	SUZB5	SUZ4	SUZANO	0.124	SUZB5
TEP4	TELEPAR	0.347	IBOV	TEL4	TELEBRÁS	35.442	TELB4- OLD	TEL3	TELEBRÁS	2.527	TELB3- OLD
TLS3	TELESP	0.295	vivt3	TEL3	TELEBRÁS	2.321	TELB3- OLD	TEL4	TELEBRÁS	32.999	TELB4- OLD
TLS4	TELESP	2.093	vivt4	TEP4	TELEPAR	0.433	IBOV	TEP4	TELEPAR	0.439	IBOV
UNI6	UNIPAR	0.554	UNIP6	TLS4	TELESP	2.158	vivt3	TLS3	TELESP	0.312	vivt3
USI4	USIMINAS	2.942	USIM5	TLS3	TELESP	0.323	vivt4	TLS4	TELESP	2.352	vivt4
VAL4	VALE R DOCE	4.872	VALE5	UNI6	UNIPAR	0.575	UNIP6	UNI6	UNIPAR	0.478	UNIP6
VAG4	VARIG	0.081	VAGV4	USI4	USIMINAS	2.675	USIM5	USI4	USIMINAS	2.850	USIM5
VSM3	VIDR S MARINA	0.256	V SMA3	VAL4	VALE R DOCE	5.178	VALE5	VAL4	VALE R DOCE	5.158	VALE5
WHM3	WHITE MARTINS	0.896	WHMT3	VAG4	VARIG	0.062	VAGV4	VSM3	VIDR S MARINA	0.136	V SMA3
				VSM3	VIDR S MARINA	0.204	V SMA3	WHM3	WHITE MARTINS	0.576	WHMT3
				WHM3	WHITE MARTINS	0.773	WHMT3				

Continuação

1992 - 1º quadrimestre				1992 - 2º quadrimestre				1992 - 3º quadrimestre			
Código	Nome	Peso (%)	Atual	Código	Nome	Peso (%)	Atual	Código	Nome	Peso (%)	Atual
AVI4	ACOS VILLARES	0.571	AVIL4	AVI4	ACOS VILLARES	0.310	AVIL4	AVI4	AÇOS VILLARES	0.226	AVIL4
SAG4	AGROCERES	0.067	SAGR4	SAG4	AGROCERES	0.080	SAGR4	SAG4	AGROCERES	0.133	SAGR4
ALP4	ALPARGATAS	0.314	ALPA4	ALP4	ALPARGATAS	0.250	ALPA4	ALP4	ALPARGATAS	0.226	ALPA4
AQT4	AQUATEC	0.045	AQT4	AQT4	AQUATEC	0.020	AQT4	AQT4	AQUATEC	0.014	AQT4
ARC6	ARACRUZ	0.462	ARCZ6	ARC6	ARACRUZ	0.420	ARCZ6	ARC6	ARACRUZ	0.347	ARCZ6
BES4	BANESPA	1.562	BESP4	BES4	BANESPA	2.210	BESP4	BES4	BANESPA	2.300	BESP4
BEL3	BELGO MINEIRA	0.302	ARCE3	BEL3	BELGO MINEIRA	0.240	ARCE3	BEL3	BELGO MINEIRA	0.197	ARCE3
BEL4	BELGO MINEIRA	0.553	ARCE4	BEL4	BELGO MINEIRA	0.370	ARCE4	BEL4	BELGO MINEIRA	0.361	ARCE4
BOB4	BOMBRIL	0.281	BOBR4	BOB4	BOMBRIL	0.220	BOBR4	BOB4	BOMBRIL	0.300	BOBR4
BBD4	BRADESCO	1.692	BBDC4	BBD4	BRADESCO	1.650	BBDC4	BBD4	BRADESCO	1.477	BBDC4
BRH4	BRAHMA	1.348	AMBV4	BRH4	BRAHMA	1.200	AMBV4	BRH4	BRAHMA	1.074	AMBV4
BB 4	BRASIL	2.029	BBAS4	BB 3	BRASIL	0.250	BBAS3	BB 3	BRASIL	0.237	BBAS3
BB 3	BRASIL	0.240	BBAS3	BB 4	BRASIL	3.110	BBAS4	BB 4	BRASIL	3.202	BBAS4
CMI4	CEMIG	0.679	CMIG4	CMI4	CEMIG	2.160	CMIG4	CMI4	CEMIG	2.627	CMIG4
CEV4	CEVAL	0.353	CEVA4	CEV4	CEVAL	0.400	CEVA4	CEV4	CEVAL	0.418	CEVA4
HER4	CIA HERING	0.106	HGTX4	HER4	CIA HERING	0.080	HGTX4	HER4	CIA HERING	0.069	HGTX4
ICP4	CIM ITAU	0.253	ICPI4	ICP4	CIM ITAU	0.190	ICPI4	ICP4	CIM ITAU	0.235	ICPI4
FAP2	COFAP	0.907	FAPC4	FAP4	COFAP	0.670	FAPC4	FAP4	COFAP	0.502	FAPC4
CPN5	COPENE	1.200	BRKM5	CPN5	COPENE	0.940	BRKM5	CPN5	COPENE	0.664	BRKM5
DUR2	DURATEX	0.745	DURA4	DUR4	DURATEX	0.520	DURA4	DUR4	DURATEX	0.383	DURA4
ELE6	ELETROBRAS	2.808	ELET6	ELE6	ELETROBRAS	5.770	ELET6	ELE6	ELETROBRAS	7.545	ELET6
EST4	ESTRELA	0.173	ESTR4	EST4	ESTRELA	0.120	ESTR4	EST4	ESTRELA	0.062	ESTR4
FNV4	F N V	0.136	ENG5	FNV4	F N V	0.120	ENG5	FNV4	F N V	0.109	ENG5
CPF4	FERRO LIGAS	0.438	CPFL4	CPF4	FERRO LIGAS	0.260	CPFL4	CPF4	FERRO LIGAS	0.163	CPFL4
PTI2	IPIRANGA PET	0.153	PTIP4	PTI4	IPIRANGA PET	0.130	PTIP4	PTI4	IPIRANGA PET	0.121	PTIP4
ITA4	ITAUBANCO	0.743	ITUB4	ITA4	ITAUBANCO	0.640	ITUB4	ITA4	ITAUBANCO	0.662	ITUB4
ITS4	ITAUSA	0.705	ITSA4	ITS4	ITAUSA	0.600	ITSA4	ITS4	ITAUSA	0.526	ITSA4
KLA4	KLABIN	0.171	KLBN4	KLA4	KLABIN	0.170	KLBN4	KLA4	KLABIN	0.188	KLBN4
LUX2	LUXMA	0.040	ILMD4	LIG3	LIGHT	0.770	LIGT3	LIG3	LIGHT	1.337	LIGT3
MAN3	MANNESMANN	0.163	MANM3	MAN3	MANNESMANN	0.140	MANM3	MAN3	MANNESMANN	0.116	MANM3
LEV2	METAL LEVE	0.481	LEVE4	LEV4	METAL LEVE	0.350	LEVE4	LEV4	METAL LEVE	0.275	LEVE4
PSI4	PAPEL SIMAO	0.875	VCPA4	PSI4	PAPEL SIMÃO	0.530	VCPA4	PSI4	PAPEL SIMÃO	0.446	VCPA4
PRB4	PARAIBUNA	0.095	PRBN4	PRB4	PARAIBUNA	0.090	PRBN4	PRB4	PARAIBUNA	0.098	PRBN4
PMA4	PARANAPANEMA	10.065	PMAM4	PMA4	PARANAPANEMA	6.720	PMAM4	PMA4	PARANAPANEMA	5.041	PMAM4
PET4	PETROBRAS	15.565	PETR4	PET3	PETROBRAS	0.100	PETR3	PET3	PETROBRÁS	0.076	PETR3
PET3	PETROBRAS	0.150	PETR3	PET4	PETROBRAS	11.690	PETR4	PET4	PETROBRÁS	7.630	PETR4
PIR4	PIRELLI	0.107	PIRE4	PIR3	PIRELLI	0.060	PIRE3	PIR3	PIRELLI	0.056	PIRE3
PIR3	PIRELLI	0.103	PIRE3	PIR4	PIRELLI	0.090	PIRE4	PIR4	PIRELLI	0.080	PIRE4
REP4	REFRIPAR	0.185	REPA4	REP4	REFRIPAR	0.170	REPA4	REP4	REFRIPAR	0.144	REPA4
RPS2	RIPASA	0.268	RPSA4	RPS4	RIPASA	0.200	RPSA4	RPS4	RIPASA	0.169	RPSA4
SCO4	SADIA CONCORDIA	1.302	SDIA4	SCO4	SADIA CONCORDIA	0.910	SDIA4	SCO4	SADIA CONCÓRDIA	0.779	SDIA4
SHA4	SHARP	0.133	SHAP4	SHA4	SHARP	0.120	SHAP4	SHA4	SHARP	0.097	SHAP4
RIO4	SID. RIOGRANDENSE	0.113	RIO4	RIO4	SID. RIOGRANDENSE	0.140	RIO4	RIO4	SID. RIOGRANDENSE	0.184	RIO4
CRU3	SOUZA CRUZ	0.400	CRUZ3	CRU3	SOUZA CRUZ	0.350	CRUZ3	CRU3	SOUZA CRUZ	0.380	CRUZ3
SUZ2	SUZANO	0.353	SUZB5	SUZ4	SUZANO	0.260	SUZB5	SUZ4	SUZANO	0.219	SUZB5
TEL4	TELEBRAS	29.486	TELB4- OLD	TEL4	TELEBRAS	35.970	TELB4- OLD	TEL3	TELEBRAS	0.942	TELB3- OLD
TLS4	TELESP	1.303	vivt4	TLS4	TELESP	2.180	vivt4	TEL4	TELEBRAS	41.227	TELB4- OLD
TUP4	TUPY	0.121	TUPY4	TUP4	TUPY	0.060	TUPY4	TLS4	TELESP	2.860	vivt4
UNI6	UNIPAR	0.755	UNIP6	UNI6	UNIPAR	0.560	UNIP6	TUP4	TUPY	0.042	TUPY4
VAL4	VALE R DOCE	16.750	VALE5	VAL4	VALE R DOCE	13.690	VALE5	UNI6	UNIPAR	0.382	UNIP6
VAG4	VARIG	0.217	VAGV4	VAG4	VARIG	0.190	VAGV4	VAL4	VALE R DOCE	11.772	VALE5
VSM1	VIDR S MARINA	0.357	VSMA3	VSM3	VIDR S MARINA	0.280	VSMA3	VAG4	VARIG	0.138	VAGV4
WHM3	WHITE MARTINS	1.577	WHMT3	WHM3	WHITE MARTINS	1.050	WHMT3	VSM3	VIDR S MARINA	0.237	VSMA3
								WHM3	WHITE MARTINS	0.875	WHMT3

Continuação

1990 - 1º quadrimestre				1990 - 2º quadrimestre				1990 - 3º quadrimestre			
Código	Nome	Peso (%)	Atual	Código	Nome	Peso (%)	Atual	Código	Nome	Peso (%)	Atual
RPS2	RIPASA	0.540	SDIA4	SCO4	SADIA CONCORDIA	1.240	SDIA4	SHA7	SHARP	1.318	SHAP4
SCO4	SADIA CONCORDIA	0.890	SHAP4	SHA7	SHARP	2.795	SHAP4	RIO2	SID. RIOGRAND.	0.217	RIO4
SHA7	SHARP	3.336	RIO4	RIO2	SID. RIOGRAND.	0.280	RIO4	SIF2	SIFCO	0.106	SIFC4
RIO2	SID. RIOGRAND.	0.316	SIFC4	SIF2	SIFCO	0.170	SIFC4	CRU1	SOUZA CRUZ	0.335	CRUZ3
SIF2	SIFCO	0.248	CRUZ3	CRU1	SOUZA CRUZ	0.385	CRUZ3	SUZ2	SUZANO	0.597	SUZB5
CRU1	SOUZA CRUZ	0.327	SUZB5	SUZ2	SUZANO	0.585	SUZB5	TEL2	TELEBRÁS	7.391	TELB4-OLD
SUZ2	SUZANO	0.530	TUPY4	TEL2	TELEBRÁS	2.096	TUPY4	TUP4	TYPY	0.217	TUPY4
TUP4	TUPY	0.315	UNIP6	TUP4	TYPY	0.263	UNIP6	UNI8	UNIPAR	2.337	UNIP6
UNI7	UNIPAR	2.298	UNIP5	UNI8	UNIPAR	2.532	VALE5	VAL2	VALE R. DOCE	16.551	VALE5
VAL2	VALE R. DOCE	4.437	VAGV4	VAL2	VALE R. DOCE	10.684	VAGV4	VAG2	VARIG	0.733	VAGV4
VAG2	VARIG	0.756	VSMA3	VAG2	VARIG	0.917	VSMA3	VSM1	VIDR. SMARINA	0.469	VSMA3
VSM1	VIDR. SMARINA	0.480	WHMT3	VSM1	VIDR. SMARINA	0.510	WHMT3	WHM1	WHITE MARTINS	1.524	WHMT3
WHM1	WHITE MARTINS	1.090	WHMT3	WHM1	WHITE MARTINS	1.429	WHMT3				

1989 - 1º quadrimestre				1989 - 2º quadrimestre				1989 - 3º quadrimestre			
Código	Nome	Peso (%)	Atual	Código	Nome	Peso (%)	Atual	Código	Nome	Peso (%)	Atual
SAG2	AGROCERES	1.765	SAGR4	SAG2	AGROCERES	1.207	SAGR4	SAG2	AGROCERES	0.793	SAGR4
ALP4	ALPARGATAS	0.353	ALPA4	ALP4	ALPARGATAS	0.269	ALPA4	ALP4	ALPARGATAS	0.297	ALPA4
AQT2	AQUATEC	0.500	AQT4	AQT2	AQUATEC	0.515	AQT4	AQT2	AQUATEC	0.500	AQT4
ARC8	ARACRUZ	0.715	ARCZ6	ARC8	ARACRUZ	0.721	ARCZ6	ARC8	ARACRUZ	0.687	ARCZ6
AZE2	AZEVEDO	0.446	AZEV4	AZE2	AZEVEDO	0.256	AZEV4	AZE2	AZEVEDO	0.196	AZEV4
BES2	BANESPA	2.203	BESP4	BES2	BANESPA	2.105	BESP4	BES2	BANESPA	2.554	BESP4
BEL1	BELGO MINEIRA	0.576	ARCE3	BEL1	BELGO MINEIRA	0.598	ARCE3	BEL1	BELGO MINEIRA	0.562	ARCE3
BEL2	BELGO MINEIRA	0.695	ARCE4	BEL2	BELGO MINEIRA	0.767	ARCE4	BEL2	BELGO MINEIRA	0.832	ARCE4
BBD4	BRADESCO	1.499	BBDC4	BBD4	BRADESCO	1.406	BBDC4	BBD4	BRADESCO	1.455	BBDC4
BRH2	BRAHMA	0.718	AMBV4	BRH2	BRAHMA	0.671	AMBV4	BRH2	BRAHMA	0.799	AMBV4
BB 3	BRASIL	0.367	BBAS3	BB 3	BRASIL	0.333	BBAS3	BB 3	BRASIL	0.294	BBAS3
BB 2	BRASIL	3.534	BBAS4	BB 2	BRASIL	3.335	BBAS4	BB 2	BRASIL	2.848	BBAS4
BFC2	BRASINCA	0.509	BFCV4	BFC2	BRASINCA	0.453	BFCV4	BFC2	BRASINCA	0.239	BFCV4
CIQ2	CACIQUE	0.386	CIQU4	CIQ2	CACIQUE	0.290	CIQU4	CIQ2	CACIQUE	0.199	CIQU4
CBV2	CBV IND. MEC.	0.479	CBVI4	CBV2	CBV IND. MEC.	0.349	CBVI4	CBV2	CBV IND. MEC.	0.254	CBVI4
CEV4	CEVAL	0.560	CEVA4	CEV4	CEVAL	0.646	CEVA4	CEV4	CEVAL	0.739	CEVA4
HER2	CIA HERING	0.926	HGTX4	HER2	CIA HERING	0.808	HGTX4	HER2	CIA HERING	0.630	HGTX4
ICP4	CIM. ITAÚ	0.339	ICPI4	ICP4	CIM. ITAÚ	0.305	ICPI4	ICP4	CIM. ITAÚ	0.302	ICPI4
FAP2	COFAP	0.890	FAPC4	FAP2	COFAP	1.202	FAPC4	FAP2	COFAP	1.692	FAPC4
CNF2	CONFAB	0.540	CNFB4	CNF2	CONFAB	0.519	CNFB4	CNF2	CONFAB	0.498	CNFB4
CPN7	COPENE	4.144	BRKM5	CPN7	COPENE	4.110	BRKM5	CPN7	COPENE	3.712	BRKM5
DUR2	DURATEX	1.442	DURA4	DUR2	DURATEX	1.390	DURA4	DUR2	DURATEX	1.344	DURA4
ELU2	ELUMA	0.458	ELUM4	ELU2	ELUMA	0.291	ELUM4	ELU2	ELUMA	0.256	ELUM4
ENG6	ENGESA	0.582	ENG5	ENG7	ENGESA	0.643	ENG5	ENG7	ENGESA	0.633	ENG5
EST2	ESTRELA	1.352	ESTR4	EST2	ESTRELA	1.139	ESTR4	EST2	ESTRELA	1.135	ESTR4
FES2	FERBASA	0.365	FESA4	FNV6	FNV	1.217	ENG5	FNV6	FNV	1.113	ENG5
FER2	FERRO BRAS.	0.343	BARB4	FES2	FERBASA	0.382	FESA4	FES2	FERBASA	0.514	FESA4
CPF2	FERRO LIGAS	1.662	CPFL4	FER2	FERRO BRAS.	0.314	BARB4	FER2	FERRO BRAS.	0.153	BARB4
FNV6	FNV	1.081	ENG5	CPF2	FERRO LIGAS	1.456	CPFL4	CPF2	FERRO LIGAS	1.635	CPFL4
PTI2	IPIRANGA PET	0.349	PTIP4	PTI2	IPIRANGA PET	0.327	PTIP4	PTI2	IPIRANGA PET	0.314	PTIP4
ITA4	ITAUBANCO	0.990	ITUB4	ITA4	ITAUBANCO	0.809	ITUB4	ITA4	ITAUBANCO	0.873	ITUB4
ITS4	ITAUSA	0.752	ITSA4	ITS4	ITAUSA	0.673	ITSA4	ITS4	ITAUSA	0.749	ITSA4
KLA2	KLABIN	0.754	KLBN4	KLA2	KLABIN	0.588	KLBN4	KLA2	KLABIN	0.441	KLBN4
LNM2	LAN. NACIONAL	0.465	ELUM4	LNM2	LAN. NACIONAL	0.284	ELUM4	LNM2	LAN. NACIONAL	0.218	ELUM4
LUX2	LUXMA	0.377	ILMD4	LUX2	LUXMA	0.369	ILMD4	LUX2	LUXMA	0.371	ILMD4
MAH2	MANAH	0.404	MAHS4	MAH2	MANAH	0.375	MAHS4	MAH2	MANAH	0.212	MAHS4
MAN1	MANNESMANN	0.687	MANM3	MAN1	MANNESMANN	0.724	MANM3	MAN1	MANNESMANN	0.789	MANM3
POM2	MARCOPOLO	0.594	POMO4	POM4	MARCOPOLO	0.605	POMO4	POM4	MARCOPOLO	0.511	POMO4
BAR2	MET. BARBARÁ	0.496	VSMA3	BAR2	MET. BARBARÁ	0.364	VSMA3	BAR2	MET. BARBARÁ	0.219	VSMA3
LEV2	METAL LEVE	1.049	LEVE4	LEV2	METAL LEVE	0.943	LEVE4	LEV2	METAL LEVE	0.809	LEVE4
MSA1	MOINHO SANT.	0.376	MSAN3	MSA1	MOINHO SANT.	0.240	MSAN3	MSA1	MOINHO SANT.	0.179	MSAN3
OLV2	OLVEBRA	0.482	OLVB4	OLV2	OLVEBRA	0.340	OLVB4	OLV2	OLVEBRA	0.216	OLVB4

Continuação

1989 - 1º quadrimestre				1989 - 2º quadrimestre				1989 - 3º quadrimestre			
Código	Nome	Peso (%)	Atual	Código	Nome	Peso (%)	Atual	Código	Nome	Peso (%)	Atual
PSI2	PAPEL SIMÃO	2.273	VCPA4	PSI4	PAPEL SIMÃO	2.837	VCPA4	PSI4	PAPEL SIMÃO	2.831	VCPA4
PRB2	PARAIBUNA	0.709	PRBN4	PRB2	PARAIBUNA	0.662	PRBN4	PRB2	PARAIBUNA	0.606	PRBN4
PMA2	PARANAPANEMA	16.146	PMAM4	PMA4	PARANAPANEMA	22.657	PMAM4	PMA4	PARANAPANEMA	27.448	PMAM4
PRS2	PERSICO	0.634	PRSC4	PRS2	PERSICO	0.523	PRSC4	PRS2	PERSICO	0.384	PRSC4
PET3	PETROBRÁS	0.460	PETR3	PET3	PETROBRÁS	0.373	PETR3	PET3	PETROBRÁS	0.268	PETR3
PET2	PETROBRÁS	26.321	PETR4	PET2	PETROBRÁS	24.557	PETR4	PET2	PETROBRÁS	20.800	PETR4
PIR1	PIRELLI	0.985	PIRE3	PIR1	PIRELLI	0.604	PIRE3	PIR1	PIRELLI	0.360	PIRE3
PIR2	PIRELLI	0.374	PIRE4	PIR2	PIRELLI	0.382	PIRE4	PIR2	PIRELLI	0.413	PIRE4
POP6	POLIPROPILENO	1.122	POPR4	POP6	POLIPROPILENO	0.446	POPR4	POP6	POLIPROPILENO	0.229	POPR4
REP2	REFRIPAR	0.619	REPA4	REP2	REFRIPAR	0.579	REPA4	REP2	REFRIPAR	0.530	REPA4
REE2	RHEEN	0.411	REEM4	REE2	RHEEN	0.239	REEM4	REE2	RHEEN	0.137	REEM4
RPS2	RIPASA	1.053	RPSA4	RPS2	RIPASA	0.826	RPSA4	RPS2	RIPASA	0.589	RPSA4
SCO4	SADIA CONCORDIA	0.430	SDIA4	SCO4	SADIA CONCORDIA	0.429	SDIA4	SCO4	SADIA CONCORDIA	0.619	SDIA4
SHA2	SHARP	2.514	SHAP4	SHA7	SHARP	2.273	SHAP4	SHA7	SHARP	2.935	SHAP4
RIO2	SID. RIOGRAND.	0.521	RIO4	RIO2	SID. RIOGRAND.	0.472	RIO4	RIO2	SID. RIOGRAND.	0.387	RIO4
SIF2	SIFCO	0.518	SIFC4	SIF2	SIFCO	0.527	SIFC4	SIF2	SIFCO	0.371	SIFC4
CRU1	SOUZA CRUZ	0.368	CRUZ3	CRU1	SOUZA CRUZ	0.301	CRUZ3	CRU1	SOUZA CRUZ	0.321	CRUZ3
SUZ2	SUZANO	1.111	SUZB5	SUZ2	SUZANO	0.951	SUZB5	SUZ2	SUZANO	0.625	SUZB5
TUP4	TUPY	0.478	TUPY4	TUP4	TUPY	0.429	TUPY4	TUP4	TUPY	0.376	TUPY4
UNI8	UNIPAR	1.157	UNIP6	UNI7	UNIPAR	1.314	UNIP6	UNI7	UNIPAR	1.657	UNIP6
VAL2	VALE R. DOCE	0.608	VALE5	VAL2	VALE R. DOCE	0.542	VALE5	VAL2	VALE R. DOCE	1.158	VALE5
VAG2	VARIG	0.579	VAGV4	VAG2	VARIG	0.422	VAGV4	VAG2	VARIG	0.574	VAGV4
VSM1	VIDR. SMARINA	0.512	VSMA3	VSM1	VIDR. SMARINA	0.429	VSMA3	VSM1	VIDR. SMARINA	0.461	VSMA3
WHM1	WHITE MARTINS	1.135	WHMT3	WHM1	WHITE MARTINS	1.039	WHMT3	WHM1	WHITE MARTINS	0.924	WHMT3

1988 - 1º quadrimestre				1988 - 2º quadrimestre				1988 - 3º quadrimestre			
Código	Nome	Peso (%)	Atual	Código	Nome	Peso (%)	Atual	Código	Nome	Peso (%)	Atual
AVI2	ACOS VILLARES	2.410	AVIL4	SAG2	AGROCERES	2.814	SAGR4	SAG2	AGROCERES	2.501	SAGR4
SAG2	AGROCERES	2.730	SAGR4	ALP3	ALPARGATAS	0.244	ALPA3	ALP3	ALPARGATAS	0.241	ALPA3
ALP3	ALPARGATAS	0.245	ALPA3	ALP4	ALPARGATAS	0.512	ALPA4	ALP4	ALPARGATAS	0.484	ALPA4
ALP4	ALPARGATAS	0.506	ALPA4	AZE2	AZEVEDO	0.932	AZEV4	AZE2	AZEVEDO	0.783	AZEV4
ART2	ARTEX	0.092	ARTE4	BES2	BANESPA	1.614	BESPA4	BES2	BANESPA	1.835	besp4
AZE2	AZEVEDO	0.871	AZEV4	BDL2	BARDELLA	0.097	BDLL4	BEL1	BELGO MINEIRA	0.596	ARCE3
BES2	BANESPA	1.342	BESPA4	BEL1	BELGO MINEIRA	0.693	ARCE3	BEL2	BELGO MINEIRA	0.634	ARCE4
BDL2	BARDELLA	0.127	BDLL4	BEL2	BELGO MINEIRA	0.722	ARCE4	BBD3	BRADESCO	0.148	BBDC3
BEL1	BELGO MINEIRA	0.924	ARCE3	BBD3	BRADESCO	0.171	BBDC3	BBD4	BRADESCO	1.611	BBDC4
BEL2	BELGO MINEIRA	0.776	ARCE4	BBD4	BRADESCO	1.752	BBDC4	BRH2	BRAHMA	0.798	AMBV4
BBD3	BRADESCO	0.197	BBDC3	BRH2	BRAHMA	0.955	AMBV4	BB 3	BRASIL	0.395	BBAS3
BBD4	BRADESCO	2.138	BBDC4	BB 3	BRASIL	0.326	BBAS3	BB 2	BRASIL	3.868	BBAS4
BRH2	BRAHMA	1.020	AMBV4	BB 2	BRASIL	3.095	BBAS4	BMT2	BRASMOTOR	0.354	BMT04
BB 3	BRASIL	0.317	BBAS3	BMT2	BRASMOTOR	0.430	BMT04	CIQ2	CACIQUE	0.464	CIQU4
BB 2	BRASIL	2.605	BBAS4	CIQ2	CACIQUE	0.653	CIQU4	CBV2	CBV IND. MEC.	0.481	CBVI4
BMT2	BRASMOTOR	0.445	BMT04	CAE1	CAEMI	0.138	VALE3	CEV4	CEVAL	0.521	CEVA4
CIQ2	CACIQUE	0.760	CIQU4	CBV2	CBV IND. MEC.	0.429	CBVI4	HER2	CIA HERING	1.031	HGTX4
CAE1	CAEMI	0.184	VALE3	CEV4	CEVAL	0.466	CEVA4	ICP4	CIM. ITAÚ	0.348	ICPI4
CBV2	CBV IND. MEC.	0.340	CBVI4	HER2	CIA HERING	1.098	HGTX4	FAP2	COFAP	0.807	FAPC4
CEV4	CEVAL	0.578	CEVA4	ICP2	CIM. ITAÚ	0.314	ICPI4	CNF2	CONFAB	0.460	CNFB4
HER2	CIA HERING	1.346	HGTX4	CBM2	COBRASMA	0.281	CBMA4	CPN7	COPENE	4.320	BRKM5
ICP2	CIM. ITAÚ	0.327	ICPI4	FAP2	COFAP	0.722	FAPC4	DUR2	DURATEX	1.788	DURA4
CBM2	COBRASMA	0.351	CBMA4	CNF2	CONFAB	0.554	CNFB4	ELU2	ELUMA	0.739	ELUM4
FAP2	COFAP	0.643	FAPC4	CPN7	COPENE	3.760	BRKM5	ENG6	ENGESA	0.696	ENG5
CNF2	CONFAB	0.675	CNFB4	COG4	COSIGUA	0.303	GOAU4	EST2	ESTRELA	1.922	ESTR4
CPN7	COPENE	2.872	BRKM5	CSS2	CRUZEIRO DO SUL	0.259	IBOV	EUC2	EUCATEX	0.322	EUCA4
COG4	COSIGUA	0.286	GOAU4	DUR2	DURATEX	2.230	DURA4	FNV6	FNV	0.809	ENG5
CSS2	CRUZEIRO DO SUL	0.492	IBOV	ELU2	ELUMA	0.941	ELUM4	FES2	FERBASA	0.385	FESA4
DUR2	DURATEX	2.398	DURA4	ENG6	ENGESA	0.710	ENG5	FER2	FERRO BRAS.	0.352	BARB4
ELU2	ELUMA	0.907	ELUM4	EST2	ESTRELA	2.175	ESTR4	CPF2	FERRO LIGAS	1.326	CPFL4
ENG6	ENGESA	0.533	ENG5	EUC2	EUCATEX	0.396	EUCA4	IOC2	IOCHPE	0.315	IBOV

Continuação

1988 - 1° quadrimestre				1988 - 2° quadrimestre				1988 - 3° quadrimestre			
Código	Nome	Peso (%)	Atual	Código	Nome	Peso (%)	Atual	Código	Nome	Peso (%)	Atual
EST2	ESTRELA	2.241	ESTR4	FNV6	FNV	0.661	ENG5	PTI2	IPIRANGA PET	0.329	PTIP4
EUC2	EUCATEX	0.278	EUCA4	FES2	FERBASA	0.454	FESA4	ITA4	ITAUBANCO	1.108	ITUB4
FNV6	FNV	0.938	IBOV	FER2	FERRO BRAS.	0.224	BARB4	ITS4	ITAUSA	0.806	ITSA4
FES2	FERBASA	0.507	FESA4	CPF2	FERRO LIGAS	1.453	CPFL4	KLA2	KLABIN	0.805	KLBN4
FER2	FERRO BRAS.	0.301	BARB4	FRI4	FRIGOBRAS	0.177	FRI4	LUX2	LUXMA	0.379	ILMD4
CPF2	FERRO LIGAS	1.253	CPFL4	GUA1	GUARARAPES	0.146	GUAR3	MAH2	MANAH	0.394	MAHS4
FRI4	FRIGOBRAS	0.220	FRI4	IOC2	IOCHPE	0.455	IBOV	MAN1	MANNESMANN	0.571	MANM3
GUA1	GUARARAPES	0.174	GUAR3	PTI2	IPIRANGA PET	0.315	PTIP4	POM2	MARCOPOLO	0.490	POMO4
IOC2	IOCHPE	0.570	IBOV	ITA4	ITAUBANCO	1.342	ITUB4	MYP5	MASSEY PERK	0.268	IBOV
ITA4	ITAUBANCO	1.529	ITUB4	ITS4	ITAUSA	0.837	ITSA4	MES2	MESBLA	0.163	MESB4
ITS4	ITAUSA	0.912	ITSA4	KLA2	KLABIN	0.794	KLBN4	LEV2	METAL LEVE	1.124	LEVE4
KLA2	KLABIN	0.650	KLBN4	LAM3	LOJAS AMERICANAS	0.102	LAME3	MSA1	MOINHO SANT.	0.596	MSAN3
LAM3	LOJAS AMERICANAS	0.106	LAME3	LUX2	LUXMA	0.413	ILMD4	OLV2	OLVEBRA	0.492	OLVB4
LUX2	LUXMA	0.498	ILMD4	MAH2	MANAH	0.235	MAHS4	PSI2	PAPEL SIMÃO	1.909	VCPA4
MAH2	MANAH	0.215	MAHS4	MAN1	MANNESMANN	0.447	MANM3	PRB2	PARAIBUNA	0.725	PRBN4
MAN1	MANNESMANN	0.361	MANM3	POM2	MARCOPOLO	0.311	IBOV	PMA2	PARANAPANEMA	12.356	PMAM4
POM2	MARCOPOLO	0.197	IBOV	MYP5	MASSEY PERK	0.394	IBOV	PDG2	PERDIGÃO	0.242	PRGA4
MYP5	MASSEY PERK	0.525	IBOV	MEN8	MENDES JR.	0.360	MEND6	PRS2	PERSICO	0.663	PRSC4
MEN8	MENDES JR.	0.613	MEND6	MES2	MESBLA	0.188	MESB4	PET3	PETROBRÁS	0.600	PETR3
MES2	MESBLA	0.251	MESB4	LEV2	METAL LEVE	0.974	LEVE4	PET2	PETROBRÁS	26.922	PETR4
BAR1	MET BARBARA	0.282	VSMA3	MSA1	MOINHO SANT.	0.661	MSAN3	PIR1	PIRELLI	1.189	PIRE3
LEV2	METAL LEVE	0.850	LEVE4	OLV2	OLVEBRA	0.507	OLVB4	POP6	POLIPROPILENO	1.434	POPR4
MSA1	MOINHO SANT.	0.750	MSAN3	PSI2	PAPEL SIMÃO	1.587	VCPA4	PMT2	PROMETAL	0.342	PMT4
OLV2	OLVEBRA	0.460	OLVB4	PRB2	PARAIBUNA	0.699	PRBN4	REA4	REAL	0.283	REAL4
PSI2	PAPEL SIMÃO	1.520	VCPA4	PMA2	PARANAPANEMA	10.418	PMAM4	REP2	REFRIPAR	0.673	REPA4
PRB2	PARAIBUNA	0.630	PRBN4	PDG2	PERDIGÃO	0.502	PRGA4	RPS2	RIPASA	1.402	RPSA4
PMA2	PARANAPANEMA	10.060	PMAM4	PRS2	PERSICO	0.707	PRSC4	SCO4	SADIA CONCORDIA	0.462	SDIA4
PDG2	PERDIGÃO	0.573	PRGA4	PET3	PETROBRÁS	0.527	PETR3	SAM1	SAMITRI	0.351	SAMI4
PRS2	PERSICO	0.584	PRSC4	PET2	PETROBRÁS	24.089	PETR4	SHA2	SHARP	2.779	SHAP4
PTI2	PET IPIRANGA	0.320	PTIP4	PIR1	PIRELLI	1.269	PIRE3	SID2	SID. INFORMATICA	0.326	IBOV
PET3	PETROBRÁS	0.610	PETR3	POP6	POLIPROPILENO	1.548	POPR4	RIO2	SID. RIOGRAND.	0.552	RIO4
PET2	PETROBRÁS	22.230	PETR4	PMT2	PROMETAL	0.423	PMT4	CRU1	SOUZA CRUZ	0.428	CRUZ3
PIR1	PIRELLI	1.162	PIRE3	REA4	REAL	0.429	REAL4	SUZ2	SUZANO	1.299	SUZB5
POP6	POLIPROPILENO	1.121	POPR4	REP2	REFRIPAR	0.642	REPA4	TRB2	TRANSBRASIL	0.376	TRBR4
PMT2	PROMETAL	0.450	PMT4	RPS2	RIPASA	1.914	RPSA4	TUP4	TUPY	0.434	TUPY4
REA4	REAL	0.440	REAL4	SCO4	SADIA CONCORDIA	0.574	SDIA4	VAL2	VALE R. DOCE	0.734	VALE5
REP2	REFRIPAR	0.544	REPA4	SAM1	SAMITRI	0.367	SAMI4	VAG2	VARIG	0.816	VAGV4
RPS2	RIPASA	1.882	RPSA4	SHA2	SHARP	2.890	SHAP4	VSM1	VIDR. SMARINA	0.722	VSMA3
SCO4	SADIA CONCORDIA	0.660	SDIA4	SID2	SID. INFORMATICA	0.460	IBOV	WHM1	WHITE MARTINS	1.171	WHMT3
SAM1	SAMITRI	0.333	SAMI4	RIO2	SID. RIOGRAND.	0.644	RIO4				
SHA2	SHARP	3.370	SHAP4	CRU1	SOUZA CRUZ	0.419	CRUZ3				
SID2	SID. INFORMATICA	0.570	IBOV	SUZ2	SUZANO	1.497	SUZB5				
RIO2	SID. RIOGRAND.	0.620	RIO4	TRB2	TRANSBRASIL	0.637	TRBR4				
CRU1	SOUZA CRUZ	0.450	CRUZ3	TUP4	TUPY	0.381	TUPY4				
SUZ2	SUZANO	1.690	SUZB5	VAL2	VALE R. DOCE	0.780	VALE5				
TRB2	TRANSBRASIL	0.890	TRBR4	VAG2	VARIG	1.237	VAGV4				
TUP4	TUPY	0.344	TUPY4	VSM1	VIDR. SMARINA	0.944	VSMA3				
UBB5	UNIBANCO	0.264	UBBR4	WHM1	WHITE MARTINS	0.995	WHMT3				
VAL2	VALE R. DOCE	0.844	VALE5								
VAG2	VARIG	1.740	VAGV4								
VSM1	VIDR. SMARINA	1.080	VSMA3								
WHM1	WHIT MARTINS	0.900	WHMT3								

1987 - 1° quadrimestre				1987 - 2° quadrimestre				1987 - 3° quadrimestre			
Código	Nome	Peso (%)	Atual	Código	Nome	Peso (%)	Atual	Código	Nome	Peso (%)	Atual
ACE1	ACESITA	0.018	ACES3	ACE1	ACESITA	0.021	ACES3	AVI2	ACOS VILLARES	2.433	AVIL4
ACE2	ACESITA	0.212	ACES4	ACE2	ACESITA	0.184	ACES4	SAG2	AGROCERES	2.486	SAGR4
AVI2	AÇOS VILLARES	1.868	AVIL4	AVI2	AÇOS VILLARES	2.071	AVIL4	ALP3	ALPARGATAS	0.159	ALPA3

Continuação

1987 - 1º quadrimestre				1987 - 2º quadrimestre				1987 - 3º quadrimestre			
Código	Nome	Peso (%)	Atual	Código	Nome	Peso (%)	Atual	Código	Nome	Peso (%)	Atual
CRA2	ADUBOS CRA	0.287	IBOV	CRA2	ADUBOS CRA	0.196	IBOV	ALP4	ALPARGATAS	0.386	ALPA4
SAG2	AGROCERES	3.078	SAGR4	SAG2	AGROCERES	2.560	SAGR4	CLA1	AND CLAYTON	0.089	IBOV
ALP3	ALPARGATAS	0.137	ALPA3	ALP3	ALPARGATAS	0.147	ALPA3	ART2	ARTEX	0.154	ARTE4
ALP4	ALPARGATAS	0.439	ALPA4	ALP4	ALPARGATAS	0.374	ALPA4	AZE2	AZEVEDO	0.561	AZEV4
CLA1	AND. CLAYTON	0.110	IBOV	CLA1	AND. CLAYTON	0.136	IBOV	BES2	BANESPA	1.100	BESP4
ANH1	ANHANGUERA	0.327	IBOV	ANH1	ANHANGUERRA	0.251	IBOV	BDL2	BARDELLA	0.109	BDLL4
ART2	ARTEX	0.135	ARTE4	ART2	ARTEX	0.144	ARTE4	BEL1	BELGO MINEIRA	1.095	ARCE3
AZE2	AZEVEDO	0.347	AZEV4	AZE2	AZEVEDO	0.408	AZEV4	BEL2	BELGO MINEIRA	0.775	ARCE4
BBC2	BANDEIRANTES	0.034	BBCM4	BBC2	BANDEIRANTES	0.033	BBCM4	BBD3	BRADESCO	0.198	BBDC3
BES3	BANESPA	0.119	BESP3	BES3	BANESPA	0.141	BESP3	BBD4	BRADESCO	2.103	BBDC4
BES4	BANESPA	0.019	BESP4	BES4	BANESPA	0.018	BESP4	BRH2	BRAHMA	0.821	AMBV4
BES2	BANESPA	0.924	besp4	BES2	BANESPA	0.855	besp4	BB 3	BRASIL	0.268	BBAS3
BDL2	BARDELLA	0.095	BDLL4	BDL2	BARDELLA	0.096	BDLL4	BB 2	BRASIL	1.855	BBAS4
BAP7	BARRETO	0.083	VSMA3	BAP7	BARRETO	0.053	VSMA3	BMT2	BRASMOTOR	0.444	BMT04
BEL1	BELGO MINEIRA	1.206	ARCE3	BEL1	BELGO MINEIRA	1.165	ARCE3	CIQ2	CACIQUE	0.930	CIQU4
BEL2	BELGO MINEIRA	0.514	ARCE4	BEL2	BELGO MINEIRA	0.656	ARCE4	CAE1	CAEMI	0.204	VALE3
FBO2	BORELLA	0.078	PRGA4	BBD3	BRADESCO	0.169	BBDC3	CBV2	CBV IND. MEC.	0.323	CBVI4
BBD3	BRADESCO	0.198	BBDC3	BBD4	BRADESCO	1.940	BBDC4	CEV4	CEVAL	0.598	CEVA4
BBD4	BRADESCO	1.978	BBDC4	FIB4	BRADESCO FIN	0.013	BBDC4	HER2	CIA HERING	1.588	HGTX4
FIB4	BRADESCO FIN	0.014	BBDC4	BBI4	BRADESCO INV	0.094	BBDC4	ICP2	CIM. ITAÚ	0.252	ICPI4
BBI4	BRADESCO INV	0.112	BBDC4	BRH2	BRAHMA	0.510	AMBV4	CBM2	COBRASMA	0.647	CBMA4
BRH2	BRAHMA	0.414	AMBV4	BB 3	BRASIL	0.295	BBAS3	CNF2	CONFAB	1.042	CNFB4
BB 3	BRASIL	0.425	BBAS3	BB 2	BRASIL	1.590	BBAS4	CPN7	COPENE	1.773	BRKM5
BB 2	BRASIL	1.992	BBAS4	BMT1	BRASMOTOR	0.060	BMT04	COG4	COSIGUA	0.286	GOAU4
BMT1	BRASMOTOR	0.053	BMT04	BMT2	BRASMOTOR	0.475	BMT04	CSS2	CRUZEIRO DO SUL	0.748	ibov
BMT2	BRASMOTOR	0.522	BMT04	CIQ2	CACIQUE	0.994	CIQU4	DUR2	DURATEX	2.079	DURA4
CIQ2	CACIQUE	1.218	CIQU4	CAE1	CAEMI	0.227	VALE3	ELU2	ELUMA	0.820	ELUM4
CAE1	CAEMI	0.249	VALE3	CAF2	CAFÉ BRASÍLIA	0.259	CAFE4	ENG6	ENGESA	0.203	ENG5
CAF2	CAFÉ BRASÍLIA	0.345	CAFE4	CBV2	CBV IND. MEC.	0.312	CBVI4	EST2	ESTRELA	1.855	ESTR4
CBV2	CBV IND. MEC.	0.378	CBVI4	CMI2	CEMIG	0.168	CMIG4	EUC2	EUCATEX	0.173	EUCA4
CMI2	CEMIG	0.083	CMIG4	CES4	CESP	0.017	CESP5	FNV6	FNV	1.442	ibov
CES4	CESP	0.023	CESP5	CEV4	CEVAL	0.563	CEVA4	FES2	FERBASA	0.594	FESA4
CEV4	CEVAL	0.528	CEVA4	HER2	CIA HERING	1.625	HGTX4	FER2	FERRO BRAS.	0.294	BARB4
HER2	CIA HERING	1.440	HGTX4	CAU6	CIM. CAUÊ	0.023	IBOV	CPF2	FERRO LIGAS	1.168	CPFL4
CAU6	CIM. CAUÊ	0.021	IBOV	ICP2	CIM. ITAÚ	0.219	ICPI4	FRI4	FRIGOBRAS	0.188	FRI4
ICP2	CIM. ITAÚ	0.215	ICPI4	CBM2	COBRASMA	0.894	CBMA4	GUA1	GUARARAPES	0.203	GUAR3
CBM2	COBRASMA	0.948	CBMA4	CNF2	CONFAB	1.118	CNFB4	IVI4	IND VILLARES	0.283	IBOV
CNF2	CONFAB	1.233	CNFB4	COP2	COPAS	0.079	COPA4	IOC2	IOCHPE	0.695	ibov
COP2	COPAS	0.101	COPA4	CPN7	COPENE	1.105	BRKM5	ITA4	ITAUBANCO	1.541	ITUB4
CPN8	COPENE	1.137	BRKM5	COR2	CORRÉA RIBEIRO	0.112	CORR4	ITS4	ITAUSA	0.693	ITSA4
COR2	CORRÉA RIBEIRO	0.120	CORR4	COG4	COSIGUA	0.244	GOAU4	KEP2	KEPLER WEBER	0.270	ibov
COG4	COSIGUA	0.252	GOAU4	CSS2	CRUZEIRO DO SUL	0.818	IBOV	KLA2	KLABIN	0.514	KLBN4
CSS2	CRUZEIRO DO SUL	0.618	IBOV	DOC4	DOCAS	0.202	DOCA4	LAM3	LOJAS AMERICANAS	0.088	LAME3
DOC4	DOCAS	0.311	ibov	DUR2	DURATEX	1.659	DURA4	LUX2	LUXMA	0.499	ILMD4
DUR2	DURATEX	1.698	DURA4	ELB2	ELEBRA	0.377	IBOV	MAH2	MANAH	0.200	MAHS4
ELB2	ELEBRA	0.634	IBOV	ELU2	ELUMA	0.802	ELUM4	MNS4	MANASA	0.209	MNSA4
ELU2	ELUMA	0.916	ELUM4	ENG6	ENGESA	0.100	ENG5	MGE2	MANGELS INDL	0.318	MGEL4
ENG6	ENGESA	0.089	ENG5	ERI1	ERICSSON	0.095	ERIC3	MAN1	MANNESMANN	0.388	MANM3
ERI1	ERICSSON	0.149	ERIC3	EST2	ESTRELA	1.556	ESTR4	POM2	MARCOPOLO	0.120	ibov
EST2	ESTRELA	1.356	ESTR4	EUC2	EUCATEX	0.106	EUCA4	MYP5	MASSEY PERK	0.574	IBOV
EUC2	EUCATEX	0.129	EUCA4	FNV6	F N V	1.942	ENG5	MEN7	MENDES JR.	0.219	MEND5
FNV6	F N V	1.828	ENG5	FES2	FERBASA	0.602	FESA4	MEN8	MENDES JR.	1.173	MEND6
FES2	FERBASA	0.624	FESA4	FER2	FERRO BRAS.	0.317	BARB4	MES2	MESBLA	0.282	MESB4
FER2	FERRO BRAS.	0.293	BARB4	CPF2	FERRO-LIGAS	0.939	CPFL4	BAR1	MET BARBARA	0.343	VSMA3
CPF2	FERRO-LIGAS	1.223	CPFL4	FTS2	FERTISUL	0.153	FTSU4	BAR2	MET BARBARA	0.475	VSMA3
FTS2	FERTISUL	0.171	FTSU4	FRI4	FRIGOBRÁS PN	0.156	FRI4	LEV2	METAL LEVE	0.610	LEVE4
FRI4	FRIGOBRÁS	0.132	FRI4	GRN2	GRANÓLEO	0.095	GRNL4	MSA1	MOINHO SANT	0.641	MSAN3
GRN2	GRANÓLEO	0.110	GRNL4	CGR2	GRAZZIOTIN	0.127	CGRA4	MUL2	MULLER	0.462	MULL4
CGR2	GRAZZIOTIN	0.118	CGRA4	GUA1	GUARARAPES	0.230	GUAR3	OLV2	OLVEBRA	0.478	OLVB4

Continuação

1987 - 1º quadrimestre				1987 - 2º quadrimestre				1987 - 3º quadrimestre			
Código	Nome	Peso (%)	Atual	Código	Nome	Peso (%)	Atual	Código	Nome	Peso (%)	Atual
GUA1	GUARARAPES	0.367	GUAR3	IVI4	INDS. VILLARES	0.305	IBOV	PSI2	PAPEL SIMÃO	1.358	VCPA4
IVI4	INDS. VILLARES	0.566	IBOV	IOC2	IOCHPE	0.807	IBOV	PRB2	PARAIBUNA	0.522	PRBN4
IOC2	IOCHPE	0.887	IBOV	ITA4	ITAUBANCO	1.266	ITUB4	PMA2	PARANAPANEMA	10.404	PMAM4
ITA4	ITAUBANCO	1.338	ITUB4	ITS4	ITAÚSA	0.560	ITSA4	PDG2	PERDIGÃO	0.610	PRGA4
ITS4	ITAÚSA	0.504	ITSA4	KEP2	KEPLER WEBER	0.505	IBOV	PRS2	PERSICO	0.426	PRSC4
KEP2	KEPLER WEBER	0.538	IBOV	KLA1	KLABIN	0.083	KLBN3	PTI2	PET IPIRANGA	0.319	PTIP4
KLA1	KLABIN	0.099	KLBN3	KLA2	KLABIN	0.368	KLBN4	PET3	PETROBRÁS	0.464	PETR3
KLA2	KLABIN	0.387	KLBN4	LIG3	LIGHT	0.029	LIGT3	PET2	PETROBRÁS	20.261	PETR4
LIG3	LIGHT	0.018	LIGT3	LAM3	LOJAS AMERICANAS	0.052	LAME3	PIR1	PIRELLI	1.031	PIRE3
LAM3	LOJAS AMERICANAS	0.037	LAME3	LUX2	LUXMA	0.464	ILMD4	POP6	POLIPROPILENO	0.717	POPR4
LUX2	LUXMA	0.482	ILMD4	MAD4	MADEIRIT	0.084	MADE4	PMT2	PROMETAL	0.509	PMT4
MAD4	MADEIRIT	0.091	MADE4	MAG8	MAGNESITA	0.133	MAGS5	REA4	REAL	0.361	REAL4
MAG8	MAGNESITA	0.219	MAGS5	MAH2	MANAH	0.137	MAHS4	REP2	REFRIPAR	0.498	REPA4
MAH2	MANAH	0.177	MAHS4	MNS4	MANASA	0.419	MNSA4	RPS2	RIPASA	1.527	RPSA4
MNS4	MANASA	0.422	MNSA4	MGE2	MANGELS INDL	0.405	MGEL4	SCO4	SADIA CONCORDIA	0.528	SDIA4
MGE2	MANGELS INDL	0.576	MGEL4	MAN1	MANNESMANN	0.469	MANM3	SAM1	SAMITRI	0.243	SAM4
MAN1	MANNESMANN	0.694	MANM3	POM2	MARCOPOLO	0.114	ibov	SHA2	SHARP	5.666	SHAP4
POM2	MARCOPOLO	0.117	ibov	MYP5	MASSEY PERKINS	0.816	IBOV	SID2	SID INFOMÁTICA	0.889	ibov
MYP5	MASSEY PERKINS	0.834	IBOV	MEC2	MEC. PESADA	0.280	MEC4	RIO2	SID RIOGRANDENSE	0.449	RIO4
MEC2	MEC. PESADA	0.283	MEC4	MEN7	MENDES JR.	0.283	MEND5	SIF2	SIFCO	0.249	SIFC4
MEN7	MENDES JR.	0.328	MEND5	MEN8	MENDES JR.	1.692	MEND6	CRU1	SOUZA CRUZ	0.363	CRUZ3
MEN8	MENDES JR.	1.921	MEND6	MES2	MESBLA	0.258	MESB4	SUZ2	SUZANO	1.490	SUZB5
MES2	MESBLA	0.193	MESB4	BAR2	MET. BARBARÁ	0.626	VSMA3	TRB2	TRANSBRASIL	1.249	TRBR4
BAR2	MET. BARBARÁ	1.099	VSMA3	LEV2	METAL LEVE	0.507	LEVE4	TUP4	TUPY	0.322	TUPY4
LEV2	METAL LEVE	0.529	LEVE4	MSA1	MOINHO SANTISTA	0.608	MSAN3	UBB5	UNIBANCO	0.279	UBBR4
MSA1	MOINHO SANTISTA	0.554	MSAN3	VEM2	MONTREAL	0.241	VEMG4	UCO2	USIN C PINTO	0.343	ibov
VEM2	MONTREAL	0.284	VEMG4	MUL2	MULLER	0.669	MULL4	VAL1	VALE R DOCE	0.086	VALE3
MUL2	MULLER	0.726	MULL4	BNA4	NACIONAL	0.094	ITUB4	VAL2	VALE R DOCE	0.887	VALE5
BNA4	NACIONAL	0.080	ITUB4	BNE4	NOROESTE	0.017	BNET4	VAG2	VARIG	2.691	VAGV4
BNE4	NOROESTE	0.039	BNET4	OLV2	OLVEBRA	0.494	OLVB4	VSM1	VIDR SMARINA	0.944	VSMA3
OLV2	OLVEBRA	0.559	OLVB4	PRB2	PARAIBUNA	0.567	PRBN4	WHM1	WHITE MARTINS	0.792	WHMT3
PRB2	PARAIBUNA	0.632	PRBN4	PMA2	PARANAPANEMA	9.024	PMAM4				
PMA2	PARANAPANEMA	8.533	PMAM4	PAL3	PAUL. F. LUZ	0.023	ibov				
PAL3	PAUL. F. LUZ	0.018	ibov	PDG7	PERDIGÃO	0.407	PRGA4				
PDG7	PERDIGÃO	0.234	PRGA4	PRS2	PERSICO	0.171	PRSC4				
PRS2	PERSICO	0.208	PRSC4	PTI2	PETR. IPIRANGA	0.343	PTIP4				
PTI2	PETR. IPIRANGA	0.362	PTIP4	PET3	PETROBRÁS	0.408	PETR3				
PET3	PETROBRÁS	0.307	PETR3	PET2	PETROBRÁS	19.643	PETR4				
PET2	PETROBRÁS	14.036	PETR4	PIR1	PIRELLI	0.951	PIRE3				
PIR1	PIRELLI	0.945	PIRE3	PIR2	PIRELLI	0.168	PIRE4				
PIR2	PIRELLI	0.236	PIRE4	POP6	POLIPROPILENO	0.565	POPR4				
POP6	POLIPROPILENO	0.498	POPR4	PMT2	PROMETAL	0.509	PMT4				
PMT2	PROMETAL	0.652	PMT4	REA3	REAL	0.055	REAL3				
REA3	REAL	0.041	REAL3	REA4	REAL	0.190	REAL4				
REA4	REAL	0.156	REAL4	CRI4	REAL CIA INV.	0.044	REAL4				
CRI4	REAL CIA INV.	0.063	REAL4	BRG10	REAL CONS.	0.022	rcpr11				
BRG10	REAL CONS.	0.022	REAL4	BRI3	REAL DE INV.	0.018	REAL3				
BRI3	REAL DE INV.	0.019	REAL3	BRI4	REAL DE INV.	0.049	REAL4				
BRI4	REAL DE INV.	0.049	REAL4	RPA6	REAL PART.	0.023	REAL4				
RPA6	REAL PART.	0.022	REAL4	REP2	REFRIPAR	0.578	REPA4				
REP2	REFRIPAR	0.809	REPA4	RPS2	RIPASA	0.742	RPSA4				
RPS2	RIPASA	0.646	RPSA4	SCO4	SADIA CONDCORDIA	0.402	SDIA4				
SCO4	SADIA CONCORDIA	0.335	SDIA4	SAM1	SAMITRI	0.222	IBOV				
SAM1	SAMITRI	0.213	ibov	SHA2	SHARP	7.379	SHAP4				
SHA2	SHARP	8.079	SHAP4	SID2	SID INFORMÁTICA	1.397	IBOV				
SID2	SID INFORMÁTICA	2.625	IBOV	ANO5	SID. AÇONORTE	0.062	IBOV				
ANO5	SID. AÇONORTE	0.052	ibov	SGU2	SID. GUAÍRA	0.154	IBOV				
SGU2	SID. GUAÍRA	0.129	ibov	RIO2	SID. RIOGRANDNENSE	0.253	RIO4				
RIO2	SID. RIOGRANDNENSE	0.230	RIO4	SIF2	SIFCO	0.431	SIFC4				

Continuação

1987 - 1º quadrimestre				1987 - 2º quadrimestre				1987 - 3º quadrimestre			
Código	Nome	Peso (%)	Atual	Código	Nome	Peso (%)	Atual	Código	Nome	Peso (%)	Atual
SIF2	SIFCO	0.540	SIFC4	CRU1	SOUZA CRUZ	0.286	CRUZ3				
CRU1	SOUZA CRUZ	0.206	CRUZ3	BFI3	SUDAMERIS	0.028	BFIT3				
BFI3	SUDAMERIS	0.041	BFIT3	SUZ	SUZANO	1.136	SUZB5				
SUZ7	SUZANO	1.127	SUZB5	TLS5	TELESP	0.022	VIVT4				
TLS5	TELESP	0.017	VIVT4	TLS6	TELESP	0.014	VIVT4				
TLS6	TELESP	0.010	VIVT4	TLS4	TELESP	0.011	VIVT4				
TLS4	TELESP	0.009	VIVT4	TRB2	TRANSBRASIL	1.314	TRBR4				
TRB2	TRANSBRASIL	1.192	TRBR4	TUP4	TUPY	0.309	TUPY4				
TUP4	TUPY	0.254	TUPY4	UBB3	UNIBANCO	0.120	UBBR3				
UBB3	UNIBANCO	0.121	UBBR3	UBB5	UNIBANCO	0.275	UBBR4				
UBB5	UNIBANCO	0.304	UBBR4	UCO2	USINA C. PINTO	0.388	ibov				
UCO2	USINA C. PINTO	0.468	ibov	VAL1	VALE R. DOCE	0.094	VALE3				
VAL1	VALE R. DOCE	0.123	VALE3	VAL2	VALE R. DOCE	1.090	VALE5				
VAL2	VALE R. DOCE	1.347	VALE5	VAG2	VARIG	2.888	VAGV4				
VAG2	VARIG	3.099	VAGV4	VSM1	VIDR. S.MARINA	0.809	VSMA3				
VSM1	VIDR. S.MARINA	0.847	VSMA3	WHM1	WHITE MARTINS	0.711	WHMT3				
WHM1	WHITE MARTINS	0.708	WHMT3	ZAN7	ZANINI	0.035	IBOV				
ZAN7	ZANINI	0.061	IBOV								

1986 - 1º quadrimestre				1986 - 2º quadrimestre				1986 - 3º quadrimestre			
Código	Nome	Peso (%)	Atual	Código	Nome	Peso (%)	Atual	Código	Nome	Peso (%)	Atual
ACE1	ACESITA	0.089	ACES3	ACE1	ACESITA	0.023	ACES3	ACE1	ACESITA	0.020	ACES3
ACE2	ACESITA	0.826	ACES4	ACE2	ACESITA	0.371	ACES4	ACE2	ACESITA	0.280	ACES4
AVI2	AÇOS VILLARES	1.799	AVIL4	AVI2	AÇOS VILLARES	1.797	AVIL4	AVI2	AÇOS VILLARES	1.690	AVIL4
CRA2	ADUBOS CRA	0.459	IBOV	CRA2	ADUBOS CRA	0.319	IBOV	CRA2	ADUBOS CRA	0.310	IBOV
SAG2	AGROCERES	1.255	SAGR4	SAG2	AGROCERES	2.369	SAGR4	SAG2	AGROCERES	3.170	SAGR4
ALP3	ALPARGATAS	0.274	ALPA3	ALP3	ALPARGATAS	0.194	ALPA3	ALP3	ALPARGATAS	0.170	ALPA3
ALP4	ALPARGATAS	0.369	ALPA4	ALP4	ALPARGATAS	0.432	ALPA4	ALP4	ALPARGATAS	0.440	ALPA4
CLA1	AND. CLAYTON	0.192	IBOV	CLA1	AND. CLAYTON	0.120	IBOV	CLA1	AND. CLAYTON	0.110	IBOV
ANH1	ANHANGUERA	0.658	IBOV	ANH1	ANHANGUERRA	0.621	IBOV	ANH1	ANHANGUERRA	0.400	IBOV
ART2	ARTEX	0.091	ARTE4	ART2	ARTEX	0.060	ARTE4	ART2	ARTEX	0.070	ARTE4
AZE2	AZEVEDO	1.416	AZEV4	AZE2	AZEVEDO	0.792	AZEV4	AZE2	AZEVEDO	0.430	AZEV4
BBC2	BANDEIRANTES	0.114	BBCM4	BBC2	BANDEIRANTES	0.076	BBCM4	BBC2	BANDEIRANTES	0.040	BBCM4
BES3	BANESPA	0.183	BESP3	BES3	BANESPA	0.157	BESP3	BES3	BANESPA	0.120	BESP3
BES4	BANESPA	0.036	BESP4	BES4	BANESPA	0.034	BESP4	BES4	BANESPA	0.030	BESP4
BES2	BANESPA	1.441	BESP4	BES2	BANESPA	1.578	BESP4	BES2	BANESPA	1.280	BESP4
BDL2	BARDELLA	0.146	BDLL4	BDL2	BARDELLA	0.130	BDLL4	BDL2	BARDELLA	0.110	BDLL4
BAP7	BARRETO	0.219	VSMA3	BAP7	BARRETO	0.141	VSMA3	BAP7	BARRETO	0.100	VSMA3
BEL1	BELGO MINEIRA	1.138	ARCE3	BEL1	BELGO MINEIRA	1.199	ARCE3	BEL1	BELGO MINEIRA	1.320	ARCE3
FBO4	BORELLA	0.190	ibov	FBO4	BORELLA	0.091	ibov	BEL2	BELGO MINEIRA	0.400	ARCE4
BBD3	BRADESCO	0.201	BBDC3	BBD3	BRADESCO	0.275	BBDC3	FBO4	BORELLA	0.090	ibov
BBD4	BRADESCO	1.417	BBDC4	BBD4	BRADESCO	2.140	BBDC4	BBD3	BRADESCO	0.260	BBDC3
FIB4	BRADESCO FIN	0.010	BBDC4	FIB4	BRADESCO FIN	0.021	BBDC4	BBD4	BRADESCO	2.300	BBDC4
BBI4	BRADESCO INV	0.095	BBDC4	BBI4	BRADESCO INV	0.122	BBDC4	FIB4	BRADESCO FIN	0.020	BBDC4
BRH2	BRAHMA	0.269	AMBV4	BRH2	BRAHMA	0.362	AMBV4	BBI4	BRADESCO INV	0.130	BBDC4
BB 3	BRASIL	0.908	BBAS3	BB 3	BRASIL	0.900	BBAS3	BRH2	BRAHMA	0.410	AMBV4
BB 2	BRASIL	2.464	BBAS4	BB 2	BRASIL	2.799	BBAS4	BB 3	BRASIL	0.710	BBAS3
BMT1	BRASMOTOR	0.078	BMTO4	BMT1	BRASMOTOR	0.023	BMTO4	BB 2	BRASIL	2.440	BBAS4
BMT2	BRASMOTOR	0.503	BMTO4	BMT2	BRASMOTOR	0.494	BMTO4	BMT1	BRASMOTOR	0.040	BMTO4
CIQ2	CACIQUE	1.873	CIQU4	CIQ2	CACIQUE	1.932	CIQU4	BMT2	BRASMOTOR	0.530	BMTO4
CAE1	CAEMI	0.679	VALE3	CAE1	CAEMI	0.383	VALE3	CIQ2	CACIQUE	1.480	CIQU4
CAF2	CAFÉ BRASÍLIA	0.582	CAFE4	CAF2	CAFÉ BRASÍLIA	0.486	CAFE4	CAE1	CAEMI	0.320	VALE3
CAB1	CASA ANGLO	0.075	CABR4	CBV2	CBV IND. MEC.	0.339	CBVI4	CAF2	CAFÉ BRASÍLIA	0.420	CAFE4
CBV2	CBV IND. MEC.	0.257	CBVI4	CMI2	CEMIG	0.048	CMIG4	CBV2	CBV IND. MEC.	0.360	CBVI4
CEV4	CEVAL	0.767	CEVA4	CES4	CESP	0.045	CESP5	CMI2	CEMIG	0.040	CMIG4
HER2	CIA HERING	1.074	HGTX4	CEV4	CEVAL	0.615	CEVA4	CES4	CESP	0.040	CESP5
CAU6	CIM. CAUÉ	0.018	IBOV	HER2	CIA HERING	1.074	HGTX4	CEV4	CEVAL	0.510	CEVA4
				CAU6	CIM. CAUÉ	0.018	IBOV	HER2	CIA HERING	1.110	HGTX4

Continuação

1986 - 1º quadrimestre				1986 - 2º quadrimestre				1986 - 3º quadrimestre			
Código	Nome	Peso (%)	Atual	Código	Nome	Peso (%)	Atual	Código	Nome	Peso (%)	Atual
CAU6	CIM. CAUÊ	0.054	IBOV	ICP2	CIM. ITAÚ	0.223	ICPI4	CAU6	CIM. CAUÊ	0.030	IBOV
ICP2	CIM. ITAÚ	0.165	ICPI4	CBM2	COBRASMA	0.691	CBMA4	ICP2	CIM. ITAÚ	0.240	ICPI4
CBM2	COBRASMA	0.799	CBMA4	CNF2	CONFAB	0.964	CNFB4	CBM2	COBRASMA	0.780	CBMA4
CNF2	CONFAB	0.783	CNFB4	COP4	COPAS	0.224	COPA4	CNF2	CONFAB	1.050	CNFB4
COP4	COPAS	0.278	ibov	CPN8	COPENE	1.752	BRKM5	COP4	COPAS	0.140	COPA4
CPN8	COPENE	2.858	BRKM5	COR2	CORRÊA RIBEIRO	0.081	CORR4	CPN8	COPENE	1.280	BRKM5
COR2	CORRÊA RIBEIRO	0.105	CORR4	COG4	COSIGUA	0.391	GOAU4	COR2	CORRÊA RIBEIRO	0.100	CORR4
COG4	COSIGUA	0.461	ibov	CSS2	CRUZEIRO DO SUL	0.307	IBOV	COG4	COSIGUA	0.270	GOAU4
CSS2	CRUZEIRO DO SUL	0.352	IBOV	DUR2	DURATEX	1.216	DURA4	CSS2	CRUZEIRO DO SUL	0.430	IBOV
DUR2	DURATEX	0.765	DURA4	ELU2	ELUMA	1.051	ELUM4	DOC2	DOCAS	0.490	ibov
ELU2	ELUMA	1.086	ELUM4	ENG6	ENGESA	0.123	ENG5	DUR2	DURATEX	1.540	DURA4
ENG6	ENGESA	0.214	ENG5	ER11	ERICSSON	0.213	ERIC3	ELB2	ELEBRA	0.710	IBOV
ER11	ERICSSON	0.165	ERIC3	EST2	ESTRELA	0.754	ESTR4	ELU2	ELUMA	0.910	ELUM4
EST2	ESTRELA	0.505	ESTR4	EUC2	EUCATEX	0.064	EUCA4	ENG6	ENGESA	0.100	ENG5
EUC2	EUCATEX	0.050	EUCA4	FNV6	F N V	0.525	ENG5	ER11	ERICSSON	0.200	ERIC3
FNV6	F N V	0.361	ENG5	FES2	FERBASA	0.741	FESA4	EST2	ESTRELA	1.030	ESTR4
FES2	FERBASA	0.831	FESA4	FER2	FERRO BRAS.	0.274	BARB4	EUC2	EUCATEX	0.120	EUCA4
FER2	FERRO BRAS.	0.233	BARB4	CPF2	FERRO-LIGAS	1.656	CPFL4	FNV6	F N V	1.290	ENG5
CPF2	FERRO-LIGAS	1.437	CPFL4	FTS8	FERTISUL	0.128	FTSU4	FES2	FERBASA	0.700	FESA4
FTS8	FERTISUL	0.128	FTSU4	FRI4	FRIGOBRÁS	0.158	FRI4	FER2	FERRO BRAS.	0.310	BARB4
FRI4	FRIGOBRÁS	0.159	FRI4	GRN4	GRANÓLEO	0.547	GRNL4	CPF2	FERRO-LIGAS	1.450	CPFL4
GRN4	GRANÓLEO	0.178	GRNL4	CGR2	GRAZZIOTIN	0.072	CGRA4	FTS2	FERTISUL	0.160	FTSU4
CGR2	GRAZZIOTIN	0.073	CGRA4	GUA1	GUARARAPES	0.250	GUAR3	FRI4	FRIGOBRÁS	0.140	FRI4
GUA1	GUARARAPES	0.087	GUAR3	IVI4	INDS. VILLARES	1.059	IBOV	GRN4	GRANÓLEO	0.140	GRNL4
IVI4	INDS. VILLARES	1.163	IBOV	IOC2	IOCHPE	0.887	IBOV	CGR2	GRAZZIOTIN	0.100	CGRA4
IOC2	IOCHPE	1.021	IBOV	ITA4	ITAUBANCO	2.011	ITUB4	GUA1	GUARARAPES	0.350	GUAR3
ITA4	ITAUBANCO	1.644	ITUB4	ITS4	ITAÚSA	0.699	ITSA4	IVI4	INDS. VILLARES	0.920	IBOV
ITS4	ITAÚSA	0.559	ITSA4	KLA1	KLABIN	0.185	KLBN3	IOC2	IOCHPE	0.830	IBOV
KLA1	KLABIN	0.230	KLBN3	LIG3	LIGHT	0.025	LIGT3	ITA4	ITAUBANCO	1.780	ITUB4
LIG3	LIGHT	0.071	LIGT3	LAM3	LOJAS AMERICANAS	0.031	LAME3	ITS4	ITAÚSA	0.680	ITSA4
LAM3	LOJAS AMERICANAS	0.058	LAME3	LUX2	LUXMA	0.611	ILMD4	KEP2	KEPLER WEBER	0.420	IBOV
LUX2	LUXMA	0.604	ILMD4	MAD6	MADEIRIT	0.105	ibov	KLA1	KLABIN	0.170	KLBN3
MAD6	MADEIRIT	0.269	ibov	MAG8	MAGNESITA	0.446	MAGS5	KLA2	KLABIN	0.410	KLBN4
MAG8	MAGNESITA	0.465	MAGS5	MAH4	MANAH	0.190	MAHS4	LIG3	LIGHT	0.020	LIGT3
MAH4	MANAH	0.204	MAHS4	MNS4	MANASA	0.238	MNSA4	LAM3	LOJAS AMERICANAS	0.050	LAME3
MNS4	MANASA	0.242	MNSA4	MGE2	MANGELS INDL	0.836	MGEL4	LUX2	LUXMA	0.560	ILMD4
MAN1	MANNESMANN	1.035	MANM3	MAN1	MANNESMANN	1.095	MANM3	MAD4	MADEIRIT	0.080	MADE4
POM2	MARCOPOLO	0.390	ibov	POM2	MARCOPOLO	0.270	ibov	MAG8	MAGNESITA	0.300	MAGS5
MEC2	MEC. PESADA	0.343	MEC4	MEC2	MEC. PESADA	0.260	MEC4	MAH4	MANAH	0.200	MAHS4
MEN7	MENDES JR.	0.659	MEND5	MEN7	MENDES JR.	0.395	MEND5	MNS4	MANASA	0.420	MNSA4
MEN8	MENDES JR.	1.135	MEND6	MEN8	MENDES JR.	1.306	MEND6	MGE2	MANGELS INDL	0.800	MGEL4
MES2	MESBLA	0.082	MESB4	MES2	MESBLA	0.079	MESB4	MAN1	MANNESMANN	0.990	MANM3
LEV2	METAL LEVE	0.724	LEVE4	BAR2	MET. BARBARÁ	1.112	VSMA3	POM2	MARCOPOLO	0.160	ibov
MSA1	MOINHO SANTISTA	0.586	MSAN3	LEV2	METAL LEVE	0.802	LEVE4	MYP5	MASSEY PERKINS	0.780	IBOV
VEM2	MONTREAL	0.595	VEMG4	MSA1	MOINHO SANTISTA	0.606	MSAN3	MEC2	MEC. PESADA	0.300	MEC4
MUL2	MULLER	0.470	MULL4	VEM2	MONTREAL	0.441	VEMG4	MEN7	MENDES JR.	0.330	MEND5
BNA4	NACIONAL	0.108	ITUB4	MUL2	MULLER	0.514	MULL4	MEN8	MENDES JR.	1.660	MEND6
BNE4	NOROESTE	0.059	BNET4	BNA4	NACIONAL	0.111	ITUB4	MES2	MESBLA	0.130	MESB4
OLV2	OLVEBRA	0.669	OLVB4	BNE4	NOROESTE	0.066	BNET4	BAR2	MET. BARBARÁ	1.220	VSMA3
PMA2	PARANAPANEMA	24.027	PMAM4	OLV2	OLVEBRA	0.568	OLVB4	LEV2	METAL LEVE	0.710	LEVE4
PAL3	PAUL. F. LUZ	0.063	ibov	PMA2	PARANAPANEMA	18.051	PMAM4	MSA1	MOINHO SANTISTA	0.600	MSAN3
PDG5	PERDIGÃO	0.217	ibov	PAL3	PAUL. F. LUZ	0.034	ibov	VEM2	MONTREAL	0.350	VEMG4
PRS4	PERSICO	0.282	ibov	PDG5	PERDIGÃO	0.739	ibov	MUL2	MULLER	0.770	MULL4
PTI2	PETR. IPIRANGA	0.238	PTIP4	PRS4	PERSICO	0.278	PRSC4	BNA4	NACIONAL	0.080	ITUB4
PET3	PETROBRÁS	0.801	PETR3	PTI2	PETR. IPIRANGA	0.296	PTIP4	BNE4	NOROESTE	0.060	BNET4
PET2	PETROBRÁS	5.267	PETR4	PET3	PETROBRÁS	0.700	PETR3	OLV2	OLVEBRA	0.530	OLVB4
PIR1	PIRELLI	0.612	PIRE3	PET2	PETROBRÁS	3.939	PETR4	PRB2	PARAIBUNA	0.730	PRBN4
PIR2	PIRELLI	0.205	PIRE4	PIR1	PIRELLI	0.764	PIRE3	PMA2	PARANAPANEMA	10.420	PMAM4
POP6	POLIPROPILENO	0.727	POP4	PIR2	PIRELLI	0.249	PIRE4	PAL3	PAUL. F. LUZ	0.020	ibov

Continuação

1986 - 1º quadrimestre				1986 - 2º quadrimestre				1986 - 3º quadrimestre			
Código	Nome	Peso (%)	Atual	Código	Nome	Peso (%)	Atual	Código	Nome	Peso (%)	Atual
PMT2	PROMETAL	0.498	PMT4	POP6	POLIPROPILENO	0.669	POPR4	PDG5	PERDIGÃO	0.320	ibov
REA3	REAL	0.046	REAL3	PMT2	PROMETAL	0.582	PMT4	PRS4	PERSICO	0.300	PRSC4
REA4	REAL	0.230	REAL4	REA3	REAL	0.051	REAL3	PTI2	PETR. IPIRANGA	0.360	PTIP4
CRI4	REAL CIA INV.	0.116	REAL4	REA4	REAL	0.179	REAL4	PET3	PETROBRÁS	0.530	PETR3
BRG10	REAL CONS.	0.042	REAL4	CRI4	REAL CIA INV.	0.086	REAL4	PET2	PETROBRÁS	8.410	PETR4
BRI3	REAL DE INV.	0.036	REAL3	BRG10	REAL CONS.	0.042	REAL4	PIR1	PIRELLI	0.900	PIRE3
BRI4	REAL DE INV.	0.118	REAL4	BRI3	REAL DE INV.	0.027	REAL3	PIR2	PIRELLI	0.250	PIRE4
RPA6	REAL PART.	0.036	REAL4	BRI4	REAL DE INV.	0.084	REAL4	POP6	POLIPROPILENO	0.650	POPR4
REP2	REFRIPAR	0.196	REPA4	RPA6	REAL PART.	0.026	REAL4	PMT2	PROMETAL	0.580	PMT4
SCO4	SADIA CONCORDIA	0.346	SDIA4	REP2	REFRIPAR	0.498	REPA4	REA3	REAL	0.050	REAL3
SAM1	SAMITRI	0.630	ibov	RPS2	RIPASA	1.296	RPSA4	REA4	REAL	0.160	REAL4
SHA2	SHARP	4.550	SHAP4	SCO4	SADIA CONCORDIA	0.366	SDIA4	CRI4	REAL CIA INV.	0.070	REAL4
ANO5	SID. AÇONORTE	0.110	ibov	SAM1	SAMITRI	0.527	ibov	BRG10	REAL CONS.	0.040	REAL4
SGU4	SID. GUÁIRA	0.096	ibov	SHA2	SHARP	5.582	SHAP4	BRI3	REAL DE INV.	0.020	REAL3
RIO4	SID. RIOGRANDENSE	0.319	ibov	SID2	SID INFORMÁTICA	3.122	IBOV	BRI4	REAL DE INV.	0.070	REAL4
CRU1	SOUZA CRUZ	0.198	CRUZ3	ANO5	SID. AÇONORTE	0.081	ibov	RPA6	REAL PART.	0.020	REAL4
BFI3	SUDAMERIS	0.094	BFIT3	SGU4	SID. GUAÍRA	0.108	ibov	REP2	REFRIPAR	0.720	REPA4
SUZ7	SUZANO	0.612	ibov	RIO4	SID. RIOGRANDENSE	0.348	RIO4	RPS2	RIPASA	0.860	RPSA4
TLS5	TELESP	0.050	VIVT4	SIF2	SIFCO	0.542	SIFC4	SCO4	SADIA CONCORDIA	0.370	SDIA4
TLS6	TELESP	0.044	VIVT4	CRU1	SOUZA CRUZ	0.183	CRUZ3	SAM1	SAMITRI	0.350	ibov
TLS4	TELESP	0.014	VIVT4	BFI3	SUDAMERIS	0.073	BFIT3	SHA2	SHARP	6.690	SHAP4
TRB2	TRANSBRASIL	0.830	TRBR4	SUZ7	SUZANO	0.910	SUZB5	SID2	SID INFORMÁTICA	3.010	IBOV
TUP4	TUPY	0.338	TUPY4	TLS5	TELESP	0.027	VIVT4	ANO5	SID. AÇONORTE	0.060	ibov
UBB3	UNIBANCO	0.152	UBBR3	TLS6	TELESP	0.019	VIVT4	SGU4	SID. GUÁIRA	0.150	ibov
UBB5	UNIBANCO	0.443	UBBR4	TLS4	TELESP	0.013	VIVT4	RIO4	SID. RIOGRANDENSE	0.320	RIO4
VAL1	VALE R. DOCE	0.433	VALE3	TRB2	TRANSBRASIL	0.894	TRBR4	SIF2	SIFCO	0.690	SIFC4
VAL2	VALE R. DOCE	4.991	VALE5	TUP4	TUPY	0.316	TUPY4	CRU1	SOUZA CRUZ	0.160	CRUZ3
VAG2	VARIG	2.802	VAGV4	UBB3	UNIBANCO	0.173	UBBR3	BFI3	SUDAMERIS	0.060	BFIT3
VSM1	VIDR. STA. MARINA	0.463	VSMA3	UBB5	UNIBANCO	0.484	UBBR4	SUZ7	SUZANO	1.050	SUZB5
WHM1	WHITE MARTINS	0.582	WHMT3	VAL1	VALE R. DOCE	0.396	VALE3	TLS5	TELESP	0.020	VIVT4
ZAN7	ZANINI	0.360	IBOV	VAL2	VALE R. DOCE	3.297	VALE5	TLS6	TELESP	0.010	VIVT4
				VAG2	VARIG	3.035	VAGV4	TLS4	TELESP	0.010	VIVT4
				VSM1	VIDR. S.MARINA	0.138	VSMA3	TRB2	TRANSBRASIL	1.100	TRBR4
				WHM1	WHITE MARTINS	0.640	WHMT3	TUP4	TUPY	0.270	TUPY4
				ZAN7	ZANINI	0.200	IBOV	UBB3	UNIBANCO	0.160	UBBR3
								UBB5	UNIBANCO	0.420	UBBR4
								UCO2	USINA C. PINTO	0.640	ibov
								VAL1	VALE R. DOCE	0.290	VALE3
								VAL2	VALE R. DOCE	2.320	VALE5
								VAG2	VARIG	2.680	VAGV4
								VSM1	VIDR. S.MARINA	0.850	VSMA3
								WHM1	WHITE MARTINS	0.640	WHMT3
								ZAN7	ZANINI	0.130	IBOV

APÊNDICE 2 – Gráficos: Propriedades das series temporais

Figura 7 - Gráfico ACF e PACF: Ibovespa

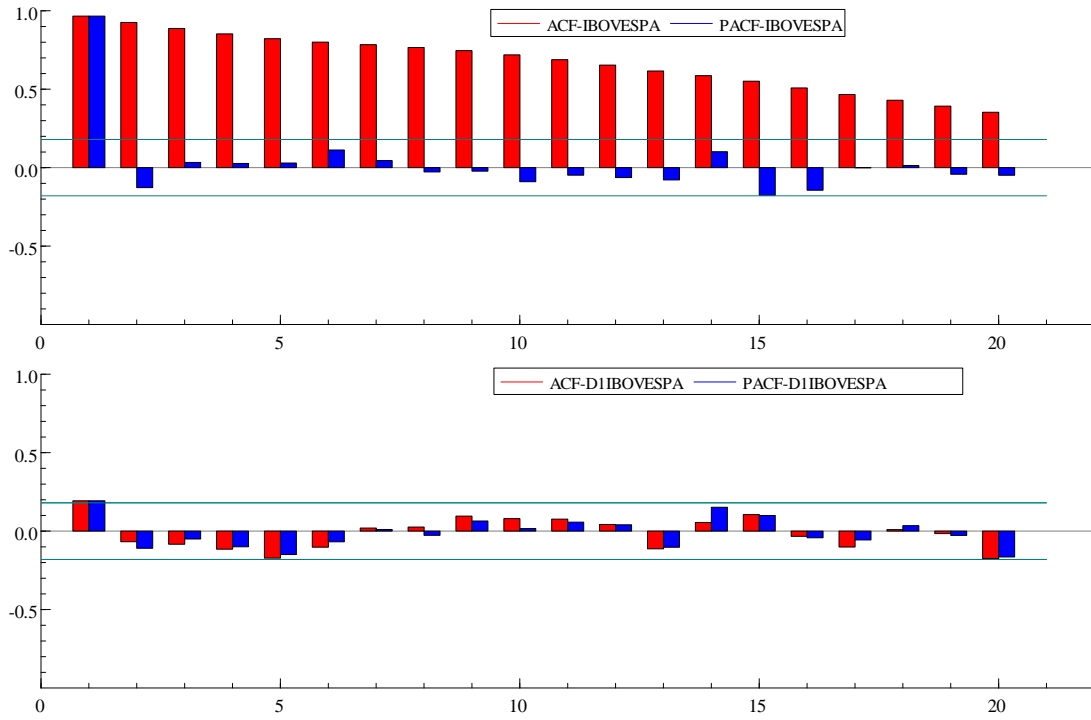


Figura 8 - Gráfico ACF e PACF: Dividendos

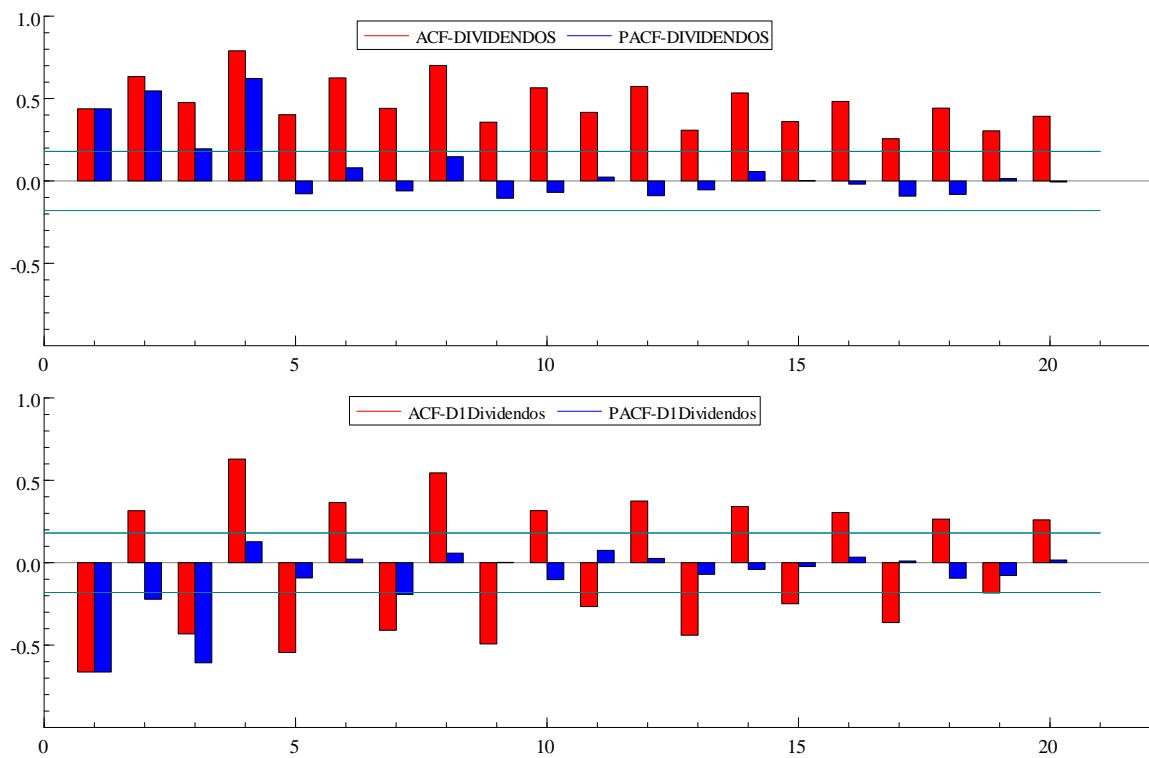


Figura 9 – Gráfico ACF e PACF: Logaritmo Ibovespa

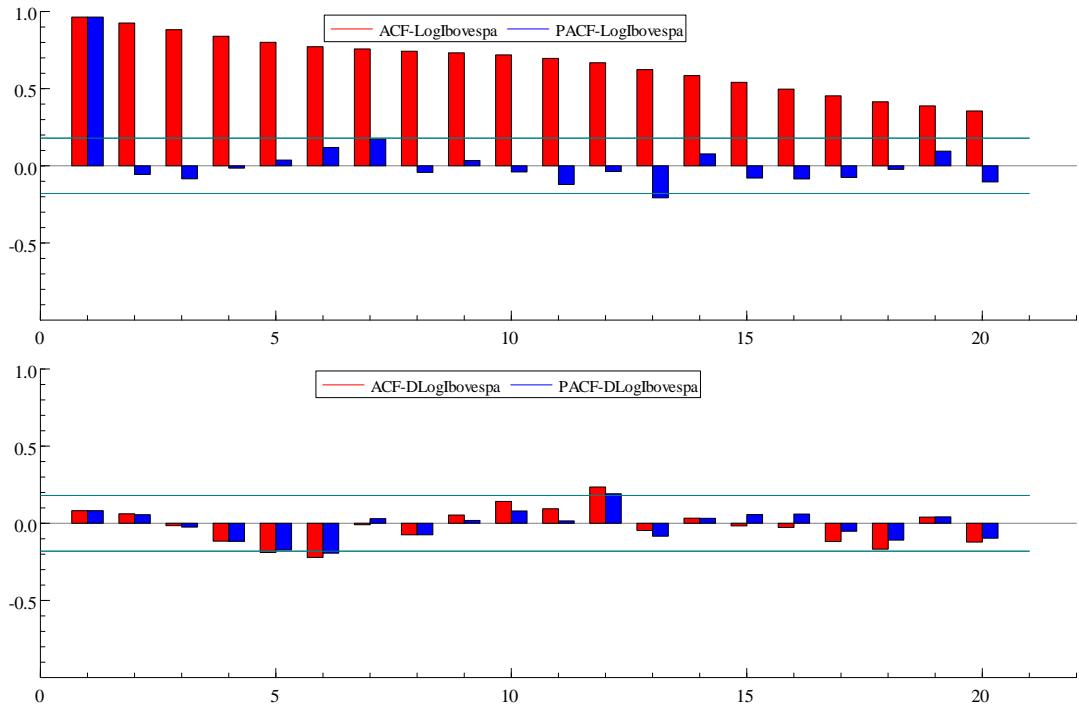


Figura 10 - Gráfico ACF e PACF: Logaritmo dos Dividendos

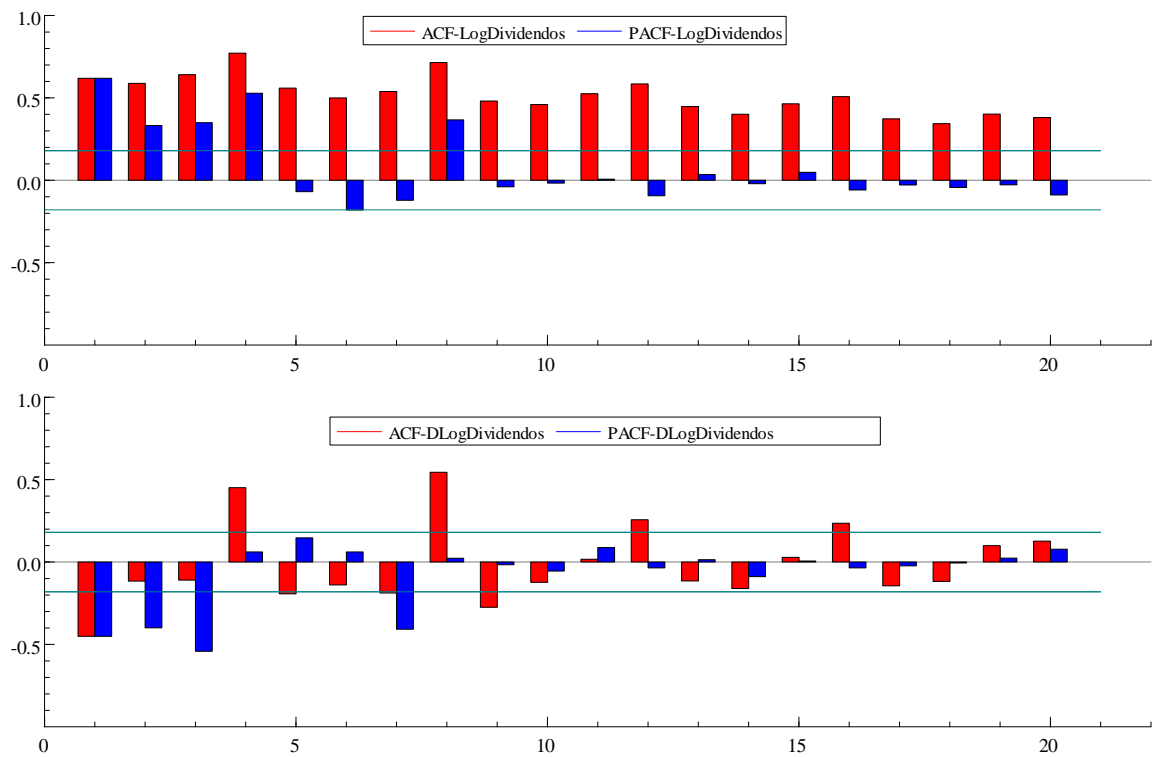


Figura 11 - Gráfico ACF e PACF: Taxa SELIC (r_t) e Taxa SELIC – Logaritmo Dividendos D1 ($r_t - \Delta d_t$).

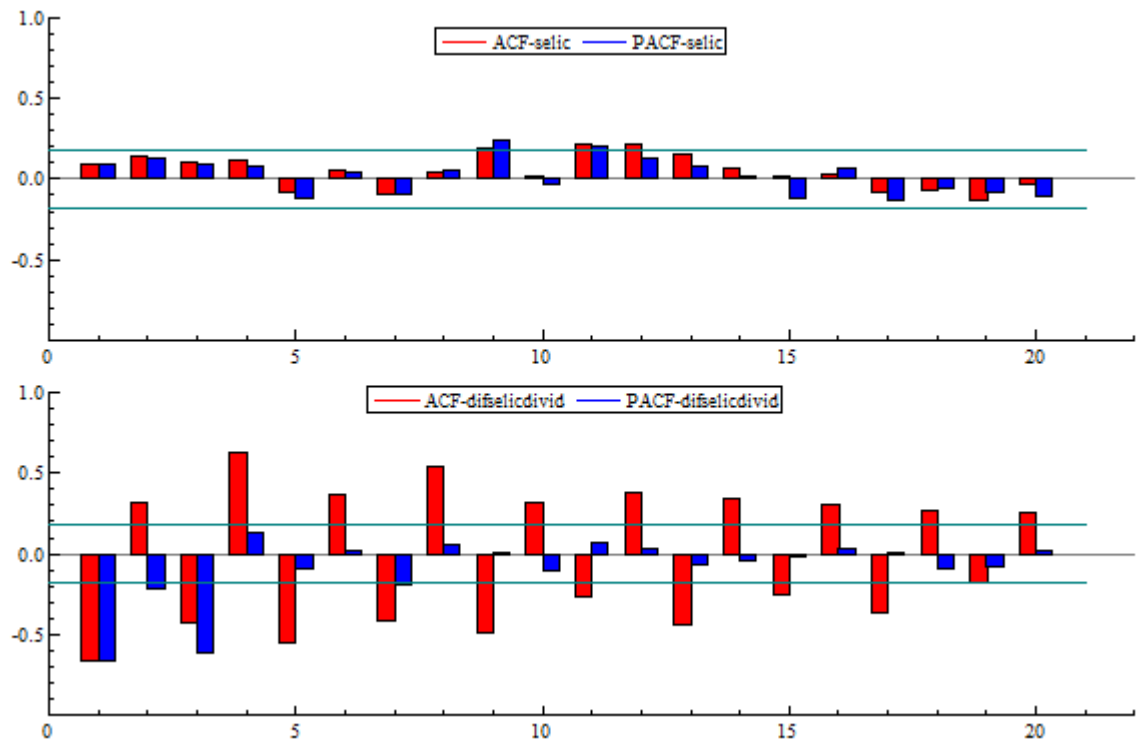


Figura 12 - Gráfico ACF e PACF: Logaritmo Dividendos – Logaritmo Preços ($d_t - p_t$).

